

# GreenWest: inteligencia artificial para la predicción de créditos de carbono en proyectos de (re)forestación en España

Maider Araceli Urbón Jiménez<sup>a,\*</sup>, Jaime Gabriel Vegas<sup>a</sup>, Ana de Luis Reboredo<sup>a</sup>, Belén Pérez Lancho<sup>a</sup>, Ana-Belén Gil-González<sup>a</sup>

<sup>a</sup>Grupo B1, Equipo de investigación BISITE, Universidad de Salamanca, Facultad de Ciencias, Salamanca, España

---

## Abstract

Este trabajo presenta **GreenWest**, un modelo de inteligencia artificial diseñado para predecir la cantidad de carbono capturado en proyectos de forestación y reforestación en España. El modelo se entrena con datos multifuente: registros del **Inventario Forestal Nacional (IFN3–IFN4, MITECO)**, variables climáticas derivadas de **Copernicus/ERA5-Land** e índices especales procedentes de **imágenes Landsat** (Collection 2, Level 2, USGS). Estos datos se integran en una base de datos relacional jerárquica que organiza la información por parcela, especie y clase diamétrica, manteniendo trazabilidad y coherencia estructural entre inventarios.

El modelo desarrollado responde a la pregunta: *Dado un cultivo forestal con características concretas de vegetación, clima y terreno, ¿cuánto CO<sub>2</sub> contendrá pasados unos años?* Esta capacidad predictiva permite su integración en marcos de optimización forestal, abordando cuestiones como la selección de especies o la asignación óptima de terrenos para maximizar la fijación de carbono.

Se evaluaron múltiples enfoques de aprendizaje supervisado, destacando **CatBoost** como el modelo con mejor rendimiento ( $R^2 > 0,80$ , RMSE<15), con alta capacidad de generalización temporal mediante validación cruzada

---

\*Autora de correspondencia

Email addresses: murbon001@usal.es (Maider Araceli Urbón Jiménez), JaimeGabrielVegas@usal.es (Jaime Gabriel Vegas), adeluis@usal.es (Ana de Luis Reboredo), lancho@usal.es (Belén Pérez Lancho), abg@usal.es (Ana-Belén Gil-González)

por grupos. Los resultados demuestran el potencial del enfoque para estimar la absorción futura de CO<sub>2</sub> y optimizar decisiones de gestión forestal sostenible, contribuyendo a la transición hacia una economía baja en emisiones.

*Keywords:* créditos de carbono, inteligencia artificial, forestación, reforestación, modelado predictivo, cambio climático

---

## Índice

<b>1. Introducción</b>	<b>6</b>
<b>2. Objetivos y Justificación</b>	<b>10</b>
2.1. Objetivos específicos . . . . .	10
2.2. Justificación . . . . .	10
<b>3. Revisión de la Literatura</b>	<b>13</b>
<b>4. Estado del Arte</b>	<b>18</b>
<b>5. Metodología</b>	<b>21</b>
5.1. Origen y estructura de los datos . . . . .	21
5.1.1. Estructura de la base de datos . . . . .	22
5.1.2. Diccionario resumido de variables . . . . .	23
5.1.3. Cardinalidad y completitud . . . . .	26
5.2. Variables objetivo . . . . .	27
5.3. Supuestos de elegibilidad y verificación externa . . . . .	28
5.4. Preparación y tratamiento de los datos . . . . .	31
5.4.1. Filtrado de registros . . . . .	31
5.4.2. Cálculo y agregación de variables . . . . .	32
5.4.3. Reclasificación de las variables <i>pendiente</i> y <i>orientacion</i> . . . . .	32
5.4.4. Agrupación de la variable <i>periodo</i> . . . . .	34
5.5. Partición y validación . . . . .	34
5.5.1. Codificación y normalización . . . . .	35
5.6. Selección de variables explicativas . . . . .	36
5.6.1. Selección automática mediante Featurewiz . . . . .	36
5.6.2. Selección mediante mRMR . . . . .	36
5.6.3. Selección manual basada en criterios estadísticos y conceptuales . . . . .	37
5.6.4. Selección Secuencial Supervisada basada en Rendimiento Predictivo (SSSRP) . . . . .	37
5.7. Modelos evaluados . . . . .	37
5.7.1. Modelos ensemble . . . . .	37
5.7.2. Boosting y aprendizaje secuencial . . . . .	38
5.7.3. Bagging . . . . .	38
5.7.4. Otros modelos evaluados . . . . .	39

5.7.5. Configuración del <i>stacking</i> . . . . .	39
5.7.6. Comparación y justificación de modelos . . . . .	39
<b>6. Implementación del <i>pipeline</i></b>	<b>42</b>
6.1. Ingeniería práctica del entrenamiento y la validación . . . . .	42
6.2. Implementación del <i>stacking</i> . . . . .	43
6.3. Datos finales de entrenamiento . . . . .	44
6.3.1. Efecto del periodo sobre el carbono . . . . .	46
<b>7. Entrenamiento y validación</b>	<b>48</b>
7.1. Elección de variables . . . . .	49
7.1.1. Resultados de la selección de variables manual . . . . .	49
7.1.2. Selección de variables mediante <i>Featurewiz</i> . . . . .	50
7.1.3. Selección de variables mediante <i>mRMR</i> . . . . .	51
7.1.4. Discusión de la selección de variables . . . . .	51
7.2. Ensamblado tipo <i>stacking</i> de modelos de regresión . . . . .	52
<b>8. Resultados</b>	<b>56</b>
8.1. Resultados IFN2 . . . . .	56
8.1.1. Toneladas de carbono por hectárea . . . . .	56
8.1.2. Toneladas de carbono . . . . .	60
8.2. Resultados IFN3 . . . . .	63
8.2.1. Toneladas de carbono por hectárea . . . . .	63
8.2.2. Toneladas de carbono . . . . .	67
8.3. Resultados IFN2 e IFN3 . . . . .	71
8.3.1. Toneladas de carbono por hectárea . . . . .	71
8.3.2. Toneladas de carbono . . . . .	72
<b>9. Discusión</b>	<b>76</b>
9.1. Modelos globales . . . . .	76
9.1.1. Variable <i>c4</i> (en toneladas de carbono por hectárea) . . . . .	76
9.1.2. Variable <i>carbono_bruto4</i> (en toneladas de carbono) . . . . .	79
9.2. Modelos individuales entrenados solo con el IFN2 o IFN3. . . . .	81
9.2.1. Asimilación del comportamiento de las variables objetivo . . . . .	82
9.2.2. Rendimiento de los modelos en función del valor de la variable objetivo . . . . .	85
<b>10. Conclusiones</b>	<b>88</b>

## 11. Recomendaciones para Futuras Investigaciones 91

<b>Apéndice A Apéndices</b>	<b>100</b>
Apéndice A.1 Origen y cálculo de las variables <code>ca</code> y <code>cr</code> . . . . .	100
Apéndice A.2 Estado de las Poblaciones ( <code>estado_id</code> ) . . . . .	102
Apéndice A.3 Forma Principal de Masa (IFN3 e IFN4: <code>fpmasa_id</code> )	102
Apéndice A.4 Tratamiento de la Masa (IFN3 e IFN4: <code>tratmasa_id</code> ) . . . . .	102
Apéndice A.5 Origen de la Masa (IFN3 e IFN4: <code>orgmasa_id</code> ) . . . . .	103
Apéndice A.6 Tipo de Suelo ( <code>tipsuelo1_id</code> , <code>tipsuelo2_id</code> , <code>tipsuelo3_id</code> ) . . . . .	103
Apéndice A.7 Rocosidad ( <code>rocosidad_id</code> ) . . . . .	104
Apéndice A.8 Textura del Suelo ( <code>textura_id</code> ) . . . . .	105
Apéndice A.9 Contenido en Materia Orgánica (IFN3 e IFN4: <code>matorg_id</code> ) . . . . .	105
Apéndice A.10 Modelo de Combustible (IFN3 e IFN4: <code>modcomb_id</code> )	105
Apéndice A.11 Distribución Espacial ( <code>disesp_id</code> ) . . . . .	106
Apéndice A.12 Composición Específica ( <code>comesp_id</code> ) . . . . .	107
Apéndice A.13 Manifestaciones Erosivas ( <code>merosiva_id</code> ) . . . . .	107
Apéndice A.14 Nivel de usos del suelo (IFN3 e IFN4: <code>nivel1_id</code> )	107
Apéndice A.15 Nivel morfoestructural (IFN3 e IFN4: <code>nivel2_id</code> )	108
Apéndice A.16 Código de los grupos taxonómicos de las especies ( <code>grupo_id</code> ) . . . . .	110
Apéndice A.17 Código de las especies ( <code>especie_id</code> ) . . . . .	110
Apéndice A.18 Resultados . . . . .	116
Apéndice A.18.1 IFN2 e IFN3 como explicativos para <code>carbono_bruto4</code> (tC) . . . . .	116
Apéndice A.18.2 IFN2 e IFN3 como explicativos para <code>c4</code> (tC/ha)	118
Apéndice A.18.3 IFN3 como explicativo para <code>carbono_bruto4</code> (tC) . . . . .	120
Apéndice A.18.4 IFN3 como explicativo para <code>c4</code> (tC/ha) . . . . .	122

## 1. Introducción

El cambio climático es uno de los mayores desafíos globales y su manifestación más directa es el aumento de las concentraciones atmosféricas de dióxido de carbono ( $CO_2$ ), con impactos sobre la círosfera, los extremos climáticos y los ecosistemas [1]. Los bosques actúan como sumideros naturales al fijar  $CO_2$  en biomasa vía fotosíntesis, por lo que su gestión resulta clave para la mitigación.

A lo largo de las últimas décadas, instrumentos internacionales como la *Convención Marco de las Naciones Unidas sobre el Cambio Climático (CMNUCC)* y el *Protocolo de Kioto* [2, 3] han establecido los marcos regulatorios para reducir las emisiones de gases de efecto invernadero mediante mecanismos basados en el mercado. En este contexto surgen los *créditos de carbono*, unidades que representan la cantidad de dióxido de carbono ( $CO_2$ ), habitualmente una tonelada, que ha sido capturada o cuya emisión ha sido evitada a través de proyectos certificados de mitigación.

Entre las actividades elegibles, la forestación y reforestación destacan por su capacidad de actuar como sumideros naturales de carbono, fijando  $CO_2$  en la biomasa y el suelo. No obstante, para que estas actuaciones puedan generar créditos de carbono válidos, deben cumplir una serie de criterios técnicos y legales establecidos en la normativa internacional sobre cambio climático y en su aplicación a nivel nacional. En particular, estos requisitos derivan de las reglas de contabilidad de sumideros forestales adoptadas en el marco de la Convención Marco de las Naciones Unidas sobre el Cambio Climático (CMNUCC) y del Protocolo de Kioto, concretadas en los Acuerdos de Marrakech, así como de la definición nacional de bosque comunicada por España para estos fines [4, 5]. Dichos criterios incluyen:

- **Intervención humana directa:** Los árboles deben ser el resultado de actividades de intervención humana directa, tales como la plantación, la siembra o el fomento deliberado de la regeneración natural. Este requisito se deriva de la definición de *forestación* y *reforestación* establecida en el Protocolo de Kioto, que excluye expresamente la regeneración natural no inducida por la acción humana [4].
- **Período mínimo de permanencia:** El proyecto debe garantizar la permanencia del sumidero de carbono durante un período prolongado (habitualmente del orden de 20-30 años), con el fin de asegurar que el carbono capturado no sea liberado de forma prematura a la atmósfera. Este criterio responde al principio de permanencia exigido en la conta-

bilidad de sumideros forestales del régimen LULUCF y en los marcos de aplicación nacionales y europeos, lo que excluye cultivos de corta rotación cuyo carbono se libera tras la cosecha [4, 6].

- **Superficie mínima de 1 hectárea:** El área objeto del proyecto debe tener una extensión mínima de 1 hectárea. Este umbral procede de la definición nacional de bosque adoptada por España dentro de los rangos permitidos por los Acuerdos de Marrakech (0,05–1 ha), comunicada oficialmente a la CMNUCC [5].
- **Fracción mínima de cabida cubierta del 20 %:** Para que un terreno sea considerado bosque, la cobertura de copas de las especies arbóreas debe alcanzar al menos el 20 % de la superficie. Este valor corresponde a la elección nacional realizada por España para la definición de bosque a efectos de contabilidad climática [5].
- **Altura mínima de los árboles maduros de 3 metros:** Las especies arbóreas deben ser capaces de alcanzar una altura mínima de 3 metros en su madurez. No es necesario que dicha altura se alcance en el momento inicial del proyecto, pero sí que sea alcanzable bajo condiciones normales de crecimiento. Este criterio forma igualmente parte de la definición nacional de bosque comunicada por España conforme a las decisiones adoptadas bajo la CMNUCC [5].

Este trabajo presenta **GreenWest**, un modelo de inteligencia artificial para estimar la cantidad de carbono que capturará un cultivo forestal en España a partir de variables de vegetación, clima y terreno en un período de 20 a 30 años. Este enfoque innovador tiene el potencial de transformar la gestión de proyectos de forestación y reforestación, optimizando las prácticas de plantación y maximizando la cantidad de carbono que se puede capturar en estos ecosistemas.

La pregunta operativa es: *dadas las características iniciales de una plantación, ¿cuánto CO<sub>2</sub> contendrá tras t años?, donde t es un número natural.* Para responderla, se integran datos del **Inventario Forestal Nacional** (IFN2–IFN4, MITECO) [7], reanálisis **ERA5-Land** [8] e **índices espectrales Landsat** (Collection 2, L2) [9] en una base de datos relacional jerárquica descrita en un trabajo complementario [10].

Este modelo no solo mejorará la comprensión del comportamiento de los sumideros de carbono, sino que también proporcionará herramientas útiles para la toma de decisiones estratégicas tanto en el ámbito empresarial como en el ambiental. De esta forma, el proyecto *GreenWest* contribuye a la

transición hacia una economía baja en carbono, alineándose con los objetivos globales de sostenibilidad establecidos en el marco de la CMNUCC y el *Protocolo de Kioto*, y promoviendo la creación de un mercado de créditos de carbono más eficiente y accesible para los actores económicos involucrados en la gestión de los recursos naturales.



## 2. Objetivos y Justificación

El presente estudio tiene como objetivo principal desarrollar un modelo de inteligencia artificial capaz de predecir con precisión la capacidad de absorción de dióxido de carbono ( $CO_2$ ) en cultivos forestales españoles. Este modelo se basa en variables que describen la especie arbórea, las características del terreno y las condiciones climáticas. A partir de este objetivo general se derivan varias metas específicas, que en conjunto justifican la relevancia y aplicabilidad del proyecto.

### 2.1. *Objetivos específicos*

- **Desarrollar un modelo predictivo robusto:** Construir un modelo de aprendizaje automático que estime la cantidad de  $CO_2$  que será capturado a lo largo del tiempo por un cultivo forestal, a partir de datos como especie, tipo de suelo, clase diamétrica, clima y otras variables relevantes.
- **Optimizar la captura de carbono:** Utilizar el modelo para identificar combinaciones óptimas de especies y terrenos que maximicen la fijación de carbono, contribuyendo a la planificación eficiente de proyectos de (re)forestación.
- **Asegurar la compatibilidad con las normativas internacionales:** Garantizar que las predicciones y salidas del modelo sean compatibles con los marcos normativos definidos por la *Convención Marco de las Naciones Unidas sobre el Cambio Climático* (CMNUCC) y el *Protocolo de Kioto*, cumpliendo así los criterios necesarios para la validación de créditos de carbono.
- **Analizar los factores determinantes del desarrollo forestal:** Estudiar la influencia de variables climáticas (como la temperatura y la precipitación) y edáficas (como el tipo de suelo o la pendiente) sobre el crecimiento forestal y su capacidad de capturar carbono.
- **Apoyar la toma de decisiones ambientales y empresariales:** Proporcionar una herramienta práctica y validada que permita a técnicos, gestores y empresas seleccionar las especies más adecuadas y planificar actuaciones de forestación con la mayor eficiencia posible en términos de secuestro de carbono.

### 2.2. *Justificación*

La necesidad de contar con herramientas predictivas para estimar la captura de  $CO_2$  se ha intensificado ante el crecimiento del mercado voluntario

de créditos de carbono, y las obligaciones adquiridas: cada país debe reportar sus emisiones y absorciones de gases de efecto invernadero, y puede utilizar actividades de (re)forestación como mecanismos de compensación.

Para que estos proyectos sean elegibles, deben cumplir criterios específicos, los cuales hacen imprescindible disponer de modelos que no solo estimen el carbono actual, sino que sean capaces de prever su evolución a futuro con base en condiciones iniciales y variables predictoras.

Este trabajo busca cubrir ese vacío mediante el uso de inteligencia artificial aplicada a datos reales y multifuente. Integrar su manejo dentro del sistema de créditos de carbono puede representar una importante oportunidad para la economía local y para la mitigación del cambio climático.



### 3. Revisión de la Literatura

La cuantificación precisa de los recursos forestales ha constituido, históricamente, una de las piedras angulares de la gestión territorial y la economía de recursos naturales. La evolución de las técnicas para medir el crecimiento de los árboles y, más recientemente, para estimar su biomasa y contenido de carbono, refleja una transformación profunda en las prioridades de la sociedad humana respecto a los ecosistemas forestales. Lo que comenzó en la Europa medieval como una necesidad logística para asegurar el suministro de leña y madera estructural ante el temor de la escasez, se ha metamorfoseado en el siglo XXI en una disciplina científica de alta tecnología impulsada por la urgencia climática global [11].

La dendrometría tradicional, pilar de los inventarios forestales modernos, se fundamenta en el uso de relaciones alométricas para estimar la biomasa ( $w$ ) y otros parámetros ecológicos a partir de variables de fácil medición en campo, principalmente el diámetro a la altura del pecho ( $D$ ) y la altura total ( $H$ ). Estas estimaciones suelen articularse mediante ecuaciones de la forma:

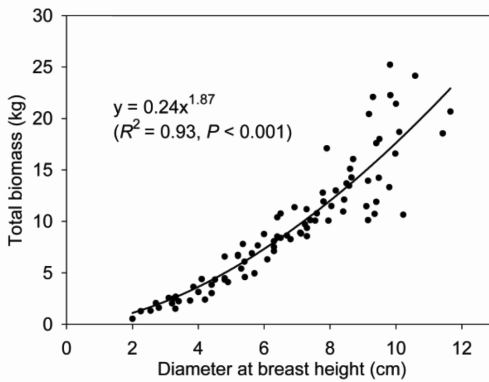
$$w = aD^bH^c \quad (3.1)$$

o sus transformaciones logarítmicas:

$$\lg w = a + b \lg D + c \lg H \quad (3.2)$$

donde los parámetros  $a$ ,  $b$  y  $c$  son coeficientes de regresión empíricos [12]. En este contexto, la precisión de las mediciones primarias es crítica, ya que, dada la naturaleza potencial de estas funciones, los errores en la toma de datos de  $D$  y  $H$  se propagan y magnifican en el cálculo final del volumen y el contenido de carbono. Pese a la aparente sencillez del ajuste, los resultados pueden llegar a ser muy buenos, como se muestra en la Figura 3.1. No obstante, existe una tensión en la literatura entre el uso de ecuaciones “pantrópicas” o generalizadas y ecuaciones específicas de especie o sitio, ya que se pueden introducir sesgos si la arquitectura de los árboles locales difiere de la global [13].

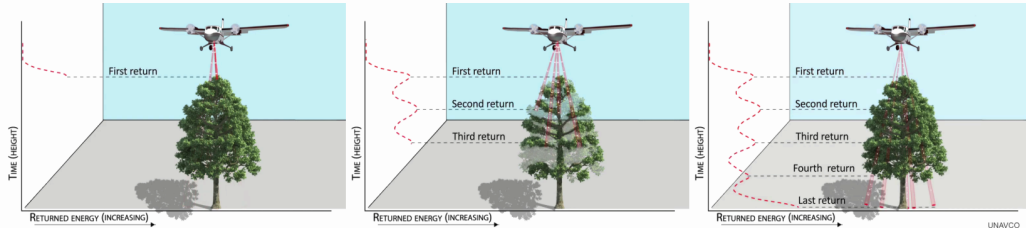
La medición de la altura de los árboles ha supuesto históricamente un desafío mayor que la del diámetro. Hasta la década de 1990, predominaron hipsómetros mecánicos basados en trigonometría, que requerían medir manualmente la distancia al árbol y una línea de visión despejada [15]. Estos métodos sufrían limitaciones de precisión y ergonomía. La introducción de la



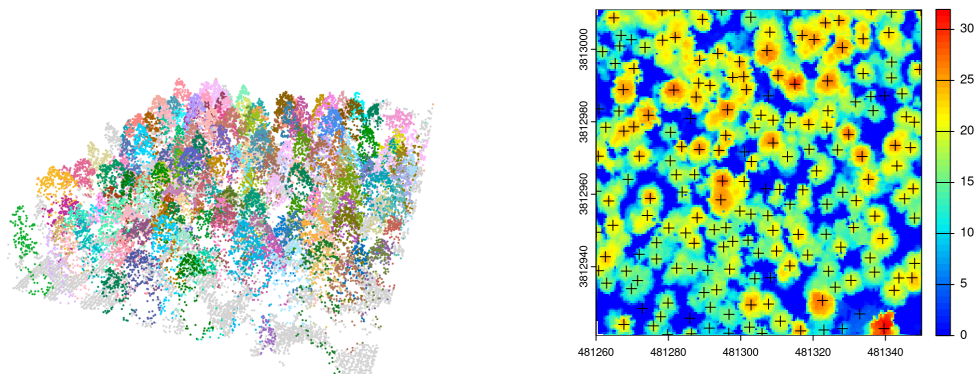
**Figura 3.1.** Relación entre la biomasa total en kilogramos y el diámetro a la altura del pecho en centímetros para el bambú moso (*Phyllostachys edulis*). Visto en [12], siendo [14] la fuente original.

electrónica marcó un punto de inflexión al utilizar ultrasonidos para medir distancias automáticamente, permitiendo trabajar en sotobosques densos y mejorando la precisión por debajo del 1% [15]. Paralelamente, las forcípulas (aparato de medición de la distancia lineal entre dos tangentes paralelas al fuste del árbol) electrónicas modernas han digitalizado la toma de datos, integrando medición y registro de metadatos para minimizar errores de transcripción [15].

Posteriormente, la introducción de la tecnología de escaneo láser supuso una revolución en la mensura forestal, superando las limitaciones logísticas y de precisión de los métodos tradicionales. Esta tecnología se despliega principalmente en dos modalidades: el escaneo láser terrestre (TLS, por sus siglas en inglés), que captura la estructura tridimensional del bosque desde el suelo con detalle milimétrico [16], y el LiDAR aerotransportado. Este último consiste es un método que usa pulsos de luz para medir distancias. Los mapeos masivos suelen consistir en un sistema LiDAR montado en un avión, helicóptero, dron o satélite, el cuál mide la distancia a los objetos debajo de él. Una ventaja es que, al igual que la luz puede llegar al suelo a través de los huecos de las copas de los árboles, los pulsos láser del LiDAR también lo hacen, como podemos observar en la Figura 3.2. Esto hace que mediante un solo sobrevuelo se puedan captar diversas capas a varias alturas, lo que permite realizar reconstrucciones en 3D de las zona escaneada. El detalle que se puede lograr es tan alto que se pueden identificar los árboles individuales, como se ve en la 3.3.



**Figura 3.2.** Diagrama de el escaneo de un árbol por un sistema LiDAR aerotransportado y los diversos pulsos reflejados. Imagen obtenida de [17].



(a) Visualización 3D de un bosque escaneado con LiDAR. Cada árbol se ha identificado de un color distinto.

(b) Mismo mapeo pero visto de arriba como un mapa 2D. Cada árbol está marcado con una x.

**Figura 3.3.** Visualización de un bosque escaneado con LiDAR. Vemos las posibilidades de identificar árboles individuales en un entorno forestal denso.



**Figura 3.4.** Plan de adquisición de datos del Tercer ciclo del proyecto PNOA-LiDAR del Instituto Geográfico Nacional de España.

Las principales limitaciones del LiDAR aerotransportado residen en su elevado coste y complejidad logística. Estos factores dificultan la obtención de coberturas a gran escala con una periodicidad óptima, generando además una latencia significativa en la disponibilidad de datos regionales. Asimismo, el procesamiento de esta información es más exigente que en métodos previos, a lo que se suma el desafío técnico de gestionar y almacenar grandes volúmenes de datos. En la Figura 3.4 se muestra el plan de adquisición de datos del Tercer ciclo del proyecto PNOA-LiDAR del Instituto Geográfico Nacional de España, donde se puede apreciar la cadencia con la que se hacen los mapeos.

La integración de estos datos estructurales, junto a la teledetección satelital y la capacidad de procesado de grandes volúmenes de datos que ofrecen los algoritmos de aprendizaje automático ha inaugurado un nuevo paradigma: la capacidad de monitorear los recursos forestales a escala global con una precisión sin precedentes. Es en este contexto de “forestería de precisión” y observación terrestre a gran escala donde se enmarca la investigación actual, habiéndose logrado resultados muy prometedores que permiten abordar la complejidad de los ecosistemas forestales con una granularidad antes inalcanzable.



#### 4. Estado del Arte

El secuestro de carbono en ecosistemas forestales ha cobrado una importancia creciente en la literatura científica, impulsada tanto por los compromisos internacionales en materia de cambio climático como por el auge de los mercados de créditos de carbono. Esto ha motivado el desarrollo de modelos orientados a cuantificar la biomasa forestal y estimar el contenido de carbono, aprovechando avances recientes en sensores remotos y técnicas de inteligencia artificial.

Una de las estrategias más consolidadas para la cuantificación del carbono forestal es la estimación del carbono almacenado en un momento dado a partir de datos de teledetección. Goetz et al. (2009) [18] revisan el uso de observaciones satelitales, incluyendo sensores ópticos como MODIS y Landsat, en modelos empíricos de biomasa aérea, destacando su aplicabilidad a escala regional, especialmente en ecosistemas boreales. Este tipo de estimaciones suele basarse en regresiones lineales o modelos de mínimos cuadrados generalizados, con coeficientes de determinación habitualmente entre 0.6 y 0.8, dependiendo de la resolución espacial y la heterogeneidad del ecosistema.

La aplicación de aprendizaje profundo ha permitido mejorar sustancialmente la precisión y resolución espacial de estas estimaciones. Por ejemplo, Zhang et al. (2022) [19] integran imágenes Sentinel-2 con redes neuronales convolucionales, alcanzando un  $R^2$  de 0.84 para estimar el carbono en bosques subtropicales. Del mismo modo, Jiang et al. (2022) [20] desarrollan el modelo *ForestCarbonAI*, entrenado con datos multiespectrales y LiDAR, con el que generan mapas de carbono forestal de alta resolución (10 m), reportando errores medios absolutos (MAE) inferiores a 3.5 tC/ha en zonas templadas. Otros trabajos recientes, como Reiersen et al. (2022) [21] o Dong et al. (2023) [22], también demuestran la eficacia del *deep learning* para estimaciones estáticas, aunque se centran en contextos tropicales y no consideran el componente temporal.

Frente a estos enfoques descriptivos, algunas iniciativas han intentado proyectar la evolución del carbono a futuro. En el ámbito nacional, el Ministerio para la Transición Ecológica (MITECO) ha implementado herramientas como la calculadora *ex ante* de absorciones [23], que permite obtener estimaciones simplificadas del carbono que puede fijarse en una plantación forestal en función de la especie y la zona agroclimática. No obstante, este instrumento se basa en coeficientes tabulados y no incorpora variables edafoclimáticas reales ni técnicas de modelización basadas en datos, lo que limita su precisión

y capacidad de adaptación a contextos específicos.

En el ámbito europeo destaca el trabajo de Fasihi et al. (2024) [24], que aplica un enfoque afín al propuesto en este estudio en la región de Friuli-Venezia Giulia (Italia). Su objetivo es estimar tanto el *stock* actual de carbono como su tasa de absorción anual (secuestro), basándose en datos de dendrocronología del Inventario Forestal Nacional italiano. Estas mediciones, realizadas entre 2017 y 2019, cuantifican el crecimiento radial de los últimos cinco años para estimar la biomasa mediante ecuaciones alométricas y su conversión a carbono según directrices del IPCC. Luego, entrena modelos predictivos utilizando variables meteorológicas, geomorfológicas, índices de vegetación y un modelo de las copas de los árboles (CHM) LiDAR, intentando predecir los valores obtenidos con datos de campo.

Los autores evalúan diversos modelos de conjunto (*ensemble*), reportando que combinaciones de algoritmos como Random Forest, AdaBoost y Cat-Boost ofrecen el mejor rendimiento. En la predicción del *stock* de carbono, alcanzan un  $R^2$  de  $0,73 \pm 0,07$  y un RMSE de  $31,55 \pm 9,35$  tC/ha. Para la tasa de secuestro, los resultados son más modestos, con un  $R^2$  de  $0,42 \pm 0,08$  y un RMSE de  $0,90 \pm 0,08$  tC/ha/año. Un hallazgo clave del estudio es que la inclusión de datos LiDAR mejora drásticamente la precisión de las estimaciones.

En este escenario, el presente trabajo propone una metodología innovadora centrada en la predicción dinámica de carbono a largo plazo. A diferencia de los modelos anteriores, que estiman el carbono ya almacenado, este estudio se enfoca en anticipar cuánto carbono capturará un cultivo forestal en un horizonte temporal concreto. Para ello, se estudian diversos modelos de aprendizaje supervisado entrenados con datos históricos del Inventario Forestal Nacional (IFN2, IFN3 e IFN4) [7] incluyendo características edáficas, variables climáticas de Copernicus [25, 26] y métricas espectrales derivadas de imágenes Landsat [27]. Los detalles sobre la arquitectura del modelo, las variables utilizadas, los algoritmos implementados y las métricas de evaluación se desarrollan en las siguientes secciones.



## 5. Metodología

Esta sección describe el procedimiento seguido para el entrenamiento y validación de los modelos predictivos desarrollados. La metodología se fundamenta en la identificación de los factores que determinan el crecimiento forestal y, en consecuencia, la capacidad de los ecosistemas para capturar carbono a lo largo del tiempo. El enfoque integra información estructural, climática y espectral procedente del Inventario Forestal Nacional (IFN) y de otras fuentes ambientales, con el propósito de construir modelos robustos que permitan predecir el contenido de carbono acumulado en la biomasa viva.

El carbono fijado por los árboles se acumula progresivamente en su biomasa, en función del tamaño y vigor de los individuos, los cuales están condicionados por variables ambientales, topográficas y de competencia intraespecífica. Las condiciones meteorológicas, como la temperatura y la precipitación, inciden directamente en la fotosíntesis y en la disponibilidad hídrica; la orientación, la pendiente y la altitud modifican la radiación incidente y el microclima local; mientras que la densidad de árboles por unidad de superficie determina el nivel de competencia por los recursos, variando según la especie y su tolerancia ecológica [28].

A partir de estos fundamentos, se construyó una base de datos relacional que integra información forestal, climática y espectral a nivel de parcela, especie y clase diamétrica. Esta estructura permite caracterizar con precisión la dinámica del bosque entre inventarios sucesivos y alimentar modelos predictivos capaces de estimar el contenido futuro de carbono a partir de las condiciones observadas en el pasado.

### 5.1. Origen y estructura de los datos

La base de datos empleada en este trabajo integra información forestal, climática y espectral estructurada en torno a la parcela como unidad básica. Cada parcela se describe mediante sus coordenadas geográficas, características edáficas y su evolución a través de distintos inventarios (IFN2, IFN3, IFN4).

Los datos forestales incluyen información por especie y clase diamétrica, como número de pies o carbono aéreo, radical y total. Estos valores permiten caracterizar con precisión la estructura y crecimiento de la vegetación.

A cada parcela se asocian también estadísticas climáticas agregadas por estación e inventario: temperaturas (superficie, aire y subsuelo) y precipita-

ciones, resumidas mediante métricas como media, máxima, mínima y desviación típica.

Finalmente, se incorporan índices espetrales derivados de imágenes satelitales (NDVI, EVI, NDII, GNDVI), que permiten cuantificar propiedades biofísicas de la vegetación:

- **NDVI (Normalized Difference Vegetation Index)**: estima la actividad fotosintética.
- **EVI (Enhanced Vegetation Index)**: mejora la sensibilidad en zonas densamente vegetadas.
- **NDII (Normalized Difference Infrared Index)**: refleja el contenido hídrico de la vegetación.
- **GNDVI (Green NDVI)**: variante del NDVI basada en la banda verde, sensible a la cantidad de clorofila.

#### 5.1.1. Estructura de la base de datos

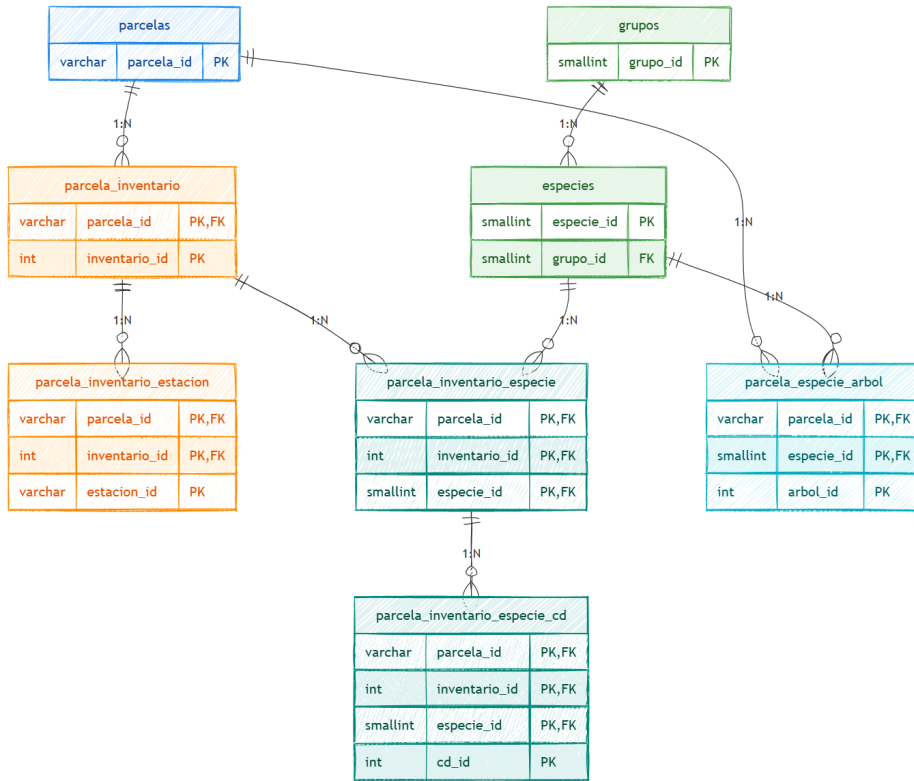
Estos datos se organizan en las siguientes entidades troncales (tablas):

- **parcelas**: contiene la información básica ligada a la localización de cada parcela (características edáficas y climáticas).
- **parcela\_inventario**: describe el estado de cada parcela en un inventario determinado, incluyendo atributos edáficos y de contexto (p. ej., textura del suelo, fracción de cabida cubierta...).
- **parcela\_inventario\_especie**: detalla la presencia y condición de cada especie dentro de una parcela e inventario, incorporando descriptores de masa y tratamientos silvícolas.
- **parcela\_inventario\_especie\_cd**: describe las poblaciones arbóreas por parcela, especie y *clase diamétrica*: n.<sup>o</sup> de pies, área basimétrica, volúmenes, altura de los especímenes, carbono capturado...
- **parcela\_especie\_arbol**: caracteriza los pies mayores identificados por parcela y especie en el cuarto inventario. Recoge las características particulares de cada pie como altura, diámetros, ubicación respecto del centro de la parcela, volumen y carbono capturado.
- **parcela\_inventario\_estacion**: almacena agregados climático-biofísicos por estación en la misma granularidad parcela-inventario, incluyendo variables como precipitación y temperatura, junto a índices de vegetación (NDVI, EVI, NDII, GNDVI).
- **especies y grupos**: recogen la información taxonómica y su clasificación jerárquica, estableciendo la relación entre especies individuales y

grupos funcionales.

Cada variable categórica posee una tabla de catálogo propia (`cat_`), donde se definen los valores posibles y sus descripciones. Por ejemplo, `cat_textura`, `cat_nivel1`, `cat_tratmasa` o `cat_origen`. Todas siguen un patrón uniforme: la clave primaria es el identificador de la variable (`<variable>_id`), y las tablas troncales referencian este mismo campo como clave foránea. Además la base de datos incluye una tabla llamada `meta_variables` que recoge los metadatos.

La Figura 5.1 muestra el esquema general de las tablas troncales y sus principales relaciones. Este diagrama resume la estructura interna de la base de datos y su jerarquía de dependencias.



**Figura 5.1.** Esquema relacional de las tablas principales de la base de datos. Tabla extraída de [10], donde se pueden consultar más detalles sobre las variables.

### 5.1.2. Diccionario resumido de variables

**Tabla 5.1.** Resumen de variables principales por entidad. Tabla extraída de [10].

Variable	Descripción	Unidad	Tipo de dato
<b>parcelas</b>			
parcela_id	Identificador único de parcela (IFN).	–	Identificador
latitud, longitud	Coordenadas geográficas (WGS84).	°	Geográfico
coorx, coory	Coordenadas UTM; huso especifica zona.	m (UTM)	Geográfico
elevacion	Cota sobre el nivel del mar (NASADEM).	m	Numérico
pendiente	Inclinación del terreno.	°	Numérico
orientacion	Orientación del terreno (0–360).	°	Numérico
presencia_id	Presencia en IFN → cat_presencia.	–	Categórico
tipsuelo1_id, tipsuelo2_id, tipsuelo3_id	Tipos de suelo → cat_tipsuelo*.	–	Categórico
rocosidad_id	Rocosidad → cat_rocosidad.	–	Categórico
radio, superficie	Radio de parcela y superficie derivada.	m; ha	Numérico
<b>parcela_inventario</b>			
parcela_id, inventario_id	Clave compuesta (parcela-inventario).	–	Identificador
ano	Año de apeo.	año	Numérico
nivel1_id, nivel2_id	Morfoestructura. → cat_nivel*.	–	Categórico
textura_id	Textura de suelo → cat_textura.	–	Categórico
merosiva_id	Manifestaciones erosivas → cat_merosiva.	–	Categórico
matorg_id	Materia orgánica → cat_matorg.	–	Categórico
modcomb_id	Modelo de combustible → cat_modcomb.	–	Categórico
disesp_id	Distribución espacial → cat_disesp.	–	Categórico
comesp_id	Composición específica → cat_comesp.	–	Categórico
fccarb, fcctot	Fracción de cabida cubierta (árboles).	%	Numérico
<b>parcela_inventario_especie</b>			
parcela_id, inventario_id, especie_id	Clave compuesta (parcela-inventario-especie).	–	Identificador
ocupa	Grado de ocupación de la especie.	(0–10)	Numérico
estado_id	Estado de desarrollo. → cat_estado.	–	Categórico

Continúa en la siguiente página

Variable	Descripción	Unidad	Tipo de dato
fpmasa_id	Forma principal de masa → cat_fpmasa.	–	Categórico
tratmasa_id	Tratamientos selvícolas → cat_tratmasa.	–	Categórico
orgmasa1_id	Origen de masa (IFN3/4) → cat_orgmasa1.	–	Categórico
masa_id	Clasificación de masa → cat_masa.	–	Categórico
origen_id	Origen de la masa (IFN2) → cat_origen.	–	Categórico
<b>parcela_inventario_especie_cd</b>			
parcela_id, inventario_id, especie_id	Clave compuesta ( parcela-inventario-especie-cd).	–	Identificador
cd_id	Clase diamétrica (CD) reglamento IFN.	cm	Numérico discreto
npies	Número de pies.	pies/ha	Numérico
abas	Área basimétrica.	m <sup>2</sup> /ha	Numérico
vcc, vsc, vle	Volúmenes (con/sin corteza; leñas).	m <sup>3</sup> /ha	Numérico
iavc	Incremento anual del volumen con corteza.	m <sup>3</sup> /ha·año	Numérico
ca, cr	Carbono aéreo y radical.	t/ha	Numérico
ht	Altura media (modelo CatBoost).	m	Numérico
carbono_bruto	Carbono total estimado (alometrías).	t	Numérico
<b>parcela_especie_arbol</b>			
parcela_id, especie_id	Clave compuesta (parcela-especie-árbol).	–	Identificador
arbol_id	Identificador del árbol dentro de parcela y especie.	–	Entero
rumbo	Rumbo desde el centro de la parcela al árbol.	grados centésimales	Numérico
distancia	Distancia desde el centro de la parcela al árbol.	m	Numérico
cd	Clase diamétrica (reglamento IFN).	cm	Numérico discreto
ht	Altura total del árbol inventariado.	m	Numérico
dn1, dn2	Diámetros normales perpendiculares.	mm	Numérico
abas	Área basimétrica del pie medido.	m <sup>2</sup>	Numérico
iavc	Incremento anual del volumen con corteza.	dm <sup>3</sup> /año	Numérico
vcc, vsc, vle	Volúmenes (con corteza, sin corteza, leñas).	dm <sup>3</sup>	Numérico
ca, cr	Carbono aéreo y radical del árbol.	t	Numérico

Continúa en la siguiente página

Variable	Descripción	Unidad	Tipo de dato
<b>parcela_inventario_estacion</b>			
parcela_id,	Clave compuesta (agregado estacional).	–	Identificador
inventario_id,			
estacion_id			
PR_*	Estadísticos de precipitación (mean, max, min, std, sum).	mm/(m <sup>2</sup> .día), mm/m <sup>2</sup>	Numérico
T2M_*, SKT_*	Aire 2 m y temperatura superficial (mean, max, min, std).	°C	Numérico
STL1_*–STL4_*	Temperatura del suelo por niveles (mean, max, min, std).	°C	Numérico
NDVI_*, EVI_*, NDII_*, GNDVI_*	Índices de vegetación (max, mean, median, min, std).	adimensional	Numérico
<b>especies y grupos</b>			
especie_id	Identificador de especie IFN.	–	Identificador
nombre,	Denominación IFN y sinónimos.	–	Texto
sinonimia			
tipo_especie	0 = conífera; 1 = frondosa.	–	Categórico
grupo_id	Grupo funcional → grupos.	–	Identificador
grupos.nombregrupd	Nombre del grupo.	–	Texto

### 5.1.3. Cardinalidad y completitud

El volumen de entradas por tabla es:

Tabla	Número de registros
parcelas	52,298
parcela_inventario	147,995
parcela_inventario_especie	417,119
parcela_inventario_especie_cd	1,191,070
parcela_especie_arbol	855,860
parcela_inventario_estacion	470,056
especies	195
grupos	33

## 5.2. Variables objetivo

El objetivo del modelo es estimar el **carbono total** que una parcela forestal capturará en un horizonte temporal de 20–30 años, a partir de las condiciones observadas en inventarios previos. Para ello se contemplan dos variables de respuesta complementarias, ambas derivadas de los datos del Inventario Forestal Nacional (IFN), que permiten analizar el contenido de carbono desde perspectivas distintas: una normalizada por superficie y otra en términos absolutos.

1. **c** (tC/ha): representa el **carbono total contenido en la biomasa viva aérea y subterránea** por unidad de superficie, expresado en *toneladas de carbono por hectárea*. Su cálculo se basa en la suma de las estimaciones de carbono aéreo (**ca**) y radical (**cr**) reportadas por el IFN. En los casos con valores faltantes, se completó la información mediante un modelo de *Random Forest Regressor* ajustado sobre variables dendrométricas observadas (Especie, CD, VSC, NPies, ABas, IAVC, VCC y VLE), alcanzando un rendimiento satisfactorio ( $R^2_{test} > 0,90$ ). Esta variable es coherente con los formatos internacionales de reporte de inventarios forestales y permite comparar el contenido de carbono entre parcelas o especies.
2. **carbono\_bruto** (tC): corresponde al **carbono total capturado por parcela y especie**, expresado en *toneladas de carbono totales*. Su estimación se realiza de forma trazable y físicamente interpretable a partir de variables medidas directamente en campo: número de pies (**npies**), altura media (**ht**), tipo de especie (**clase\_especie**) y clase diamétrica (**cd\_id**). El cálculo sigue un modelo alométrico adaptado de [29] y las directrices del IPCC [28], incorporando tanto la biomasa aérea como la biomasa radical mediante la relación Parte Radical:Parte Aérea (**R**). El resultado se expresa en toneladas de carbono totales por parcela, sin normalizar por superficie, lo que facilita la trazabilidad del proceso y la comparación entre inventarios sin depender de factores de expansión específicos del IFN. En coherencia con los criterios de proyectos de forestación y reforestación, las observaciones correspondientes a brizales o plantones se consideran con valor de carbono nulo, dado que las fases tempranas de desarrollo no se contabilizan oficialmente como carbono capturado.

Estas dos variables resumen el contenido de carbono forestal desde enfoques complementarios: **c** (tC/ha) permite la comparación espacial y temporal

entre masas forestales, mientras que **carbono\_bruto** (tC) ofrece una medida absoluta y directamente derivada de las observaciones de campo. Ambas constituyen los objetivos principales del modelado predictivo, orientado a estimar el carbono acumulado en el **IFN4** a partir de las condiciones registradas en los inventarios anteriores (**IFN2** e **IFN3**).

Para mayor detalle sobre el origen de estas variables consultar [10].

### 5.3. Supuestos de elegibilidad y verificación externa

Como ya se ha introducido, para que un proyecto forestal sea elegible en programas de *créditos de carbono* en España debe cumplir algunos requisitos técnicos [28, 30]. A continuación se resume cada criterio y la forma en que se aborda en este estudio:

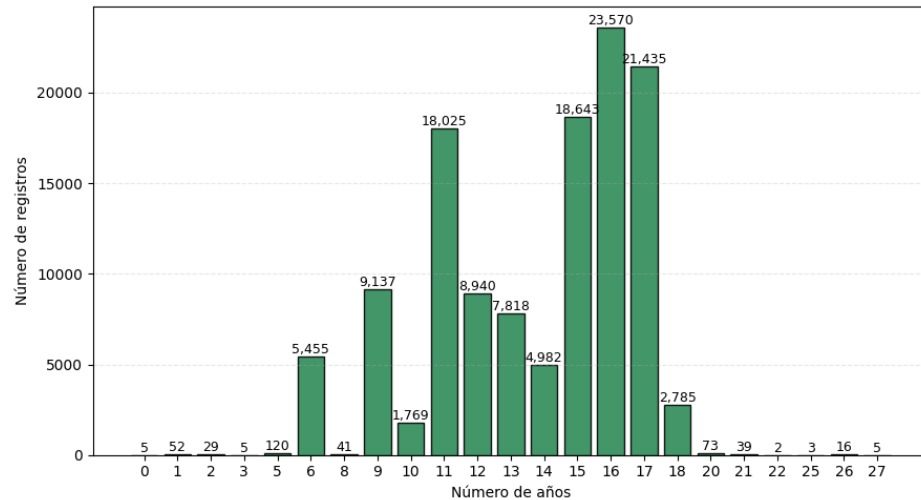
- **Intervención humana directa.** El incremento de carbono debe proceder de actuaciones planificadas (reforestación, restauración o manejo sostenible). En nuestro caso, el modelo se entrena sobre datos observacionales (IFN2–IFN3–IFN4); por tanto, la *verificación de intervención* no se deduce del modelo, sino que se contempla como *condición externa* de elegibilidad del proyecto a evaluar.
- **Permanencia mínima.** Para caracterizar el crecimiento de las parcelas forestales en los datos que alimentan el modelo, es necesario disponer de dos mediciones sucesivas de cada parcela, separadas por un intervalo temporal conocido. Estas mediciones permiten cuantificar la evolución de las variables forestales y, por tanto, estimar el incremento de carbono asociado al crecimiento del arbolado durante dicho periodo.

En este trabajo, el objetivo es predecir el contenido de carbono correspondiente al **IFN4**, utilizando como información explicativa las variables observadas en inventarios anteriores. Dado que los inventarios tercero y cuarto comparten una estructura homogénea y un conjunto de variables comparable, la elección más directa para el entrenamiento del modelo sería emplear exclusivamente estos dos inventarios. Esta estrategia aprovecha la coherencia estructural de los inventarios más recientes, que incluyen un mayor número de variables y una caracterización más detallada del terreno.

El intervalo de tiempo entre los inventarios **IFN3** e **IFN4** es relativamente corto: la Figura 5.2 muestra la distribución de la diferencia de años entre las mediciones del IFN3 y el IFN4. Como puede observarse, la mayoría de las parcelas presentan intervalos comprendidos entre 6 y

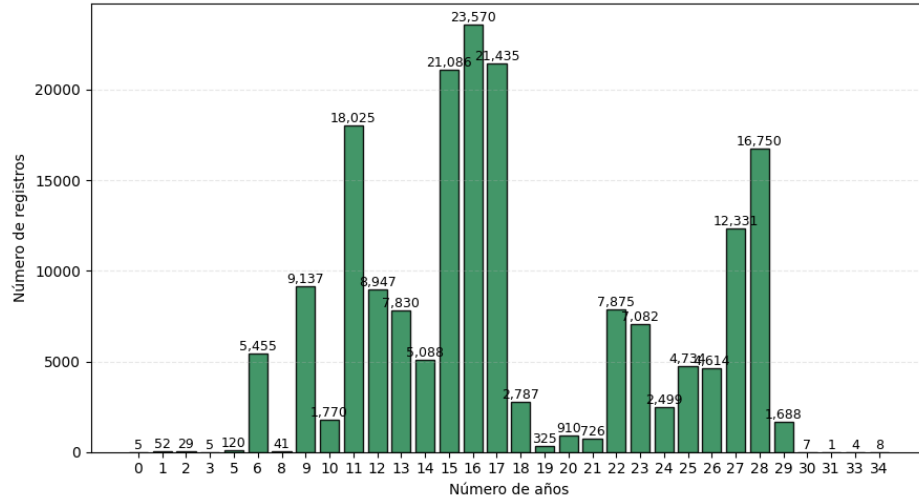
17 años, un rango demasiado estrecho para evaluar la estabilidad del modelo en horizontes más amplios.

TODO: indicar con colores cuántos elementos proceden de cada inventario. hacer la figura más pequeña



**Figura 5.2.** Distribución de la diferencia de años entre los inventarios tercero y cuarto.

Para ampliar la cobertura temporal y mejorar la capacidad de generalización del modelo, se optó por unificar la información de los inventarios **IFN2** e **IFN3** como base explicativa para la predicción del **IFN4**. Esta integración permite disponer de pares de mediciones de parcelas separadas por intervalos que oscilan entre 6 y 29 años, lo que constituye un rango mucho más representativo del horizonte de 20–30 años establecido como referencia.



**Figura 5.3.** Distribución de la diferencia de años entre los inventarios IFN2–IFN3 e IFN3–IFN4.

De esta forma, el modelo se entrena y valida sobre un conjunto de datos más diverso y equilibrado, tanto en estructura como en amplitud temporal, manteniendo la coherencia metodológica y la trazabilidad de las estimaciones.

- **Superficie mínima de 1 ha.** Este criterio se considera externo al alcance del modelo predictivo, ya que el aprendizaje se realiza a nivel de parcela e inventario y no sobre polígonos de superficie total. En la práctica, la verificación de la superficie se realiza *ex ante*, sobre la geometría declarada del proyecto forestal. En los terrenos forestales generados a partir de intervención humana directa, como plantaciones o repoblaciones, la extensión suele presentar una estructura homogénea, con una especie dominante, edades coetáneas y densidades estandarizadas. Bajo estas condiciones, el carbono total es proporcional a la superficie: duplicar el área de una masa forestal homogénea implica aproximadamente duplicar su carbono almacenado. Por tanto, la variable de superficie no afecta al ajuste interno del modelo y su cumplimiento puede evaluarse fácilmente a nivel de proyecto, sin comprometer la validez de las predicciones.
- **Fracción mínima de cabida cubierta del 20 %.** La base de datos dispone de `fccarb` (arbórea) y `fcctot` (total). Este umbral se aplica como *filtro de elegibilidad* previo o posterior al modelado, sin modificar

la arquitectura del modelo ( $\text{fccarb} > 20$ ).

- **Altura mínima de 3 m en la madurez.** Este requisito se refiere a la altura que alcanzan los árboles en su fase de pleno desarrollo, y no a la altura inicial de los plantones. Por tanto, las mediciones realizadas durante las etapas tempranas de crecimiento no determinan la elegibilidad del proyecto, siempre que las especies seleccionadas sean capaces de superar los 3 metros en la madurez. Este criterio se evalúa de forma externa al modelo, mediante la selección de especies forestales adecuadas y la verificación con fuentes auxiliares (catálogos silvícolas o tipologías de masa). En la práctica, el cumplimiento del requisito depende de una decisión de diseño del proyecto: no plantar especies cuyo tamaño adulto sea inferior a 3 metros. Por ello, la altura no interviene directamente en el entrenamiento, aunque sí condiciona la elegibilidad final del proyecto forestal.

#### *5.4. Preparación y tratamiento de los datos*

Como ya se ha introducido, el entrenamiento se realiza en dos líneas según la variable objetivo: carbono en toneladas por hectárea ( $c$  de **IFN4**) o carbono en toneladas ( $\text{carbono\_bruto}$  de **IFN4**); y según la información que se usa como explicativa: **IFN3** o **IFN3 e IFN2**. Se plantea la preparación y filtrado de los datos en términos generales.

##### *5.4.1. Filtrado de registros*

Se descartan todas aquellas parcelas en las que el valor de carbono total (variable objetivo) en la segunda inventariación es inferior a la primera. Estos casos suelen deberse a episodios de deforestación, incendios u otras perturbaciones, y no representan un crecimiento forestal neto.

El conjunto de datos se restringe únicamente a las parcelas que presentan una  $\text{fccarb}$  (fracción de cabida cubierta arbórea) igual o superior al 20 % en el inventario explicativo. Este umbral define la proporción mínima de superficie ocupada por copas de árboles respecto al área total de la parcela, y constituye una de las condiciones esenciales para considerar una superficie como terreno forestal. La exclusión de parcelas con  $\text{fccarb}$  inferior al 20 % permite asegurar que las estimaciones de carbono se realicen sobre masas forestales consolidadas, evitando sesgos asociados a áreas agrícolas o matarrales. A los datos del **IFN2** no se les aplica dicho filtro porque no disponen de la variable  $\text{fccarb}$ .

#### *5.4.2. Cálculo y agregación de variables*

Cada registro de entrada se genera a nivel de combinación parcela–especie, incorporando las variables correspondientes de la primera medición y la variable objetivo (carbono) de la segunda medición (IFN4). Las variables de `parcela` y `parcela_inventario` se desdoblan para cada especie. Las entradas de la tabla `parcela_inventario_especie_cd` se agrupan por parcela y especie y se comprimen en una única entrada creando un conjunto de variables para cada clase diamétrica.

La Tabla 5.2 resume las variables empleadas como entrada al modelo, integradas desde las distintas tablas que conforman la base de datos relacional.

#### *5.4.3. Reclasificación de las variables pendiente y orientacion*

Las variables topográficas originales `pendiente` (en grados) y `orientacion` (acimut en grados) se registran de forma continua en las parcelas del IFN. Sin embargo, desde el punto de vista ecológico su efecto sobre la acumulación de carbono suele ser no lineal y está asociado a clases discretas (e.g. laderas suaves frente a escarpadas, exposición norte frente a sur), por lo que resulta más adecuado tratarlas como factores categóricos.

A partir de la distribución empírica y de criterios habituales en estudios de fisiografía forestal, se definió una variable categórica `pendiente_cat` mediante cortes en grados:

- < 5°: *muy suave*,
- 5–10°: *suave*,
- 10–15°: *moderada*,
- 15–20°: *fuerte*,
- 20–30°: *muy fuerte*,
- 30–50°: *escarpada*,
- > 50°: *extrema*.

Esta reclasificación permite capturar diferencias funcionales relevantes (accesibilidad, estabilidad del suelo, escorrentía, profundidad efectiva del suelo) sin asumir una relación lineal entre la pendiente y el carbono almacenado.

De forma análoga, la variable `orientacion` se reclasificó en ocho sectores cardinales equiángulos: N, NE, E, SE, S, SO, O y NO. La nueva variable `orientacion_cat` agrupa orientaciones con condiciones de insolación y balance hídrico similares, lo que facilita la interpretación ecológica y reduce el ruido asociado a pequeñas variaciones angulares.

Resumen de Datos de Entrada del Modelo			
Variable	Tipo	Descripción	Anexo
<code>parcela_id</code>	varchar	Identificador único de parcela.	—
<code>especie_id, tipo_especie, grupo_id</code>	int (CF)	Especie, tipo y grupo taxonómico.	<a href="#">Apéndice A.17</a> , <a href="#">Apéndice A.16</a>
<code>ocupa</code>	int	Grado de ocupación (0–10).	—
<code>estado_id, fpmasa_id, tratmasa_id, orgmasa_1_id</code>	int (CF)	Estado, forma de masa, tratamiento, organización.	<a href="#">Apéndice A.2</a> , <a href="#">Apéndice A.3</a> , <a href="#">Apéndice A.4</a> , <a href="#">Apéndice A.5</a>
<code>tipsuelo1-3_id</code>	int (CF)	Tipos de suelo.	Anexo <a href="#">Apéndice A.6</a>
<code>rocosidad_id, textura_id, matorg_id, modcomb_id, disesp_id, comesp_id, merosiva_id</code>	int (CF)	Variables edáficas y estructurales.	Apéndices varios
<code>radio, orientacion, elevacion, pendiente</code>	float	Topografía y geometría de parcela.	—
<code>nivel1_id, nivel2_id, fccarb, fcttot</code>	int/float	Niveles jerárquicos y cabida cubierta.	<a href="#">Apéndice A.14</a> , <a href="#">Apéndice A.15</a>
<code>npies_{CD}</code>	float	N. <sup>o</sup> de pies por clase diamétrica.	—
<code>periodo</code>	int	Años entre inventarios.	—
<code>evi, gndvi, ndii, ndvi_{stat}_{est}</code>	float	Índices de vegetación por estación.	—
<code>pr, skt, stl1-4, t2m_{stat}_{est}</code>	float	Variables climáticas por estación.	—
<code>c4, carbono_bruto4</code>	float	Carbono IFN4 (t/ha y t).	—

**Tabla 5.2.** Variables de entrada del modelo. Las variables en verde están disponibles en IFN2 e IFN3; el resto solo en IFN3.

#### *5.4.4. Agrupación de la variable periodo*

Como se puede observar en la Figura 5.3, la distribución de la variable *periodo*, definida como el número de años transcurridos entre la medición de las variables explicativas y la observación de la variable objetivo, presenta cierta heterogeneidad en su frecuencia. Aunque el rango total de valores se extiende aproximadamente entre 0 y 34 años, algunos intervalos temporales aparecen representados por un número muy reducido de observaciones.

Esta escasez de datos en determinados valores de *periodo* puede introducir inestabilidad en el entrenamiento de los modelos, al forzar al algoritmo a aprender patrones a partir de muestras poco representativas. Para mitigar este efecto y mejorar la robustez de las predicciones, se optó por agrupar ciertos valores de *periodo* en categorías temporales más amplias, dando lugar a una nueva variable denominada *periodo\_agrupado*.

El procedimiento de agrupación se diseñó de forma conservadora, manteniendo sin modificar aquellos valores con suficiente soporte muestral y agrupando únicamente los intervalos más escasos. En concreto, los valores inferiores a 6 años se agruparon en la categoría 5; los periodos entre 7 y 10 años se agruparon en 10; los comprendidos entre 18 y 21 años se agruparon en 20; y los valores iguales o superiores a 29 años se agruparon en 30. El resto de valores intermedios se mantuvieron sin modificación.

Cabe destacar que la variable *periodo\_agrupado* no conserva la granularidad completa de la variable original, pero sí retiene su significado temporal esencial. Los experimentos realizados muestran que esta representación resulta más estable desde el punto de vista estadístico y conduce a modelos con un comportamiento predictivo más robusto, al reducir la sensibilidad a intervalos temporales con baja frecuencia de observaciones.

#### *5.5. Partición y validación*

Para obtener una estimación imparcial del rendimiento y evitar *fugas de información* derivadas de la estructura jerárquica de los datos, el proceso de entrenamiento se organiza en dos niveles: (i) una partición externa *hold-out* para la evaluación final y (ii) una validación cruzada interna para la selección de hiperparámetros.

**Partición entrenamiento/test.** Los datos, ya filtrados, se separan en un 80 % para entrenamiento y un 20 % para test. Dicha separación se hace de forma que todas las observaciones asociadas a una misma parcela queden asignadas íntegramente a uno de los subconjuntos.

**Validación cruzada para selección de hiperparámetros.** La selección de hiperparámetros se lleva a cabo exclusivamente sobre el conjunto de entrenamiento mediante `GridSearchCV` con métrica de optimización  $R^2$ . Se utiliza `GroupKFold` con  $k = 5$  pliegues, imponiendo que no exista solape de parcelas entre pliegues (esto es, la agrupación se respeta tanto en el *hold-out* como en la validación interna).

**Métricas de evaluación.** El rendimiento se informa con un conjunto de medidas complementarias:

- **RMSE (Root Mean Squared Error):** raíz del error cuadrático medio entre valores observados y predichos; se expresa en las mismas unidades que la variable objetivo y penaliza con mayor peso los errores grandes. Valores más bajos indican mejor ajuste.
- **$R^2$  (coeficiente de determinación):** proporción de la varianza observada explicada por el modelo (idealmente en  $[0, 1]$ ). Valores cercanos a 1 denotan alta capacidad explicativa; puede ser negativo si el modelo es peor que la predicción constante.
- **MAE (Mean Absolute Error):** media aritmética del error absoluto, que cuantifica la desviación media entre las predicciones y los valores observados. Penaliza todos los errores de forma lineal y es más interpretable que el RMSE. Valores más bajos indican mejor ajuste.
- **SMAPE (Symmetric Mean Absolute Percentage Error):** error porcentual absoluto medio simétrico, que mide la discrepancia relativa entre valores observados y predichos normalizada por su magnitud media. Es especialmente útil para comparar el rendimiento del modelo entre distintos rangos de la variable objetivo y reduce la asimetría presente en métricas porcentuales tradicionales. Valores más bajos indican mejor ajuste relativo.

#### 5.5.1. Codificación y normalización

Con el fin de garantizar coherencia metodológica y evitar *fugas de información* durante la validación cruzada, todas las etapas de preprocesado se integran explícitamente dentro de un `Pipeline` junto con el modelo de regresión. De este modo, los parámetros asociados al preprocesado se estiman *exclusivamente* a partir de los datos de entrenamiento de cada pliegue, y se aplican posteriormente a los datos de validación o test.

Las variables se tratan de acuerdo con su naturaleza:

- **Variables numéricas continuas:** se imputan mediante la mediana

para reducir la influencia de valores extremos y, posteriormente, se estandarizan mediante normalización *z-score* (media cero y desviación estándar unitaria). Este paso resulta especialmente relevante para modelos sensibles a la escala de las variables, como regresiones lineales, SVR o redes neuronales.

- **Variables estructurales de densidad (`npies_*`):** al representar recuentos por clase diamétrica, se imputan con valor cero cuando están ausentes y se estandarizan de forma análoga a las variables numéricas, preservando su contribución relativa en el modelo.
- **Variables categóricas:** se imputan mediante la moda, se convierten explícitamente a tipo cadena y se codifican mediante *one-hot encoding*. Se utiliza la opción `handle_unknown='ignore'` para garantizar la robustez del modelo frente a categorías no observadas durante el entrenamiento.

Esta estrategia asegura que la codificación, imputación y escalado de las variables se realicen de forma consistente en todos los modelos evaluados y que el rendimiento estimado refleje fielmente la capacidad de generalización del sistema, sin introducir sesgos derivados del acceso indebido a información del conjunto de evaluación.

### 5.6. Selección de variables explicativas

La selección de predictores se abordó mediante tres estrategias complementarias: (1) selección automática mediante *Featurewiz*, (2) selección basada en el criterio de mínima redundancia y máxima relevancia (*mRMR*) y (3) selección manual basada en criterios estadísticos y conceptuales.

#### 5.6.1. Selección automática mediante *Featurewiz*

El algoritmo *Featurewiz* aplica un enfoque híbrido orientado a la relevancia predictiva. Primero ejecuta un filtrado por correlación, eliminando predictores altamente colineales (umbral  $|r| > 0,70$ ), y posteriormente refina el conjunto mediante modelos de *Gradient Boosting* para estimar la importancia relativa de cada variable. El resultado es un subconjunto compacto de predictores con contribución significativa al rendimiento del modelo.

#### 5.6.2. Selección mediante *mRMR*

El método *mRMR* (minimum Redundancy–maximum Relevance) selecciona las variables que mejor explican la variabilidad del objetivo a la vez

que minimizan la redundancia informativa entre ellas. Para ello emplea información mutua, permitiendo capturar relaciones potencialmente no lineales. Este enfoque prioriza predictores que aportan información complementaria sobre el proceso ecológico modelado, evitando duplicidades entre atributos altamente correlacionados.

#### *5.6.3. Selección manual basada en criterios estadísticos y conceptuales*

La selección manual integró criterios estadísticos (correlaciones, ANOVA y análisis de redundancia) con criterios ecológicos y de interpretabilidad. Se descartaron predictores sin asociación significativa con la variable objetivo y se redujo la colinealidad reteniendo un único representante por cada grupo altamente correlacionado. Asimismo, se garantizaron variables que describieran dimensiones esenciales del sistema (estructura del arbolado, topografía, suelo, clima e índices espectrales), asegurando un equilibrio entre precisión predictiva y coherencia biogeográfica.

#### *5.6.4. Selección Secuencial Supervisada basada en Rendimiento Predictivo (SSSRP)*

El método SSSRP complementó las estrategias anteriores mediante un enfoque explícitamente orientado al rendimiento predictivo. Se partió de un *bloque base* de variables estructurales y se evaluó el impacto marginal de cada candidato añadiéndolo individualmente y comparando el cambio en  $R^2$  y RMSE mediante un modelo CatBoost con validación holdout estratificada por parcela. A continuación, se aplicó una estrategia de *forward selection* codiciosa, incorporando en cada iteración la variable que proporcionaba la mayor mejora y deteniendo el proceso cuando la ganancia resultaba inferior a un umbral predefinido ( $\Delta R^2 > 10^{-5}$ ). Este procedimiento produjo un conjunto final de predictores reducido, no redundante y específicamente optimizado para maximizar el rendimiento del modelo.

### *5.7. Modelos evaluados*

A continuación se describe el procedimiento seguido para la selección, optimización y combinación de modelos. El objetivo es construir un conjunto de predictores base sólidos y posteriormente integrarlos en un *stack-ensemble* capaz de mejorar la capacidad de generalización.

#### *5.7.1. Modelos ensemble*

Se utilizaron diversos métodos de *ensemble learning* con el fin de aumentar la precisión y robustez del sistema predictivo. El principio fundamental

consiste en combinar predicciones de múltiples modelos, aprovechando su diversidad para reducir varianza, sesgo o ambos.

### Técnicas empleadas:

- **Bagging:** entrena modelos independientes sobre subconjuntos generados mediante muestreo bootstrap. Reduce varianza y mejora estabilidad.
- **Boosting:** construye modelos secuenciales donde cada uno corrige los errores del anterior. Tiende a reducir el sesgo y producir modelos altamente precisos.
- **Stacking:** integra múltiples modelos base mediante un meta-modelo entrenado sobre sus predicciones. Permite capturar relaciones no lineales entre las salidas de los modelos base.

#### 5.7.2. Boosting y aprendizaje secuencial

El conjunto de modelos de boosting evaluados incluye:

- **XGBoost:** implementación avanzada del *gradient boosting*, que incorpora regularización L1/L2, optimización mediante segundo orden y manejo interno de valores faltantes.
- **LightGBM:** algoritmo especialmente eficiente, basado en crecimiento *leaf-wise*, capaz de manejar grandes volúmenes de datos y con soporte nativo para variables categóricas.
- **CatBoost:** optimizado para variables categóricas y robusto frente a ruido mediante técnicas como *ordered boosting*.
- **Gradient Boosting Decision Trees (GBDT):** implementación clásica del algoritmo basado en descenso por gradiente sobre residuos.
- **AdaBoost:** técnica que ajusta modelos simples (stumps) secuencialmente, asignando más peso a observaciones difíciles.

#### 5.7.3. Bagging

Los modelos basados en bootstrap empleados fueron:

- **Random Forest:** conjunto de árboles de decisión que introduce aleatoriedad tanto en datos como en características. Suele ser robusto y relativamente estable.
- **Bagged Decision Trees (BaggedDT):** árboles no podados entrenados sobre muestras bootstrap, cuyas predicciones se promedian para reducir varianza.

#### *5.7.4. Otros modelos evaluados*

Además de los métodos ensemble, se evaluaron modelos representativos de paradigmas adicionales:

- **Support Vector Regression (SVR)**: modelo de márgenes para regresión, evaluado con kernel lineal.
- **K-Nearest Neighbors (KNN)**: modelo basado en vecinos más próximos; útil como referencia no paramétrica, aunque sensible a la escala.
- **Multi-Layer Perceptron (MLP)**: red neuronal densa capaz de capturar relaciones no lineales.
- **Bayesian Neural Network (BayesianNN)**: aproximación probabilística que permite cuantificar incertidumbre a través de regularización bayesiana.

#### *5.7.5. Configuración del stacking*

Tras evaluar todos los modelos anteriores, se construyeron diferentes configuraciones de modelos base (*base learners*) que se combinan mediante un meta-modelo. Estas combinaciones se diseñaron con dos criterios principales:

1. **Diversidad estructural**: mezclar métodos de boosting y bagging, así como variantes de boosting con distintas estrategias de crecimiento y regularización.
2. **Rendimiento individual**: incluir preferentemente los modelos con mayor  $R^2$  y menor error (RMSE, MAE) en las pruebas individuales.

Los meta-modelos utilizados para integrar las predicciones fueron:

- **Modelos lineales**: Regresión Lineal, Ridge.
- **Modelos basados en árboles**: Random Forest, Gradient Boosting Regressor.
- **Modelos kernel**: SVR lineal.
- **Red neuronal**: MLP con una capa oculta.

Esta selección permite comparar desde combinadores lineales simples hasta integradores no lineales capaces de capturar interacciones complejas entre predicciones.

#### *5.7.6. Comparación y justificación de modelos*

La evaluación exhaustiva de múltiples algoritmos permite identificar no solo el modelo individual con mejor rendimiento, sino también combinacio-

nes sinérgicas para el *stacking*. La Tabla 5.3 resume los modelos finalmente entrenados y evaluados.

Modelo	Tipo	Características	Observaciones
Random Forest	Bagging	Bootstrap con selección aleatoria de atributos	Robusto y estable
BaggedDT	Bagging	Árboles sin poda sobre muestras bootstrap	Mejora por agregación
XGBoost	Boosting	Regularización L1/L2, segundo orden	Muy preciso; sensible a tuning
LightGBM	Boosting	Crecimiento leaf-wise, muy eficiente	Rápido; riesgo de sobreajuste
CatBoost	Boosting	Codificación ordenada; robusto al ruido	Excelente sin gran tuning
GBDT	Boosting	Árboles secuenciales ajustados a residuos	Buen rendimiento
AdaBoost	Boosting	Aumenta peso de obs. mal predichas	Menos robusto
KNN	Instancia	Predicción por proximidad	Sensible a escala y ruido
MLP	Red neuronal	Captura relaciones no lineales	Requiere normalización
SVR	Márgenes	Kernel lineal, gran margen	Robusto al sobreajuste
BayesianNN	Probabilístico	Cuantifica incertidumbre	Reduce sobreajuste

**Tabla 5.3.** Resumen de los modelos de aprendizaje supervisado evaluados.



## 6. Implementación del *pipeline*

El desarrollo y la evaluación de los modelos predictivos se realizaron íntegramente en **Python**, utilizando librerías como **scikit-learn**, **cuML** y **PyTorch**, junto con implementaciones específicas de *gradient boosting* como **XGBoost**, **LightGBM** y **CatBoost**. El proceso de entrenamiento se llevó a cabo en dos fases diferenciadas.

Para los modelos entrenados exclusivamente con datos del IFN3 se utilizó un equipo local equipado con un procesador Intel Core i7 y 32 GB de memoria RAM. En cambio, los modelos que empleaban conjuntamente datos del IFN2 e IFN3 se entrenaron en el sistema de computación de alto rendimiento (HPC) de la Universidad de Salamanca. Esta elección se debió a la disponibilidad de tarjetas gráficas Nvidia H100, que permiten acelerar de forma significativa el entrenamiento de aquellos modelos compatibles con ejecución en GPU gracias a su elevada capacidad de paralelización.

No obstante, cabe señalar que el entrenamiento también podría haberse realizado en un equipo de escritorio convencional equipado con una tarjeta gráfica comercial, ya que los requisitos computacionales del problema no son especialmente elevados.

### 6.1. Ingeniería práctica del entrenamiento y la validación

Desde el punto de vista de la implementación, el proceso de entrenamiento y validación se apoyó fundamentalmente en el ecosistema de **scikit-learn**, complementado con librerías especializadas para modelos de *gradient boosting*. La gestión de los datos se realizó mediante **pandas** y **numpy**, mientras que el cálculo de métricas y estadísticas adicionales del error se apoyó en **scipy** y los módulos de evaluación de **sklearn.metrics**.

A partir del conjunto de datos original, se aplicaron filtros de calidad sobre la variable objetivo utilizando operaciones vectorizadas de **pandas**, eliminando observaciones con valores nulos, inconsistentes o que no cumplían los criterios definidos en la Sección 5.4.1.

La partición de los datos en conjuntos de entrenamiento y prueba se realizó mediante **GroupShuffleSplit** del módulo **sklearn.model\_selection**, con una proporción 80/20. Este esquema garantizó que todas las observaciones asociadas a una misma parcela se asignaran íntegramente a un único subconjunto, evitando fugas de información derivadas de la correlación espacial intra-parcela. Sobre el conjunto de entrenamiento se definió una validación cruzada de cinco pliegues utilizando **GroupKFold**.

El preprocessado de las variables y el ajuste de los modelos se integraron en un único objeto `Pipeline`, combinando `ColumnTransformer`, `SimpleImputer`, `StandardScaler` y `OneHotEncoder`. Esta integración aseguró que todas las transformaciones se estimaran exclusivamente con los datos de entrenamiento de cada pliegue durante la validación cruzada. El ajuste de hiperparámetros se llevó a cabo mediante `GridSearchCV`, definiendo rejillas específicas para cada algoritmo y utilizando el coeficiente de determinación ( $R^2$ ) como métrica de selección.

Los modelos evaluados incluyen implementaciones de *gradient boosting* (`XGBoost`, `LightGBM`, `CatBoost` y `GradientBoostingRegressor`), métodos basados en *bagging* (`RandomForestRegressor`, `BaggingRegressor`), así como modelos de distinta naturaleza como `MLPRegressor`, `KNeighborsRegressor`, `LinearSVR`, `AdaBoostRegressor` y `BayesianRidge`. Para cada modelo se calcularon de forma sistemática las métricas de rendimiento sobre el conjunto de prueba:  $R^2$ , RMSE y MAE, junto con estadísticas adicionales del error absoluto (mediana y moda), almacenándose los resultados en estructuras tabulares para su análisis comparativo.

## 6.2. Implementación del stacking

La agregación de modelos mediante *stacking* se implementó de forma manual utilizando utilidades básicas de `scikit-learn`, con el objetivo de mantener un control estricto sobre el flujo de entrenamiento y validación. A partir de los mejores modelos individuales se generaron predicciones fuera de pliegue (*out-of-fold*, OOF) sobre el conjunto de entrenamiento, empleando el mismo esquema de validación cruzada (`GroupKFold`).

Estas predicciones OOF se organizaron en matrices de meta-variables mediante `numpy` y se utilizaron como entrada para el entrenamiento de los metamodelos. En paralelo, cada modelo base se reentrenó sobre la totalidad del conjunto de entrenamiento para generar las correspondientes predicciones sobre el conjunto de test, que se emplearon posteriormente para la evaluación final del *stack*.

Los metamodelos considerados incluyen `LinearRegression`, `Ridge`, `GradientBoostingRegressor`, `RandomForestRegressor`, `SVR` con kernel lineal y `MLPRegressor`. Antes de su ajuste, las meta-variables se estandarizaron mediante `StandardScaler`, integrando este paso en un `Pipeline` específico del segundo nivel. La evaluación del *stacking* se realizó exclusivamente sobre el conjunto de test independiente, calculando las métricas habituales ( $R^2$ , RMSE y MAE) para cada combinación de modelos base y metamodelo.

### 6.3. Datos finales de entrenamiento

Tras aplicar los criterios de elegibilidad y filtrado descritos en la Sección ??, el conjunto de datos final utilizado para el ajuste de los modelos queda compuesto por:

- **IFN2:** Total de parcelas = **88.696**
  - Casos con  $c4 > c$ : **31.428**
  - Casos con  $carbono\_bruto4 > carbono\_bruto$ : **32.403**
- **IFN3:** Total de parcelas = **171.157**
  - Casos con  $fccarb > 20$ : **158.434**
  - Casos con  $fccarb > 20$  y  $c4 > c$ : **57.401**
  - Casos con  $fccarb > 20$  y  $carbono\_bruto4 > carbono\_bruto$ : **76.617**

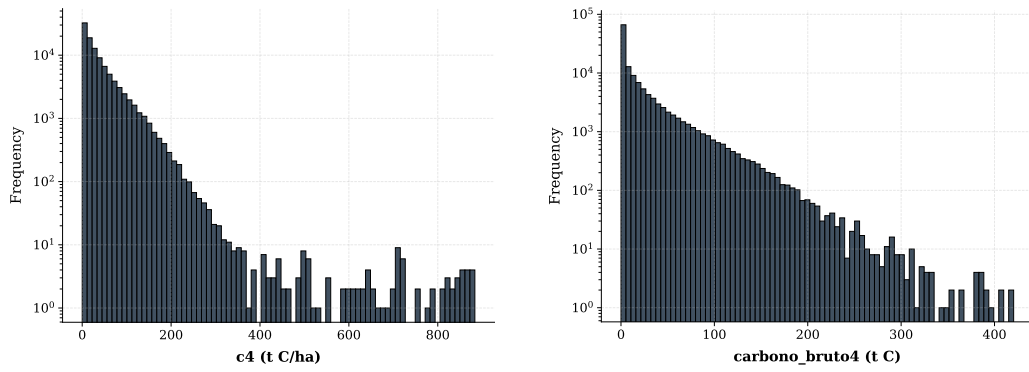
La Tabla 6.1 resume las principales estadísticas descriptivas de las variables objetivo utilizadas en el modelado.

**Tabla 6.1.** Estadísticos descriptivos del conjunto de datos depurado.

Variable	N	Media	Desv. estndar	Mn.	Máx.
carbono_bruto4	133 119	20.79	35.09	0.00	420.50
carbono_bruto	111 923	12.27	24.80	0.00	359.81
c4	103 790	38.83	47.27	0.48	883.46
c	90 802	23.78	35.15	0.00	842.74
periodo_agrupado	103 785	18.47	6.47	5.00	30.00

Se observa que la variable `carbono_bruto4` presenta una media de 20.79 y una desviación estndar de 35.09, mientras que la variable `c4` muestra valores notablemente superiores (media de 38.83 y desviación estndar de 47.27). Podemos encontrar un histograma de la distribución de las variables objetivo en la Figura 6.1.

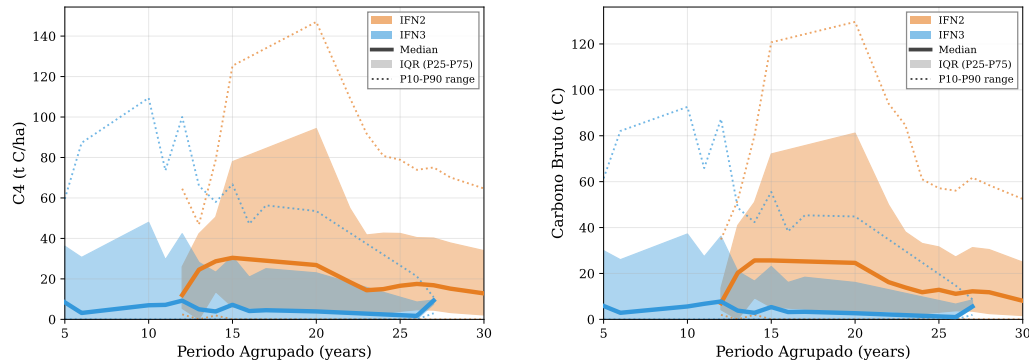
En la Figura 6.2 podemos ver las distribuciones de las variables objetivo separadas por inventarios, y podemos ver que la variable `c4` es más dispersa y heterogénea que `carbono_bruto4`. En general, una mayor variabilidad en la variable objetivo se traduce en un problema de predicción más complejo, ya que el modelo debe capturar relaciones más inestables y sujetas a mayor ruido.



(a) Histograma de la variable  $c4$  en escala logarítmica.

(b) Histograma de la variable  $carbono\_bruto4$  en escala logarítmica.

**Figura 6.1.** Histograma de las variables  $c4$  y  $carbono\_bruto4$  en el conjunto depurado.



(a) Distribución de la variable  $c4$  en escala logarítmica.

(b) Distribución de la variable  $carbono\_bruto4$  en escala logarítmica.

**Figura 6.2.** Distribución de las variables  $c4$  y  $carbono\_bruto4$  en el conjunto depurado separadas por inventario.

Por tanto, incluso antes de evaluar los modelos, es razonable esperar que una misma familia de algoritmos obtenga valores de  $R^2$  más elevados y errores más bajos (RMSE, MAE) al predecir `carbono_bruto4`, cuya estructura estadística es menos dispersa, que al predecir `c4`.

#### *6.3.1. Efecto del periodo sobre el carbono*

La influencia del *periodo* sobre las variables de carbono se evaluó mediante ANOVA de un factor. Los análisis realizados muestran que el *periodo* ejerce un efecto significativo sobre ambas variables. En `c4` se obtuvo un estadístico  $F = 143,49$  ( $p < 0,001$ ), mientras que en `carbono_bruto4` el valor fue  $F = 161,08$  ( $p < 0,001$ ). Estos resultados indican que las diferencias observadas entre períodos no son aleatorias, sino que reflejan variaciones sistemáticas asociadas al momento de muestreo, confirmando que el *periodo* constituye un factor explicativo relevante en la dinámica del carbono forestal.



## 7. Entrenamiento y validación

El proceso de entrenamiento se estructuró en varias fases orientadas a optimizar tanto la selección de variables predictoras como la robustez del modelo final. En primer lugar, se llevó a cabo una etapa de **selección de variables**, en la que se evaluaron distintos subconjuntos de características definidos por bloques temáticos con significado ecológico y funcional. Para esta tarea se adoptó un enfoque sistemático basado en la comparación del desempeño predictivo de las distintas combinaciones mediante el algoritmo CatBoost, seleccionado tras pruebas preliminares que mostraron su alta capacidad de ajuste y estabilidad frente a la heterogeneidad de los datos. En todas las configuraciones se mantuvo constante la variable objetivo (carbono capturado) y los parámetros del modelo, de modo que las variaciones en el coeficiente de determinación ( $R^2$ ) y el error cuadrático medio (RMSE) reflejaran exclusivamente la contribución informativa de cada bloque. Los resultados de esta fase son preliminares ya que se emplearon entrenamientos más sencillos (sin validación cruzada para la selección de hiperparámetros).

Las configuraciones analizadas incorporaron progresivamente variables relacionadas con las características de la especie, las propiedades edáficas, el terreno, las condiciones climáticas y los índices de vegetación. A partir de los resultados obtenidos, se identificaron los bloques con mayor aporte marginal al rendimiento del modelo, priorizando aquellos cuya inclusión mejoró consistentemente el  $R^2$  sin aumentar de forma significativa la complejidad o redundancia del conjunto de predictores.

En una segunda fase, se procedió al **entrenamiento comparativo de modelos**, implementando un conjunto de algoritmos de aprendizaje supervisado con el fin de contrastar su capacidad predictiva. Cada modelo fue entrenado bajo las mismas condiciones experimentales, utilizando las configuraciones de variables seleccionadas en la fase anterior. Esta comparación permitió identificar los algoritmos con mejor ajuste global y menor error de predicción, destacando de nuevo el desempeño de CatBoost.

Posteriormente, se implementó una estrategia de **stacking**, combinando las predicciones de los modelos individuales mediante un metamodelo de segundo nivel, con el objetivo de aprovechar la complementariedad entre los distintos enfoques y mejorar la capacidad de generalización.

## *7.1. Elección de variables*

### *7.1.1. Resultados de la selección de variables manual*

La selección manual de variables partió de una organización temática del conjunto de predictores, agrupando las variables según el tipo de información ecológica, estructural o climática que representan. Esta clasificación permitió estructurar el proceso de reducción dimensional en torno a los siguientes bloques conceptuales:

- **Bloque de variables fijas:** describe la estructura básica de la masa forestal y los atributos esenciales de identificación y caracterización general de cada parcela.
- **Bloque de variables de especie:** recoge información relativa a la composición, estado y características específicas de las formaciones forestales.
- **Bloque sustrato:** integra variables edáficas y de manejo susceptibles de variar en el tiempo.
- **Bloque de terreno:** agrupa propiedades físicas del medio que permanecen estables a escala temporal de inventarios (pendiente, orientación, tipo de suelo, etc.).
- **Bloque climático resumido:** representado por el índice de aridez de Martonne, que sintetiza la interacción entre temperatura y precipitación.
- **Bloque climático detallado:** incluye métricas estacionales explícitas de temperatura y precipitación.
- **Bloque de índices de vegetación:** recoge información espectral relacionada con el estado hídrico, vigor y actividad fotosintética de la vegetación.

En total, la base de datos contenía inicialmente 445 variables candidatas distribuidas entre estos bloques temáticos. Tras aplicar el procedimiento de selección manual, apoyado en criterios estadísticos, ecológicos y en la comparación del rendimiento del modelo, el conjunto se redujo a 44 variables representativas. Las variables finalmente seleccionadas dentro de cada bloque fueron las siguientes:

- **Bloque de variables fijas:** especie\_id, tipo\_especie, grupo\_id, periodo, radio, ocupa, npies\_1, npies\_2, npies\_5, npies\_10, npies\_15, npies\_20, npies\_25, npies\_30, npies\_35, npies\_40, npies\_45, npies\_50, npies\_55, npies\_60, npies\_65, npies\_70.

- **Bloque de variables de especie:** estado\_id, fccarb, disesp\_id.
- **Bloque sustrato (dinámico):** modcomb\_id, nivel2\_id, tratmasa\_id.
- **Bloque de terreno:** rocosidad\_id, orientacion\_cat, elevacion, pendiente\_cat.
- **Bloque climático resumido (Martonne):** martonneidx\_id.
- **Bloque climático detallado (temperatura y precipitación):** skt\_mean\_primavera, skt\_mean\_verano, skt\_std\_primavera, skt\_std\_verano, pr\_sum\_invierno, pr\_sum\_otoño, pr\_sum\_primavera, pr\_sum\_verano.
- **Bloque de índices de vegetación:** gndvi\_mean\_verano, ndii\_mean\_primavera, gndvi\_std\_primavera, evi\_mean\_primavera.

Este proceso permitió sintetizar la información original manteniendo una representación equilibrada de todos los ámbitos ecológicos implicados en la estimación del carbono.

La comparación de modelos entrenados con combinaciones incrementales de bloques mostró que todos ellos aportan información relevante, siguiendo el orden de contribución aproximado: *variables fijas > variables de especie > sustrato > terreno > índices de vegetación > Martonne > temperatura y precipitación*. Es decir, la mayor parte de la capacidad predictiva se explica por la estructura y composición de la masa forestal, mientras que las condiciones edáficas, topográficas y climáticas actúan como moduladores adicionales de la acumulación de carbono.

#### 7.1.2. Selección de variables mediante Featurewiz

Aplicado al conjunto completo de predictores, *Featurewiz* seleccionó **67 variables**. El patrón resultante muestra una clara preferencia por dos grandes grupos: (i) **índices de vegetación** derivados de Sentinel-2 y (ii) **variables térmicas estacionales**. El algoritmo retuvo numerosas estadísticas de NDII, EVI, GNDVI y NDVI (medias, máximos, mínimos, medianas y desviaciones estándar), especialmente durante primavera y verano, reflejando la relevancia del estado hídrico y el vigor fotosintético en la estimación del carbono.

Asimismo, se seleccionaron múltiples métricas de temperatura del aire y del suelo (`t2m_*`, `skt_*`, `stl_*`) y diversas variables de precipitación (`pr_sum_*`, `pr_max_*`, `pr_min_*`), lo que muestra sensibilidad del método a las condiciones climáticas estacionales. El índice de aridez de Martonne tam-

bién fue seleccionado, aportando una medida sintetizada del balance térmico-hídrico.

Finalmente, el algoritmo incluyó un conjunto contenido pero representativo de variables estructurales (número de pies por clase diamétrica), de especie y de terreno, indicando que dichas variables aportan información complementaria necesaria para la predicción.

#### *7.1.3. Selección de variables mediante mRMR*

El método *mRMR* seleccionó un total de **50 variables**, priorizando aquellas con alta información mutua respecto al carbono y baja redundancia entre sí. El conjunto final integra predictores estructurales (identificación de especie, radio, clases diamétricas, orientación y pendiente), variables topográficas y edáficas (rocosidad, tipos de suelo), métricas climáticas estacionales (temperatura del aire y del suelo, índice de Martonne) e índices de vegetación representativos del estado estacional de la copa.

La presencia sistemática de valores medios, máximos y medianos de NDII, GNDVI y EVI en verano y primavera confirma que la actividad fotosintética y el estado hídrico son predictores directos del carbono almacenado. De igual modo, la selección de múltiples métricas térmicas refleja la relevancia de los pulsos climáticos sobre la productividad forestal.

En conjunto, *mRMR* produjo un conjunto compacto y equilibrado, asegurando diversidad informativa y evitando redundancias, lo que lo convierte en un complemento eficaz a los métodos anteriores.

#### *7.1.4. Discusión de la selección de variables*

De los tres conjuntos de variables seleccionados se mantuvo la selección manual al demostrar un mejor rendimiento con mayor simplicidad como se aprecia en la tabla 7.1.

TODO: Esto igual debería ir en resultados?

**Tabla 7.1.** Comparación de configuraciones de selección de variables y rendimiento del modelo CatBoost sobre los datos del IFN 2-3 y 4 para predecir *c4*.

Configuración	Modelo	<i>n<sub>vars</sub></i>	<i>R<sup>2</sup></i>	RMSE	MAE	Moda error (aprox.)
Manual	CatBoost	44	0.80	21.77	11.48	1
mRMR	CatBoost	67	0.79	21.91	11.69	1
FeatureWiz	CatBoost	50	0.72	25.65	13.08	2

## 7.2. Ensamblado tipo stacking de modelos de regresión

Con el objetivo de estudiar el compromiso entre diversidad del ensamble, coste computacional y rendimiento, se definieron cinco configuraciones de modelos base (Tabla 7.2). Los modelos AdaBoost, BayesianNN, SVR, MLP y KNN se descartaron como candidatos.

**Tabla 7.2.** Configuraciones de modelos base para *stacking*.

Config.	Modelos base
1	LightGBM, Random Forest
2	CatBoost, Random Forest, GBDT
3	LightGBM, XGBoost, GBDT
4	CatBoost, LightGBM, Random Forest, GBDT
5	CatBoost, LightGBM, XGBoost, Random Forest, GBDT, BaggedDT

- **Configuración 1:** es la configuración más simple. LightGBM compite con CatBoost en rendimiento, mientras que Random Forest aporta un sesgo diferente al basarse en bagging en lugar de boosting. Esta configuración sirve como referencia de un ensamble muy ligero, con bajo coste computacional y, al mismo tiempo, razonablemente diverso.
- **Configuración 2:** combina un modelo de boosting basado en manejo robusto de variables categóricas (CatBoost) con Random Forest (bagging de árboles) y GBDT (boosting clásico). La idea es mezclar enfoques de bagging y boosting, manteniendo un número moderado de modelos y una buena diversidad estructural.
- **Configuración 3:** agrupa únicamente modelos de la familia de *gradient boosting*. El objetivo es analizar el efecto de combinar variantes de un mismo paradigma y evaluar hasta qué punto diferentes implementaciones de boosting proporcionan suficiente diversidad como para ser beneficiosa en un ensamble.
- **Configuración 4:** reduce el número de modelos en comparación con la configuración siguiente (que incluye todos los modelos competitivos), eliminando XGBoost y BaggedDT, que aportan menos mejora marginal respecto a sus alternativas (LightGBM y Random Forest). Esta combinación mantiene una buena diversidad con menor complejidad y coste computacional.

- **Configuración 5:** incluye todos los modelos con rendimiento competitivo. Esta configuración es la más rica en términos de variedad de arquitecturas, aunque también la más costosa computacionalmente y potencialmente más propensa al sobreajuste si no se controla adecuadamente.

El objetivo es que el meta-modelo reciba como entradas predicciones de alta calidad y suficientemente diversas, en lugar de introducir ruido procedente de modelos débiles.

Sobre las predicciones apiladas de cada configuración se entrenan distintos meta-modelos  $g(\cdot)$ , definidos en la Tabla 7.3.

**Tabla 7.3.** Meta-modelos utilizados en el *stacking* junto con sus parámetros.

Meta-modelo	Parámetros
Gradient Boosting	Configuración por defecto
Regresión Lineal	Sin regularización
Ridge	Regularización L2 con validación cruzada ( $\alpha \in \{0,01,0,1,1,10,100\}$ )
Random Forest	50 árboles
SVR	Kernel lineal
MLP	Una capa oculta con 50 neuronas, 500 iteraciones máximas

Estos meta-modelos representan diferentes formas de combinar las predicciones de los modelos base:

- **Modelos lineales** (Regresión Lineal y Ridge): permiten comprobar si una combinación lineal de las predicciones base es suficiente para mejorar el rendimiento. Ridge añade regularización L2 para controlar el sobreajuste.
- **Modelos no lineales basados en árboles** (GradientBoostingRegressor, RandomForestRegressor): pueden capturar interacciones complejas entre las predicciones de los modelos base, a costa de una mayor complejidad.
- **Modelos de kernel** (SVR con kernel lineal): permiten una combinación robusta y, en algunos casos, menos sensible a valores extremos en las predicciones.
- **Red neuronal (MLPRegressor)**: introduce una capa adicional de flexibilidad, capaz de aproximar combinaciones no lineales complejas

entre las salidas de los modelos base.

Al evaluar todas las combinaciones de `stack_configs` con los diferentes `meta_models`, se obtiene un conjunto de ensambles apilados que permiten estudiar de forma sistemática: (i) qué subconjuntos de modelos base son más complementarios, y (ii) qué tipo de meta-modelo aprovecha mejor la información contenida en sus predicciones.



## 8. Resultados

A continuación expondremos los resultados obtenidos a partir de varias métricas de evaluación de los modelos sobre el conjunto de datos de test. Dividiremos la sección según el origen de los datos de entrenamiento (IFN2, IFN3 o IFN2 e IFN3) y según la variable a predecir (toneladas de carbono o toneladas de carbono por hectárea).

### 8.1. Resultados IFN2

#### 8.1.1. Toneladas de carbono por hectárea

##### Modelos base

Una vez entrenados los modelos, algunos parámetros globales como el  $R^2$ , RMSE y MAE se presentan en la Tabla 8.1.

**Tabla 8.1.** Resumen del rendimiento de los modelos para la predicción de la variable de carbono en tC/ha con el conjunto de datos que emplea IFN2 como explicativo.

Modelo	$R^2_{\text{test}}$	RMSE <sub>test</sub>	MAE <sub>test</sub>
<b>LightGBM<sub>global</sub></b>	<b>0.719</b>	<b>26.806</b>	<b>14.689</b>
LightGBM	0.712	26.435	14.755
CatBoost <sub>global</sub>	0.708	27.359	14.832
XGBoost <sub>global</sub>	0.708	27.361	14.620
GBDT <sub>global</sub>	0.705	27.505	14.772
XGBoost	0.704	26.779	14.773
CatBoost	0.701	26.928	15.066
MLP <sub>global</sub>	0.687	28.335	15.668
BaggedDT	0.676	28.036	15.683
GBDT	0.673	28.161	15.614
Random Forest	0.663	28.595	15.807
BaggedDT <sub>global</sub>	0.659	29.574	15.933
Random Forest <sub>global</sub>	0.653	29.803	15.577
MLP	0.637	29.650	15.543
BayesianNN	0.606	30.904	17.384
BayesianNN <sub>global</sub>	0.588	32.482	17.725
KNN	0.565	32.480	17.611
SVR <sub>global</sub>	0.465	37.013	16.674
SVR	0.445	36.667	17.361
AdaBoost	-2.126	87.062	81.700

### Modelos con stacking

En la Tabla 8.2 se muestra el resumen del rendimiento de los modelos de stacking para la predicción de la variable de carbono en tC/ha con el conjunto de datos que emplea IFN2 como explicativo.

**Tabla 8.2.** Resumen del rendimiento de los modelos de stacking para la predicción de la variable de carbono en tC/ha con el conjunto de datos que emplea IFN2 como explicativo.

Modelo	$R^2_{\text{test}}$	RMSE <sub>test</sub>	MAE <sub>test</sub>
<b>Stack5 GradientBoosting</b>	<b>0.724</b>	<b>25.889</b>	<b>14.531</b>
Stack1 MLP <sub>global</sub>	0.722	26.683	14.582
Stack2 MLP <sub>global</sub>	0.721	26.726	14.475
Stack5 MLP <sub>global</sub>	0.721	26.742	14.502
Stack3 GradientBoosting	0.720	26.054	14.847
Stack1 LinearRegression <sub>global</sub>	0.719	26.827	14.609
Stack1 Ridge <sub>global</sub>	0.719	26.829	14.609
Stack5 MLP	0.718	26.127	14.452
Stack4 MLP <sub>global</sub>	0.718	26.852	14.479
Stack2 LinearRegression <sub>global</sub>	0.718	26.877	14.505
Stack2 Ridge <sub>global</sub>	0.718	26.883	14.507
Stack4 MLP	0.717	26.177	14.551
Stack5 LinearRegression <sub>global</sub>	0.717	26.906	14.552
Stack5 Ridge <sub>global</sub>	0.717	26.910	14.547
Stack4 LinearRegression <sub>global</sub>	0.717	26.913	14.590
Stack4 Ridge <sub>global</sub>	0.717	26.913	14.584
Stack5 Ridge	0.716	26.247	14.600
Stack5 LinearRegression	0.716	26.247	14.600
Stack1 MLP	0.716	26.257	14.669
Stack4 LinearRegression	0.715	26.271	14.621
Stack4 Ridge	0.715	26.271	14.621
Stack2 GradientBoosting <sub>global</sub>	0.715	27.001	14.536
Stack1 Ridge	0.714	26.339	14.689
Stack1 LinearRegression	0.714	26.339	14.689
Stack4 GradientBoosting	0.713	26.383	14.607
Stack2 MLP	0.713	26.402	14.587
Stack3 LinearRegression <sub>global</sub>	0.712	27.155	14.647

Continúa en la siguiente página...

Modelo	$R^2_{\text{test}}$	RMSE <sub>test</sub>	MAE <sub>test</sub>
Stack3 Ridge <sub>global</sub>	0.712	27.157	14.640
Stack2 Ridge	0.712	26.430	14.632
Stack2 LinearRegression	0.712	26.429	14.632
Stack3 MLP <sub>global</sub>	0.711	27.212	14.529
Stack2 SVR <sub>global</sub>	0.711	27.212	14.225
Stack4 SVR <sub>global</sub>	0.711	27.225	14.249
Stack5 SVR <sub>global</sub>	0.710	27.237	14.218
Stack1 SVR <sub>global</sub>	0.710	27.240	14.307
Stack3 MLP	0.709	26.544	14.875
Stack5 SVR	0.709	26.550	14.241
Stack4 SVR	0.708	26.600	14.320
Stack5 Random Forest	0.708	26.595	15.177
Stack3 SVR <sub>global</sub>	0.706	27.453	14.305
Stack1 SVR	0.705	26.729	14.400
Stack2 SVR	0.704	26.784	14.279
Stack3 LinearRegression	0.703	26.832	14.942
Stack3 Ridge	0.703	26.832	14.942
Stack4 Random Forest	0.702	26.897	15.442
Stack5 GradientBoosting <sub>global</sub>	0.701	27.690	14.571
Stack1 GradientBoosting <sub>global</sub>	0.700	27.740	14.641
Stack3 GradientBoosting <sub>global</sub>	0.699	27.770	14.643
Stack3 SVR	0.696	27.146	14.613
Stack1 GradientBoosting	0.695	27.176	14.815
Stack4 GradientBoosting <sub>global</sub>	0.693	28.026	14.640
Stack2 GradientBoosting	0.690	27.429	14.710
Stack2 Random Forest <sub>global</sub>	0.690	28.187	15.317
Stack2 Random Forest	0.688	27.488	15.562
Stack3 Random Forest	0.685	27.622	15.914
Stack1 Random Forest <sub>global</sub>	0.681	28.578	15.738
Stack5 Random Forest <sub>global</sub>	0.679	28.674	15.225

Continúa en la siguiente página...

Modelo	$R^2_{\text{test}}$	RMSE <sub>test</sub>	MAE <sub>test</sub>
Stack4 Random Forest <sub>global</sub>	0.673	28.956	15.339
Stack1 Random Forest	0.672	28.194	16.193
Stack3 Random Forest <sub>global</sub>	0.667	29.218	15.575

### 8.1.2. Toneladas de carbono

#### Modelos base

En la Tabla 8.3 se muestra el resumen del rendimiento de los modelos para la predicción de la variable de carbono en toneladas (carbono\_bruto4) con el conjunto de datos que emplea IFN2 como explicativo.

**Tabla 8.3.** Resumen del rendimiento de los modelos para la predicción de la variable de carbono en toneladas (carbono\_bruto4) con el conjunto de datos que emplea IFN2 como explicativo.

Modelo	$R^2_{\text{test}}$	RMSE <sub>test</sub>	MAE <sub>test</sub>
<b>CatBoost<sub>global</sub></b>	<b>0.765</b>	<b>18.533</b>	<b>10.402</b>
LightGBM <sub>global</sub>	0.763	18.627	10.417
XGBoost <sub>global</sub>	0.762	18.644	10.428
GBDT <sub>global</sub>	0.759	18.765	10.474
CatBoost	0.748	19.071	11.036
LightGBM	0.747	19.121	10.858
MLP <sub>global</sub>	0.747	19.220	10.732
XGBoost	0.742	19.300	10.962
BaggedDT <sub>global</sub>	0.738	19.550	11.216
Random Forest <sub>global</sub>	0.735	19.695	10.928
GBDT	0.732	19.692	11.550
Random Forest	0.730	19.770	11.294
BaggedDT	0.728	19.832	11.349
BayesianNN	0.693	21.069	12.830
MLP	0.690	21.162	11.419
BayesianNN <sub>global</sub>	0.683	21.530	12.827
KNN	0.632	23.046	12.994
SVR <sub>global</sub>	0.577	24.861	12.305
SVR	0.566	25.034	12.818
AdaBoost	-0.538	47.138	41.856

### Modelos con stacking

En la Tabla 8.4 se muestra el resumen del rendimiento de los modelos de stacking para la predicción de la variable de carbono en toneladas (carbono\_-bruto4) con el conjunto de datos que emplea IFN2 como explicativo.

**Tabla 8.4.** Resumen del rendimiento de los modelos de stacking para la predicción de la variable de carbono en toneladas (carbono\_bruto4) con el conjunto de datos que emplea IFN2 como explicativo.

Modelo	$R^2_{\text{test}}$	RMSE <sub>test</sub>	MAE <sub>test</sub>
<b>Stack5 MLP<sub>global</sub></b>	<b>0.768</b>	<b>18.405</b>	<b>10.210</b>
Stack5 LinearRegression <sub>global</sub>	0.768	18.419	10.306
Stack5 Ridge <sub>global</sub>	0.768	18.419	10.306
Stack4 MLP <sub>global</sub>	0.767	18.433	10.229
Stack4 LinearRegression <sub>global</sub>	0.767	18.435	10.297
Stack4 Ridge <sub>global</sub>	0.767	18.435	10.296
Stack3 MLP <sub>global</sub>	0.767	18.450	10.184
Stack5 GradientBoosting <sub>global</sub>	0.767	18.457	10.224
Stack3 Ridge <sub>global</sub>	0.767	18.466	10.318
Stack3 LinearRegression <sub>global</sub>	0.767	18.466	10.318
Stack4 GradientBoosting <sub>global</sub>	0.766	18.485	10.216
Stack2 LinearRegression <sub>global</sub>	0.765	18.521	10.333
Stack2 Ridge <sub>global</sub>	0.765	18.521	10.333
Stack3 GradientBoosting <sub>global</sub>	0.765	18.530	10.230
Stack2 MLP <sub>global</sub>	0.765	18.531	10.285
Stack5 SVR <sub>global</sub>	0.763	18.595	10.155
Stack4 SVR <sub>global</sub>	0.763	18.601	10.169
Stack1 MLP <sub>global</sub>	0.763	18.602	10.261
Stack1 Ridge <sub>global</sub>	0.763	18.606	10.377
Stack1 LinearRegression <sub>global</sub>	0.763	18.606	10.377
Stack2 GradientBoosting <sub>global</sub>	0.763	18.616	10.297
Stack3 SVR <sub>global</sub>	0.762	18.643	10.193
Stack1 GradientBoosting <sub>global</sub>	0.761	18.676	10.316
Stack2 SVR <sub>global</sub>	0.761	18.678	10.222
Stack1 SVR <sub>global</sub>	0.758	18.821	10.260
Stack5 Random Forest <sub>global</sub>	0.756	18.880	10.606
Stack4 Random Forest <sub>global</sub>	0.756	18.886	10.704

Continúa en la siguiente página...

Modelo	$R^2_{\text{test}}$	RMSE <sub>test</sub>	MAE <sub>test</sub>
Stack4 MLP	0.755	18.828	10.636
Stack5 GradientBoosting	0.753	18.880	10.692
Stack5 MLP	0.753	18.890	10.632
Stack3 MLP	0.753	18.896	10.746
Stack4 GradientBoosting	0.752	18.921	10.654
Stack2 MLP	0.751	18.954	10.765
Stack2 GradientBoosting	0.751	18.978	10.769
Stack4 SVR	0.750	18.988	10.523
Stack5 SVR	0.750	18.993	10.530
Stack3 GradientBoosting	0.749	19.027	10.783
Stack1 MLP	0.749	19.043	10.736
Stack3 SVR	0.747	19.116	10.656
Stack2 SVR	0.747	19.116	10.603
Stack1 GradientBoosting	0.746	19.174	10.778
Stack3 Random Forest <sub>global</sub>	0.745	19.286	10.840
Stack1 SVR	0.745	19.187	10.596
Stack2 Random Forest <sub>global</sub>	0.741	19.455	10.979
Stack5 Random Forest	0.734	19.588	11.135
Stack1 Random Forest <sub>global</sub>	0.734	19.711	11.235
Stack3 Random Forest	0.727	19.848	11.483
Stack4 Random Forest	0.727	19.848	11.194
Stack2 Random Forest	0.720	20.098	11.538
Stack1 Random Forest	0.713	20.375	11.767

## 8.2. Resultados IFN3

### 8.2.1. Toneladas de carbono por hectárea

#### Modelos base

Una vez entrenados los modelos, algunos parámetros globales como el  $R^2$ , RMSE y MAE se presentan en la Tabla 8.5.

**Tabla 8.5.** Resumen del rendimiento de los modelos para la predicción de la variable de carbono en tC/ha con el conjunto de datos que emplea IFN3 como explicativo.

Modelo	$R^2_{\text{test}}$	RMSE <sub>test</sub>	MAE <sub>test</sub>
<b>LightGBM</b>	<b>0.858</b>	<b>17.816</b>	<b>9.246</b>
XGBoost	0.851	18.232	9.203
CatBoost	0.849	18.385	9.746
GBDT	0.843	18.718	9.893
MLP	0.840	18.947	9.297
GBDT <sub>global</sub>	0.839	19.409	9.559
XGBoost <sub>global</sub>	0.839	19.424	9.548
CatBoost <sub>global</sub>	0.838	19.500	9.433
LightGBM <sub>global</sub>	0.836	19.580	9.602
MLP <sub>global</sub>	0.833	19.791	10.009
BaggedDT	0.820	20.085	10.699
BaggedDT <sub>global</sub>	0.800	21.649	11.058
Random Forest	0.796	21.353	10.839
Random Forest <sub>global</sub>	0.789	22.223	11.109
BayesianNN	0.774	22.507	12.332
KNN	0.756	23.357	12.585
BayesianNN <sub>global</sub>	0.743	24.561	12.643
SVR	0.737	24.280	9.877
SVR <sub>global</sub>	0.613	30.113	11.708
AdaBoost	0.314	39.189	33.180

### Modelos con stacking

En la Tabla 8.6 se muestra el resumen del rendimiento de los modelos de stacking para la predicción de la variable de carbono en tC/ha con el conjunto de datos que emplea IFN3 como explicativo.

**Tabla 8.6.** Resultados de las diferentes configuraciones de stacking utilizando IFN3 como explicativo de la variable en tC/ha.

Modelo	$R^2_{\text{test}}$	RMSE <sub>test</sub>	MAE <sub>test</sub>
<b>Stack4 GradientBoosting</b>	<b>0.866</b>	<b>17.303</b>	<b>9.134</b>
Stack5 GradientBoosting	0.865	17.369	9.037
Stack2 GradientBoosting	0.863	17.538	9.097
Stack5 MLP	0.862	17.572	8.950
Stack5 LinearRegression	0.861	17.644	9.049
Stack5 Ridge	0.861	17.646	9.050
Stack4 MLP	0.861	17.647	9.147
Stack4 LinearRegression	0.860	17.718	9.190
Stack4 Ridge	0.860	17.721	9.191
Stack2 MLP	0.860	17.704	9.038
Stack2 LinearRegression	0.859	17.767	9.097
Stack2 Ridge	0.859	17.773	9.107
Stack1 GradientBoosting	0.859	17.740	9.273
Stack5 SVR	0.858	17.816	8.879
Stack5 Random Forest	0.858	17.819	9.445
Stack4 SVR	0.858	17.851	9.011
Stack1 MLP	0.858	17.834	9.264
Stack1 LinearRegression	0.857	17.873	9.244
Stack1 Ridge	0.857	17.875	9.245
Stack2 SVR	0.856	17.954	8.935
Stack3 GradientBoosting	0.855	18.026	9.534
Stack1 SVR	0.854	18.053	9.114
Stack4 Random Forest	0.852	18.199	9.748
Stack3 MLP	0.852	18.171	9.500
Stack3 LinearRegression	0.850	18.309	9.580
Stack3 Ridge	0.850	18.316	9.581
Stack3 Random Forest	0.849	18.375	10.159
Stack5 MLP <sub>global</sub>	0.848	18.892	9.178

Continúa en la siguiente página...

Modelo	$R^2_{\text{test}}$	RMSE <sub>test</sub>	MAE <sub>test</sub>
Stack2 MLP <sub>global</sub>	0.847	18.943	9.332
Stack3 SVR	0.846	18.552	9.397
Stack4 MLP <sub>global</sub>	0.845	19.067	9.180
Stack5 Ridge <sub>global</sub>	0.844	19.100	9.252
Stack5 LinearRegression <sub>global</sub>	0.844	19.102	9.253
Stack2 Ridge <sub>global</sub>	0.844	19.115	9.355
Stack2 LinearRegression <sub>global</sub>	0.844	19.117	9.356
Stack4 Ridge <sub>global</sub>	0.843	19.154	9.278
Stack4 LinearRegression <sub>global</sub>	0.843	19.156	9.277
Stack3 Ridge <sub>global</sub>	0.843	19.187	9.305
Stack3 LinearRegression <sub>global</sub>	0.843	19.188	9.304
Stack3 MLP <sub>global</sub>	0.842	19.216	9.188
Stack5 SVR <sub>global</sub>	0.840	19.367	9.101
Stack2 SVR <sub>global</sub>	0.840	19.369	9.185
Stack2 Random Forest	0.839	18.988	9.887
Stack4 SVR <sub>global</sub>	0.839	19.400	9.116
Stack3 SVR <sub>global</sub>	0.839	19.423	9.138
Stack1 MLP <sub>global</sub>	0.839	19.436	9.564
Stack3 GradientBoosting <sub>global</sub>	0.837	19.548	9.290
Stack1 Ridge <sub>global</sub>	0.837	19.565	9.582
Stack1 LinearRegression <sub>global</sub>	0.837	19.564	9.582
Stack1 Random Forest	0.835	19.224	10.450
Stack5 GradientBoosting <sub>global</sub>	0.833	19.768	9.291
Stack1 GradientBoosting <sub>global</sub>	0.832	19.820	9.600
Stack1 SVR <sub>global</sub>	0.832	19.852	9.388
Stack4 GradientBoosting <sub>global</sub>	0.830	19.940	9.344
Stack2 GradientBoosting <sub>global</sub>	0.826	20.206	9.499
Stack5 Random Forest <sub>global</sub>	0.820	20.540	9.871
Stack3 Random Forest <sub>global</sub>	0.807	21.266	10.271
Stack4 Random Forest <sub>global</sub>	0.804	21.415	10.123

Continúa en la siguiente página...

Modelo	$R^2_{\text{test}}$	RMSE <sub>test</sub>	MAE <sub>test</sub>
Stack2 Random Forest <sub>global</sub>	0.802	21.562	10.342
Stack1 Random Forest <sub>global</sub>	0.792	22.090	10.962

### 8.2.2. Toneladas de carbono

#### Modelos base

En la Tabla 8.7 se muestra el resumen del rendimiento de los modelos para la predicción de la variable de carbono en toneladas (carbono\_bruto4) con el conjunto de datos que emplea IFN3 como explicativo.

**Tabla 8.7.** Resumen del rendimiento de los modelos para la predicción de la variable de carbono en toneladas (carbono\_bruto4) con el conjunto de datos que emplea IFN3 como explicativo.

Modelo	$R^2_{\text{test}}$	RMSE <sub>test</sub>	MAE <sub>test</sub>
<b>LightGBM</b>	<b>0.898</b>	<b>10.641</b>	<b>4.687</b>
CatBoost	0.896	10.737	4.789
XGBoost	0.895	10.761	4.713
CatBoost <sub>global</sub>	0.889	10.931	4.813
GBDT	0.888	11.135	5.044
MLP	0.885	11.287	4.803
LightGBM <sub>global</sub>	0.884	11.153	4.863
XGBoost <sub>global</sub>	0.883	11.230	4.859
GBDT <sub>global</sub>	0.881	11.327	4.937
MLP <sub>global</sub>	0.879	11.431	5.123
BaggedDT	0.873	11.830	5.183
Random Forest	0.871	11.965	5.217
BaggedDT <sub>global</sub>	0.866	11.997	5.410
Random Forest <sub>global</sub>	0.865	12.053	5.331
BayesianNN	0.836	13.455	6.773
BayesianNN <sub>global</sub>	0.824	13.774	7.041
SVR	0.810	14.505	5.269
KNN	0.793	15.128	6.251
SVR <sub>global</sub>	0.731	17.033	6.154
AdaBoost	0.349	26.829	23.857

### Modelos con stacking

En la Tabla 8.8 se muestra el resumen del rendimiento de los modelos con stacking para la predicción de la variable de carbono en toneladas (carbono\_-bruto4) con el conjunto de datos que emplea IFN3 como explicativo.

**Tabla 8.8.** Resultados de las diferentes configuraciones de stacking utilizando IFN3 como explicativo de la variable en toneladas de carbono.

Modelo	$R^2_{\text{test}}$	RMSE <sub>test</sub>	MAE <sub>test</sub>
<b>Stack4 MLP</b>	<b>0.902</b>	<b>10.407</b>	<b>4.517</b>
Stack5 GradientBoosting	0.902	10.434	4.540
Stack5 MLP	0.901	10.447	4.454
Stack4 GradientBoosting	0.901	10.450	4.541
Stack2 MLP	0.900	10.540	4.581
Stack4 LinearRegression	0.900	10.511	4.648
Stack4 Ridge	0.900	10.511	4.648
Stack5 LinearRegression	0.900	10.492	4.624
Stack5 Ridge	0.900	10.494	4.624
Stack2 GradientBoosting	0.899	10.582	4.610
Stack2 LinearRegression	0.899	10.572	4.651
Stack2 Ridge	0.899	10.573	4.654
Stack3 MLP	0.899	10.572	4.611
Stack1 MLP	0.898	10.617	4.579
Stack1 LinearRegression	0.898	10.625	4.667
Stack1 Ridge	0.898	10.626	4.667
Stack5 SVR	0.898	10.638	4.541
Stack1 GradientBoosting	0.897	10.660	4.620
Stack3 GradientBoosting	0.897	10.671	4.637
Stack3 LinearRegression	0.897	10.674	4.757
Stack3 Ridge	0.897	10.675	4.757
Stack4 SVR	0.897	10.655	4.556
Stack2 SVR	0.896	10.706	4.580
Stack1 SVR	0.895	10.787	4.613
Stack4 Random Forest	0.895	10.782	4.775
Stack5 Random Forest	0.895	10.755	4.721
Stack3 SVR	0.893	10.865	4.672
Stack4 MLP <sub>global</sub>	0.890	10.862	4.621

Continúa en la siguiente página...

Modelo	$R^2_{\text{test}}$	RMSE <sub>test</sub>	MAE <sub>test</sub>
Stack5 MLP <sub>global</sub>	0.890	10.866	4.586
Stack3 MLP <sub>global</sub>	0.890	10.880	4.544
Stack4 Ridge <sub>global</sub>	0.890	10.891	4.741
Stack4 LinearRegression <sub>global</sub>	0.890	10.890	4.741
Stack5 GradientBoosting <sub>global</sub>	0.890	10.905	4.612
Stack5 LinearRegression <sub>global</sub>	0.890	10.908	4.747
Stack5 Ridge <sub>global</sub>	0.889	10.909	4.747
Stack3 Ridge <sub>global</sub>	0.889	10.921	4.766
Stack3 LinearRegression <sub>global</sub>	0.889	10.921	4.766
Stack3 GradientBoosting <sub>global</sub>	0.888	10.959	4.626
Stack4 GradientBoosting <sub>global</sub>	0.888	10.978	4.625
Stack2 Random Forest	0.887	11.165	4.916
Stack3 Random Forest	0.887	11.157	4.967
Stack4 SVR <sub>global</sub>	0.887	11.053	4.682
Stack5 SVR <sub>global</sub>	0.886	11.056	4.687
Stack2 MLP <sub>global</sub>	0.886	11.058	4.709
Stack2 Ridge <sub>global</sub>	0.886	11.065	4.802
Stack2 LinearRegression <sub>global</sub>	0.886	11.065	4.803
Stack3 SVR <sub>global</sub>	0.886	11.088	4.701
Stack1 MLP <sub>global</sub>	0.886	11.102	4.680
Stack2 GradientBoosting <sub>global</sub>	0.885	11.108	4.729
Stack1 LinearRegression <sub>global</sub>	0.885	11.111	4.833
Stack1 Ridge <sub>global</sub>	0.885	11.111	4.833
Stack1 GradientBoosting <sub>global</sub>	0.884	11.172	4.732
Stack2 SVR <sub>global</sub>	0.883	11.220	4.745
Stack1 SVR <sub>global</sub>	0.882	11.271	4.760
Stack1 RandomForest	0.881	11.483	5.127
Stack5 Random Forest <sub>global</sub>	0.880	11.347	4.848
Stack4 Random Forest <sub>global</sub>	0.879	11.429	4.919
Stack3 Random Forest <sub>global</sub>	0.875	11.586	5.023

Continúa en la siguiente página...

Modelo	$R^2_{\text{test}}$	RMSE <sub>test</sub>	MAE <sub>test</sub>
Stack2 Random Forest <sub>global</sub>	0.873	11.693	5.131
Stack1 Random Forest <sub>global</sub>	0.858	12.368	5.383

### 8.3. Resultados IFN2 e IFN3

#### 8.3.1. Toneladas de carbono por hectárea

##### Modelos base

Una vez entrenados los modelos, algunos parámetros globales como el  $R^2$ , RMSE y MAE se presentan en la Tabla 8.9

**Tabla 8.9.** Resumen del rendimiento de los modelos para la predicción de la variable de carbono en tC/ha con el conjunto de datos que emplea IFN2 e IFN3 como explicativos.

Modelo	$R^2_{\text{test}}$	RMSE <sub>test</sub>	MAE <sub>test</sub>
<b>LightGBM<sub>global</sub></b>	<b>0.787</b>	<b>22.767</b>	<b>11.650</b>
XGBoost <sub>global</sub>	0.784	22.952	11.590
CatBoost <sub>global</sub>	0.783	22.990	11.607
GBDT <sub>global</sub>	0.783	23.014	11.658
MLP <sub>global</sub>	0.771	23.607	12.287
BaggedDT <sub>global</sub>	0.740	25.142	13.021
Random Forest <sub>global</sub>	0.732	25.547	12.908
BayesianNN <sub>global</sub>	0.678	28.021	14.689
SVR <sub>global</sub>	0.551	33.065	13.708

##### Modelos con stacking

En la Tabla 8.10 se muestra el resumen del rendimiento de los modelos de stacking para la predicción de la variable de carbono en tC/ha con el conjunto de datos que emplea IFN2 e IFN3 como explicativos.

<b>Stack</b>	<b>Metamodelo</b>	<b>Bases</b>	$R^2_{\text{test}}$	$\text{RMSE}_{\text{test}}$	$\text{MAE}_{\text{test}}$
stack1	GradientBoosting <sub>global</sub>	2	0.770	23.648	11.663
stack1	LinearRegression <sub>global</sub>	2	0.787	22.768	11.607
stack1	Ridge <sub>global</sub>	2	0.787	22.769	11.607
stack1	RandomForest <sub>global</sub>	2	0.740	25.152	12.875
stack1	SVR <sub>global</sub>	2	0.781	23.109	11.368
<b>stack1</b>	<b>MLP<sub>global</sub></b>	<b>2</b>	<b>0.789</b>	<b>22.650</b>	<b>11.556</b>
stack2	GradientBoosting <sub>global</sub>	3	0.779	23.183	11.527
stack2	LinearRegression <sub>global</sub>	3	0.791	22.565	11.429
stack2	Ridge <sub>global</sub>	3	0.791	22.566	11.429
stack2	RandomForest <sub>global</sub>	3	0.755	24.446	12.345
stack2	SVR <sub>global</sub>	3	0.786	22.853	11.214
<b>stack2</b>	<b>MLP<sub>global</sub></b>	<b>3</b>	<b>0.794</b>	<b>22.405</b>	<b>11.403</b>
stack3	GradientBoosting <sub>global</sub>	4	0.774	23.442	11.477
stack3	LinearRegression <sub>global</sub>	4	0.788	22.735	11.456
stack3	Ridge <sub>global</sub>	4	0.788	22.735	11.454
stack3	RandomForest <sub>global</sub>	4	0.748	24.768	12.394
stack3	SVR <sub>global</sub>	4	0.783	22.995	11.218
<b>stack3</b>	<b>MLP<sub>global</sub></b>	<b>4</b>	<b>0.787</b>	<b>22.774</b>	<b>11.333</b>
stack4	GradientBoosting <sub>global</sub>	5	0.772	23.553	11.476
stack4	LinearRegression <sub>global</sub>	5	0.790	22.602	11.416
stack4	Ridge <sub>global</sub>	5	0.790	22.601	11.415
stack4	RandomForest <sub>global</sub>	5	0.751	24.650	12.208
stack4	SVR <sub>global</sub>	5	0.785	22.873	11.183
<b>stack4</b>	<b>MLP<sub>global</sub></b>	<b>5</b>	<b>0.792</b>	<b>22.531</b>	<b>11.315</b>
stack5	GradientBoosting <sub>global</sub>	6	0.773	23.492	11.421
stack5	LinearRegression <sub>global</sub>	6	0.791	22.571	11.387
stack5	Ridge <sub>global</sub>	6	0.791	22.572	11.384
stack5	RandomForest <sub>global</sub>	6	0.760	24.187	12.029
stack5	SVR <sub>global</sub>	6	0.785	22.864	11.162
<b>stack5</b>	<b>MLP<sub>global</sub></b>	<b>6</b>	<b>0.794</b>	<b>22.387</b>	<b>11.307</b>

**Tabla 8.10.** Resultados de las diferentes configuraciones de stacking utilizando IFN2 e IFN3 como explicativos de la variable en tC/ha.

### 8.3.2. Toneladas de carbono

#### Modelos base

En la Tabla 8.11 se muestra el resumen del rendimiento de los modelos para la predicción de la variable de carbono en toneladas con el conjunto de

datos que emplea el IFN2 e IFN3 como explicativos.

**Tabla 8.11.** Resumen del rendimiento de los modelos para la predicción de la variable de carbono en toneladas (carbono\_bruto4) con el conjunto de datos que emplea IFN2 e IFN3 como explicativos.

Modelo	$R^2_{\text{test}}$	RMSE <sub>test</sub>	MAE <sub>test</sub>
<b>CatBoost<sub>global</sub></b>	<b>0.845</b>	<b>13.846</b>	<b>6.615</b>
LightGBM <sub>global</sub>	0.841	14.006	6.654
XGBoost <sub>global</sub>	0.840	14.054	6.655
GBDT <sub>global</sub>	0.838	14.159	6.722
MLP <sub>global</sub>	0.832	14.410	6.931
BaggedDT <sub>global</sub>	0.821	14.858	7.282
Random Forest <sub>global</sub>	0.819	14.950	7.135
BayesianNN <sub>global</sub>	0.775	16.674	8.906
SVR <sub>global</sub>	0.679	19.897	8.137

### Modelos con stacking

En la Tabla 8.12 se muestra el resumen del rendimiento de los modelos con stacking para la predicción de la variable de carbono en toneladas con el conjunto de datos que emplea el IFN2 e IFN3 como explicativos.

<b>Stack</b>	<b>Metamodelo</b>	<b>Bases</b>	$R^2_{\text{test}}$	$\text{RMSE}_{\text{test}}$	$\text{MAE}_{\text{test}}$
stack1	GradientBoosting <sub>global</sub>	2	0.840	14.042	6.532
stack1	LinearRegression <sub>global</sub>	2	0.842	13.974	6.621
stack1	Ridge <sub>global</sub>	2	0.842	13.974	6.621
stack1	RandomForest <sub>global</sub>	2	0.815	15.108	7.254
stack1	SVR <sub>global</sub>	2	0.838	14.150	6.534
<b>stack1</b>	<b>MLP<sub>global</sub></b>	<b>2</b>	<b>0.842</b>	<b>13.969</b>	<b>6.482</b>
stack2	GradientBoosting <sub>global</sub>	3	0.842	13.977	6.525
stack2	LinearRegression <sub>global</sub>	3	0.843	13.913	6.586
stack2	Ridge <sub>global</sub>	3	0.843	13.913	6.586
stack2	RandomForest <sub>global</sub>	3	0.826	14.652	7.017
stack2	SVR <sub>global</sub>	3	0.840	14.064	6.511
<b>stack2</b>	<b>MLP<sub>global</sub></b>	<b>3</b>	<b>0.843</b>	<b>13.913</b>	<b>6.507</b>
stack3	GradientBoosting <sub>global</sub>	4	0.844	13.862	6.440
stack3	LinearRegression <sub>global</sub>	4	0.846	13.813	6.557
stack3	Ridge <sub>global</sub>	4	0.846	13.813	6.557
stack3	RandomForest <sub>global</sub>	4	0.829	14.545	6.920
stack3	SVR <sub>global</sub>	4	0.842	13.978	6.473
<b>stack3</b>	<b>MLP<sub>global</sub></b>	<b>4</b>	<b>0.846</b>	<b>13.785</b>	<b>6.364</b>
stack4	GradientBoosting <sub>global</sub>	5	0.845	13.827	6.428
stack4	LinearRegression <sub>global</sub>	5	0.846	13.784	6.533
stack4	Ridge <sub>global</sub>	5	0.846	13.784	6.533
stack4	RandomForest <sub>global</sub>	5	0.834	14.309	6.771
stack4	SVR <sub>global</sub>	5	0.843	13.943	6.452
<b>stack4</b>	<b>MLP<sub>global</sub></b>	<b>5</b>	<b>0.847</b>	<b>13.768</b>	<b>6.458</b>
stack5	GradientBoosting <sub>global</sub>	6	0.846	13.812	6.423
stack5	LinearRegression <sub>global</sub>	6	0.846	13.787	6.541
stack5	Ridge <sub>global</sub>	6	0.846	13.787	6.541
stack5	RandomForest <sub>global</sub>	6	0.836	14.212	6.716
stack5	SVR <sub>global</sub>	6	0.843	13.940	6.451
<b>stack5</b>	<b>MLP<sub>global</sub></b>	<b>6</b>	<b>0.847</b>	<b>13.759</b>	<b>6.401</b>

**Tabla 8.12.** Resultados de las diferentes configuraciones de stacking utilizando IFN2 e IFN3 como explicativos de la variable en toneladas de carbono.



## 9. Discusión

---

En primer lugar se analizarán los modelos “globales”, es decir, aquellos entrenados con todos los datos (IFN2 e IFN3) al mismo tiempo. Posteriormente se analizarán los modelos entrenador solo con un inventario y se comparán con los globales.

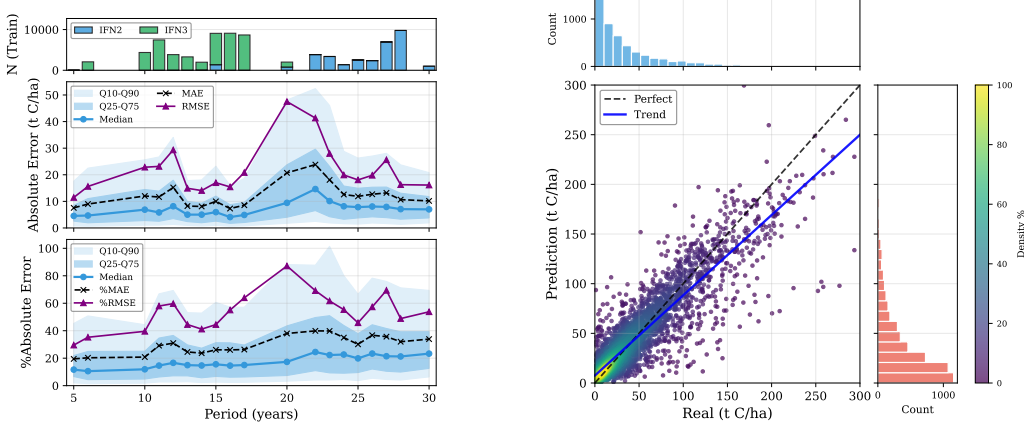
### 9.1. Modelos globales

#### 9.1.1. Variable $c_4$ (en toneladas de carbono por hectárea)

##### Modelos base

La variable **periodo** (el número de años entre la medición y la predicción) tiene una gran importancia en el estudio de los modelos. Es por esto que en la Figura 9.1a se incluyen métricas en función de esta variable, donde se muestra la evolución del RMSE y el %RMSE en cuantiles en función de la variable **periodo**, junto con un histograma que nos permite visualizar la cantidad de datos en el conjunto de entrenamiento para cada valor de **periodo**.

Podemos observar algo que podíamos prever: la dificultad de la predicción depende de una combinación entre cuán lejos se desea realizar la predicción y la calidad y cantidad de los datos de entrenamiento. Empezando en terreno del IFN3, podemos observar que para los primeros años (5, y 6), pese a tener pocos datos, los errores son comedidos. A medida que aumenta el periodo (entre 10 y 17 años) los errores medios y medianos se mantienen relativamente estables pese a disponer de, en general, más datos de entrenamiento. Los errores grandes extremos (cuantil 90) experimentan un aumento generalizado. Cuando entramos en el rango de años donde los datos de entrenamiento proceden del IFN2 principalmente (el rango entre 20 y 30 años), aunque la mediana y los valores pequeños - medios (cuantil 25) se mantienen estables, los valores grandes - medios (cuantil 75) y los grandes (cuantil 90) aumentan en gran medida. Esto es un indicativo de que, aun disponiendo de una gran cantidad de datos de entrenamiento (especialmente para los años 27 y 28), la combinación entre la peor calidad de los datos (comparando siempre con el IFN3) y la predicción a valores lejanos dificultan la predicción del modelo. Además, como podemos observar en la Figura 6.2, los valores de los primeros años del IFN2 presentan una gran variabilidad, siendo en su mayoría



(a) Evolución del error absoluto y el error absoluto porcentual en cuantiles

(b) Densidad de predicciones frente a valores reales

**Figura 9.1.** Análisis del modelo LightGBM para la variable c4. (a) Evolución de métricas de error en función del periodo. (b) Densidad de predicciones frente a valores reales.

valores más altos que los del IFN3 para esos mismos años, y con una mayor variabilidad. Esto, unido a que la cantidad de datos para esos años no es excesivamente grande, hace que el modelo obtenga peores predicciones.

El hecho de que los valores medianos se mantengan relativamente estables a lo largo de todos los períodos indica que el modelo asimila correctamente el comportamiento de la variable objetivo tanto con datos del IFN2 como del IFN3. Por otro lado, que los errores del cuantil 90 sean tan elevados se explica por varios factores: la alta variabilidad del conjunto de datos, el menor número de variables de campo recogidas en el IFN2 (lo que reduce la información disponible) y la mayor dificultad inherente a predecir a horizontes temporales lejanos. Esta combinación hace que los casos particulares o atípicos sean menos reconocibles por el modelo, especialmente cuando proceden del IFN2, donde la capacidad de discriminación es menor que en el IFN3. La variabilidad mencionada se observa claramente en la Figura 9.1b, que muestra los valores predichos frente a los reales para el modelo con mejores métricas, junto con un histograma de distribución.

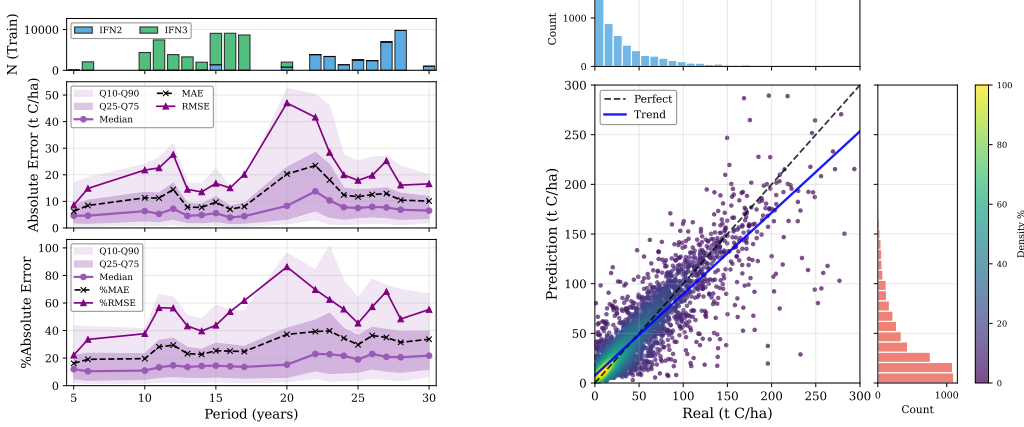
## Modelos de stacking

La incorporación de esquemas de *stacking* no produce incrementos sustanciales, aunque sí sistemáticos, en el coeficiente de determinación respecto a los mejores modelos individuales. Fijándonos en la Tabla 8.10 podemos observar que los modelos de stacking presentan mejores métricas en la gran mayoría de casos, siempre comparando con los modelos bases. Los mejores parámetros los obtiene el modelo de stacking con configuración 5, que mantiene todos los modelos con rendimiento competitivo, junto con el metamodelo de la red neuronal.

El hecho de que todos los ensambles mejoren a los modelos base es un síntoma de que esta mejora no es una excepción estadística, sino una mejora real. Esto es, no se trata de que las métricas sean mejores por estocasticidad de los parámetros del metamodelo, sino porque el montaje realmente mejora el resultado final. Obviamente, reentrenar los metamodelos con otros parámetros haría variar las métricas, pero el hecho es que la función de mejorar las predicciones realmente se alcanza con los ensambles. No obstante, la mejora es pequeña, lo que puede hacer que según el caso se prefiera la simplicidad de emplear uno de los modelos base en comparación con uno de los ensambles.

En la Figura 9.2a se muestra la evolución del RMSE y el RMSE porcentual en cuantiles para el modelo ensemble con mejores métricas, el stacking con configuración 5 y metamodelo MLP. Podemos observar que el comportamiento es prácticamente idéntico a aquel del LightGBM, el que obtuvo mejores métricas de los modelos base. Por otro lado, en la Figura 9.2b podemos observar el gráfico de puntos de las predicciones frente a los valores reales para el modelo de stacking con configuración 5 y metamodelo MLP para la variable c4 (tC/ha).

En cuanto a la estructura de los ensambles, los mejores resultados se obtienen cuando se combinan modelos base de alta calidad y naturaleza similar (principalmente variantes de *gradient boosting*) y se emplean metamodelos con complejidad moderada, como MLP o SVR lineal. Por el contrario, los *stacks* con pocos modelos base o aquellos que incorporan metamodelos excesivamente flexibles, como Random Forest en el segundo nivel, tienden a ofrecer un rendimiento inferior, probablemente debido a la baja dimensionabilidad del espacio de meta-predictores o a un sobreajuste innecesario del ruido residual.



(a) Evolución del error absoluto y el error absoluto porcentual en cuantiles

(b) Gráfico de puntos de las predicciones frente a los valores reales

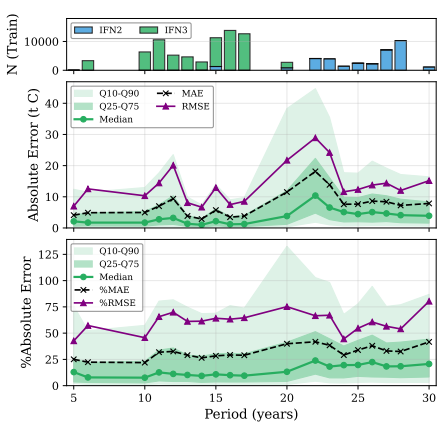
**Figura 9.2.** Análisis del modelo Stacking (Conf. 5, MLP) para la variable c4. (a) Evolución de métricas de error. (b) Densidad de predicciones frente a valores reales.

### 9.1.2. Variable *carbono\_bruto4* (en toneladas de carbono)

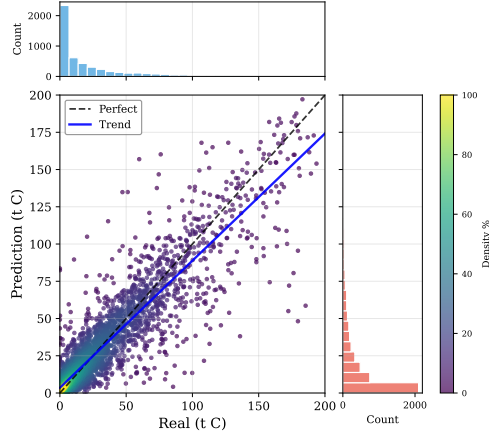
#### Modelos base

De igual forma que en los apartados anteriores, en la Figura 9.3a se muestra la evolución del RMSE y el %RMSE en cuantiles en función de la variable *periodo* para el modelo CatBoost (aquel que obtuvo mejores métricas entre los modelos base) con IFN2 e IFN3 como explicativos para la variable en toneladas de carbono, junto con el histograma de distribución de los datos de entrenamiento en función de la variable *periodo*.

Atendiendo a la Figura 9.3a observamos el mismo comportamiento cualitativo que en el caso de la variable c4 (con la particularidad de que cambian las unidades y el rango de valores): el error entre los cuantiles 25 y 75 se mantiene en valores relativamente pequeños y constantes, si bien es verdad que empieza siendo menor y va aumentando ligeramente a medida que lo hace la variable *periodo*. Los errores extremos (cuantil 90) siguen siendo altos. De hecho, si nos fijamos en los valores más altos del RMSE porcentual para el cuantil 90, observamos que se alcanzan valores notablemente más altos que en el caso de la variable c4, llegando hasta el 130 % cuando para c4 apenas se superó el 100 % para el peor de los casos. Esto es de destacar, ya que las métricas globales para las predicciones de la variable *carbono\_bruto4* (ver



(a) Evolución del error absoluto y el error absoluto porcentual en cuantiles



(b) Gráfico de puntos de las predicciones frente a los valores reales

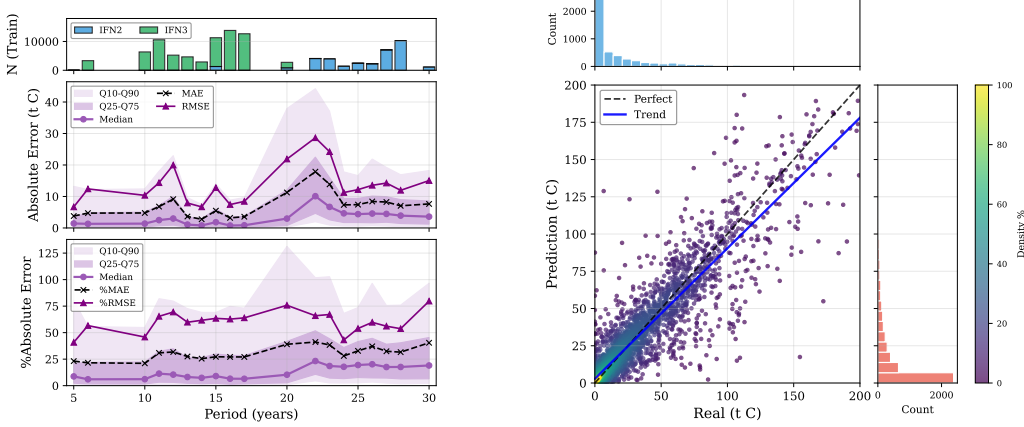
**Figura 9.3.** Análisis del modelo CatBoost para la variable `carbono_bruto4`. (a) Evolución de métricas de error. (b) Densidad de predicciones frente a valores reales.

Tabla 8.11) son sistemáticamente mejores que las de la variable `c4` (ver Tabla 8.9). Esto es, la variable `carbono_bruto4` (toneladas) es más fácil de predecir en general para los modelos que la variable `c4` (toneladas por hectárea), pero ocurre lo contrario en los casos particulares, donde los errores más altos se disparan de una manera más exagerada que en el mismo caso para la variable `c4`. También se observa el aumento del error al pasar del rango de años del IFN2 a IFN3, causado por el aumento de la variabilidad de los datos del segundo inventario (ver Figura 6.2).

Al igual que en los apartados anteriores, en la Figura 9.3b podemos observar un scatter plot de las predicciones frente a los valores reales para el modelo CatBoost del caso que estamos considerando.

### Modelos con stacking

Los resultados obtenidos en este apartado son muy similares a aquellos que se han obtenido con los modelos stacking para la variable `c4` (tC/ha). Esto es, encontramos una mejora sistemática en todos los modelos de stacking frente a los base, pero esa mejora es pequeña. Esto causa que los resultados sean estrictamente mejores, como se puede ver en la Tabla 8.12 comparando con las métricas de los modelos base de la Tabla 8.11. De nuevo, que la mejora de los modelos stacking respecto a los base sea sistemática indica que



(a) Evolución del error absoluto y el error absoluto porcentual en cuantiles

(b) Gráfico de puntos de las predicciones frente a los valores reales

**Figura 9.4.** Análisis del modelo Stacking (Conf. 5, MLP) para la variable `carbono_bruto4`. (a) Evolución de métricas de error. (b) Densidad de predicciones frente a valores reales.

no nos encontramos frente a un incidente estadístico, sino que el formato del stacking es capaz de mejorar las predicciones de los modelos escogiendo las mejores decisiones de cada uno de ellos. No obstante, como ya se comentó anteriormente, la complejidad de entrenar cinco modelos además del metamodelo puede resultar incómoda frente a la posibilidad de usar, por ejemplo, el mejor de los modelos individuales.

El modelo ensemble que mejores métricas proporciona para la predicción de la variable `carbono_bruto4` (tC) es la configuración 5 y metamodelo MLP, al igual que ocurrió con la variable `c4` (tC/ha). La evolución del RMSE y el RMSE porcentual en cuantiles en función de la variable `periodo` para este modelo se puede visualizar en la Figura 9.4a.

Por otro lado, en la Figura 9.4b se muestra un scatter plot de las predicciones frente a los valores reales para el modelo de stacking con configuración 5 y metamodelo MLP y la variable `carbono_bruto4` (tC).

## 9.2. Modelos individuales entrenados solo con el IFN2 o IFN3.

Al comparar el rendimiento de los modelos “globales” (entrenados con el conjunto combinado de IFN2 e IFN3) frente a los modelos “locales” (entrenados exclusivamente con IFN2 o IFN3), se observa un comportamiento

diferenciado según el inventario de prueba. En el caso del IFN3, los modelos locales superan a los globales en términos de métricas de precisión. Por el contrario, para el IFN2, los modelos globales muestran un desempeño superior.

Una posible explicación para este fenómeno radica en la calidad y cantidad de información contenida en cada inventario. Los datos del IFN2, al ser menos informativos o presentar menos variables, parecen beneficiarse del aprendizaje conjunto con los del IFN3, lo que permite a los modelos capturar patrones adicionales y mejorar su capacidad de generalización sobre el segundo inventario. En cambio, para el IFN3, cuyos datos poseen una mayor calidad intrínseca, la inclusión de registros del IFN2 durante el entrenamiento podría estar introduciendo ruido o variabilidad no deseada, lo que acaba penalizando la precisión de las predicciones del modelo final sobre este conjunto.

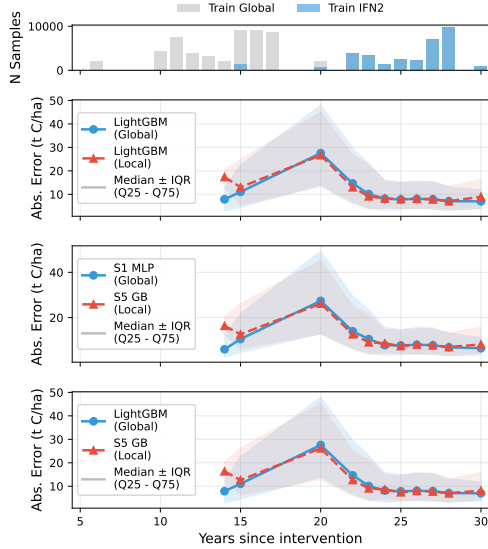
En la Figura 9.5 se muestra una comparativa entre los mejores modelos base globales vs. locales (arriba), mejores modelos de stacking globales vs. locales (medio) y mejor modelo base vs. mejor modelo de stacking (abajo). Observamos que en general los errores menores para el IFN2 los cometen los modelos globales, mientras que para el IFN3 son los locales los que realizan un mejor trabajo.

### 9.2.1. Asimilación del comportamiento de las variables objetivo

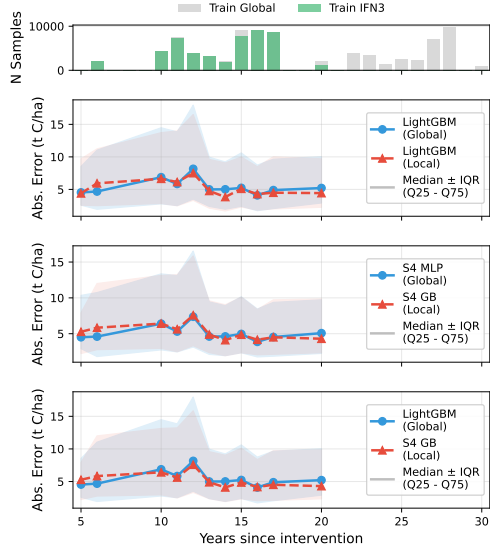
Con las métricas que hemos planteado y el análisis que se ha hecho en esta sección parece claro que, si bien los resultados no son ni mucho menos perfectos, los modelos son capaces de entender la lógica y el significado de cada variable para obtener una predicción con un grado de acierto que depende de la naturaleza de la instancia que se trate. Otra prueba que podemos hacer para comprobar si los resultados de los modelos son lógicos es la que mostramos en la Figura 9.6. Esta figura muestra la evolución de varios casos particulares a medida que avanza el tiempo entre medida y predicción. Los casos seleccionados son reales dentro de los datos disponibles. Se seleccionaron con la idea de mostrar cómo se comportan los modelos para configuraciones de carbono inicial más o menos comunes. Para ello se sumaron, para cada instancia de los datos, las variables `npies_x`, y luego se seleccionaron los valores más cercanos a los percentiles 10, 35, 65 y 90 para la variable resultante. Así evitamos posibles problemas fruto de seleccionar ejemplos poco realistas.

Podemos señalar las siguientes características:

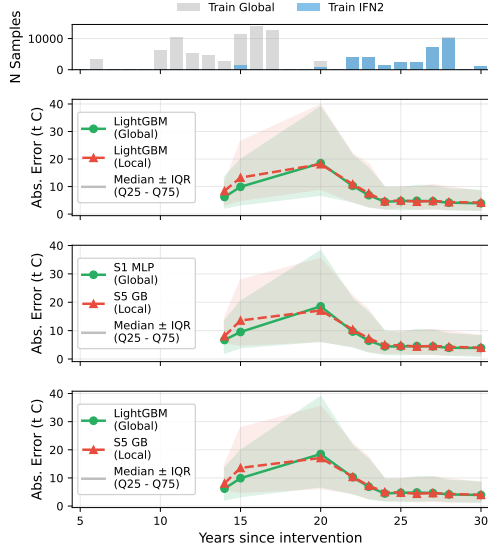
- Las líneas de los modelos base y los ensambles para cada caso están



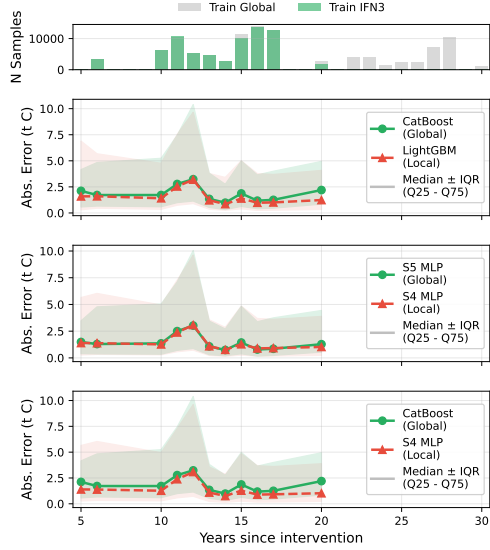
(a) Resultados para `c4` en el IFN2.



(b) Resultados para `c4` en el IFN3.

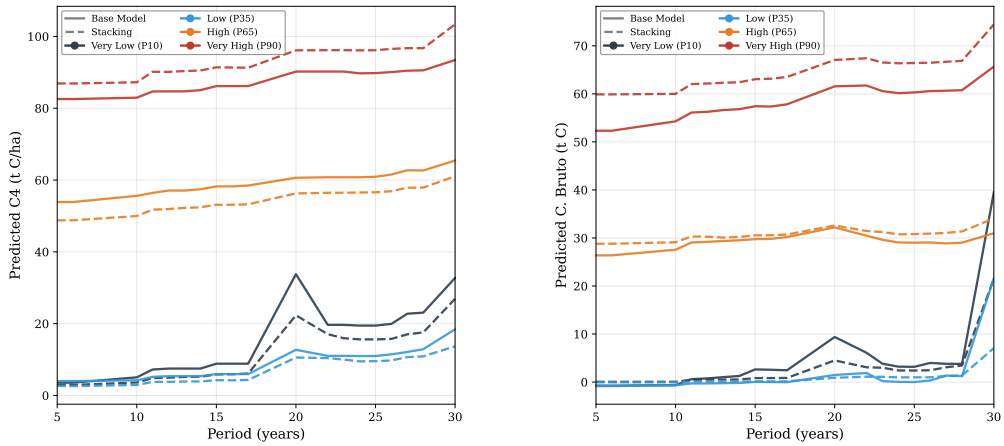


(c) Resultados para `carbono_bruto4` en el IFN2.



(d) Resultados para `carbono_bruto4` en el IFN3.

**Figura 9.5.** Comparación del error absoluto entre mejores modelos base globales vs. locales (arriba), mejores modelos de stacking globales vs. locales (medio) y mejor modelo base vs. mejor modelo de stacking (abajo).



(a) Cantidad de carbono en toneladas por hectárea para varios escenarios.

(b) Cantidad de carbono en toneladas para varios escenarios.

**Figura 9.6.** Evolución de la cantidad de carbono en toneladas para varios escenarios.

muy cerca una de la otra, lo que concuerda con las métricas obtenidas, que eran muy similares entre sí.

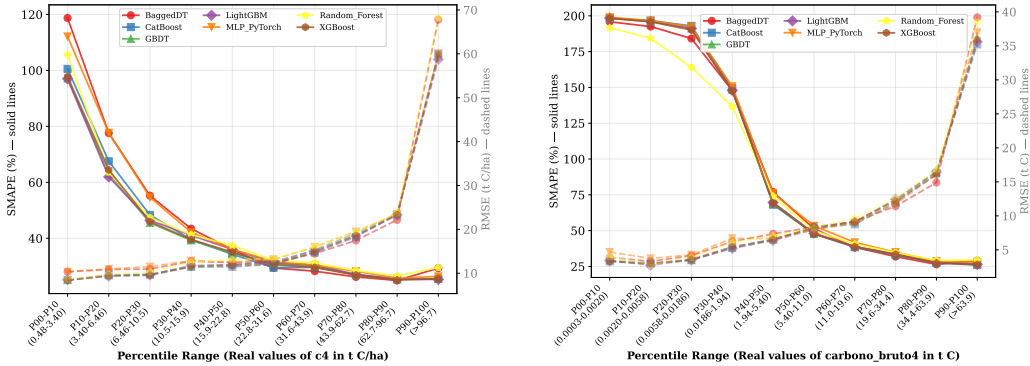
- La tendencia general es ascendente, es decir, los modelos capturan de forma correcta el comportamiento del crecimiento de los árboles con el tiempo para los años estudiados.
- En el año 17 tenemos un crecimiento abrupto generalizado, el cual es más exagerado cuanto más pequeño es el percentil del caso de estudio. Esto es sencillo de entender mirando a los datos, ya que los valores de la variable a predecir experimentan un aumento generalizado al pasar de los años del IFN2 a aquellos del IFN3, como se puede ver en la Figura 6.2. Este cambio (que el modelo empieza a ingerir datos del IFN2 en lugar del IFN3) ocurre principalmente en el año 17. Esto puede verse en el histograma de la Figura 9.4a, por ejemplo. La razón por la que ocurre el salto a percentiles pequeños es porque estos valores pequeños en los datos del IFN2 apenas existen o son menos comunes. El modelo ha visto que para esos años los valores de carbono son, en general, mayores, y eso es lo que predice. De hecho, en la Figura 6.2 se observa que para los años iniciales de los datos del IFN2 los valores de carbono aumentan para luego disminuir, y esto es justo lo que vemos en las

- predicciones: un aumento y una posterior disminución.
- También podemos ver una subida abrupta en muchos casos al pasar del año 29 al 30, sobre todo en el caso de la variable en toneladas de carbono bruto (Figura 9.6b). Estos años coinciden con una carencia de datos, como podemos ver en el histograma de la Figura 6.2. Es de esperar que las predicciones de esos años sean menos fiables, sobre todo siendo un valor extremo.

#### *9.2.2. Rendimiento de los modelos en función del valor de la variable objetivo*

Si se analizan las métricas globales de las tablas de la sección 8 nos damos cuenta de que los valores del RMSE son notablemente mayores que los valores de MAE, concretamente cerca del doble en la mayoría de casos. Debido a que el RMSE penaliza mucho más los errores grandes que el MAE, esto es indicativo de la presencia de outliers en el error. Ya hemos visto a lo largo de esta sección que los mayores errores ocurren en el rango de años en que el IFN2 es la principal fuente de datos como podemos ver en las Figuras 9.1a, 9.2a, 9.3a y 9.4a, y la principal conclusión que podemos sacar es que la calidad o cantidad de información contenida en este inventario es peor. No obstante, esto no responde del todo a la pregunta de en qué casos el modelo predice mejor, salvo la obviedad de que la predicción será mejor cuanto más cerca esté en el tiempo y más datos haya de ese año. Es por esto que la Figura 9.7 nos puede ser útil. Esta figura muestra la distribución de errores, concretamente el RMSE y el SMAPE, en función de la variable objetivo para c4 y carbono\_bruto4 en deciles para los modelos base.

Rápidamente nos damos cuenta de lo siguiente: las predicciones para valores pequeños de carbono objetivo (primeros deciles) son malas (SMAPE grande) pese a ser aquellas con un error absoluto menor (RMSE pequeño). Luego, a medida que aumenta el carbono objetivo, el RMSE aumenta ligeramente mientras que el SMAPE disminuye mucho más rápido, llegando a valores cercanos al 25 %. En ambos casos los mejores resultados se logran cuando el carbono objetivo es mayor, pese a que observamos un aumento significativo del RMSE entre el penúltimo y último decil. Como esto se produce para todos los modelos, sugiere que la dificultad de predicción no es homogénea para todas las situaciones o cantidades de carbono, y que pese a ser los percentiles de menor carbono aquellos con un RMSE menor, la precisión de los modelos no es la suficiente como para hacer una predicción decente en situaciones con poca biomasa. Esto era predecible, ya que un error absoluto



(a) Distribución de errores en función de la variable objetivo para **c4**.

(b) Distribución de errores en función de la variable objetivo para **carbono\_bruto4**.

**Figura 9.7.** Distribución del SMAPE y RMSE en función de la variable objetivo para **c4** y **carbono\_bruto4** en deciles.

mayor para una parcela de bosque mayor no implica necesariamente un peor error relativo.

También es llamativo el hecho de que los deciles iniciales tienen unos rangos de carbono muy cercanos, sobre todo en el caso de la variable **carbono\_bruto4**, donde el primer decil abarca desde 0,0003 tC hasta 0,002 tC. Esta gran cantidad de valores no sirve a los modelos para obtener una buena predicción, por otra parte. Las densidades mayores para valores pequeños de carbono se ven claramente en las Figuras 9.1b, 9.2b, 9.3b y 9.4b.



## 10. Conclusiones

El objetivo principal de este trabajo es desarrollar un modelo de inteligencia artificial capaz de predecir de forma precisa la capacidad de captura de dióxido de carbono en cultivos forestales españoles, a partir de información estructural, edáfica, climática y espectral disponible en los Inventarios Forestales Nacionales y en fuentes de datos auxiliares. Los resultados obtenidos permiten afirmar que dicho objetivo se ha cumplido de manera satisfactoria.

En primer lugar, se ha demostrado que es posible construir modelos predictivos robustos y generalizables para estimar el carbono forestal a medio y largo plazo. Entre las distintas configuraciones evaluadas, el mejor rendimiento global se alcanzó mediante un esquema de stacking entrenado con datos del IFN2 e IFN3 como variables explicativas y del IFN4 como variable objetivo, utilizando como modelos base CatBoost, LightGBM, XGBoost, Random Forest, GBDT y BaggedDT, y una red neuronal multicapa (MLP) como metamodelo. Esta configuración permite predecir el carbono total en toneladas para horizontes temporales comprendidos entre 5 y 30 años, alcanzando un coeficiente de determinación en test de aproximadamente  $R^2 = 0,85$  y un error absoluto medio del orden de 6.4 toneladas de carbono. Estos valores indican una elevada capacidad explicativa y una precisión compatible con aplicaciones prácticas en planificación forestal y estimación de créditos de carbono.

Así mismo, el análisis comparativo entre modelos individuales y esquemas de stacking ha puesto de manifiesto que los algoritmos basados en árboles de decisión son los que presentan un mejor comportamiento de forma consistente, destacando especialmente CatBoost y LightGBM. Aunque el stacking no produce incrementos sustanciales en el coeficiente de determinación, sí aporta mejoras sistemáticas en el MAE, lo que resulta especialmente relevante desde un punto de vista operativo, al reducir el error medio en las estimaciones finales.

Un segundo resultado relevante del estudio es la identificación de los factores que condicionan en mayor medida la capacidad de captura de carbono. El proceso de selección manual de variables permitió reducir un conjunto inicial de 445 predictores a un subconjunto compacto de 44 variables, manteniendo una representación equilibrada de todos los ámbitos ecológicos implicados. Los resultados muestran que la mayor parte de la capacidad predictiva del modelo se explica por variables estructurales y de composición de la masa forestal, en particular el número de pies por clase diamétrica y las varia-

bles asociadas a la especie y su estado. Las variables edáficas, topográficas y de manejo aportan información adicional relevante, mientras que las variables climáticas y los índices de vegetación actúan como moduladores del crecimiento y la acumulación de carbono, refinando las predicciones especialmente a escala estacional.

En conjunto, este trabajo contribuye con una metodología reproducible y basada en datos reales para la predicción de la captura de carbono forestal a futuro. La integración de información multifuente, el uso de técnicas avanzadas de aprendizaje automático y la validación rigurosa del rendimiento permiten disponer de una herramienta con potencial aplicación en la planificación de proyectos de forestación, la optimización del secuestro de carbono y la evaluación técnica de iniciativas vinculadas al mercado de créditos de carbono. Estos resultados refuerzan el valor de la inteligencia artificial como apoyo a la toma de decisiones ambientales y abren la puerta a futuras extensiones del modelo, como su adaptación a otros contextos geográficos o su integración en sistemas operativos de gestión forestal.

El objetivo de este trabajo es la obtención de un modelo de Inteligencia Artificial capaz de predecir el carbono que una cierta parcela de terreno forestada o reforestada capturará en un cierto periodo de tiempo. Para ello se han recogido datos de tierra (Inventario Forestal Nacional [7]), datos meteorológicos [8] e imágenes satelitales [27] con los que se han entrenado varios modelos para intentar predecir el carbono capturado por las parcelas **presenten** **presentes** en las iteraciones 2 y 3 del Inventario Forestal Nacional, comparando el resultado con la última de las iteraciones, la 4. Las predicciones se hicieron para dos configuraciones distintas: usando como datos explicativos únicamente los del inventario 2 y usando como datos explicativos los de los inventarios 3 y 4. A su vez, para cada caso se realizó la predicción de dos variables objetivo: la predicción del carbono en toneladas por hectárea (tC/ha) y la predicción del carbono en toneladas (tC). Los resultados para los mejores **modelo** **modelos** en cada caso están recogidos en la Tabla ??.

Con estos resultados podemos afirmar que disponemos de datos suficientes y de suficiente calidad para entrenar modelos capaces de predecir el carbono capturado con un error aceptable.



## **11. Recomendaciones para Futuras Investigaciones**

A partir de los resultados obtenidos y de las limitaciones identificadas durante el desarrollo de este trabajo, se proponen a continuación varias líneas de investigación que podrían contribuir a mejorar y ampliar el alcance del modelo desarrollado.

En primer lugar, sería recomendable ampliar y diversificar la base de datos empleada. La incorporación de futuras ediciones del Inventario Forestal Nacional permitiría reforzar la dimensión temporal del conjunto de entrenamiento y evaluar con mayor detalle la estabilidad del modelo ante horizontes temporales más largos. Así mismo, la extensión del estudio a otras regiones bioclimáticas, tanto dentro como fuera del ámbito nacional, permitiría analizar la capacidad de generalización del modelo y su adaptabilidad a contextos ecológicos distintos.

En relación con las variables explicativas, futuras investigaciones podrían explorar la inclusión de nuevas fuentes de información, como datos de teledetección de mayor resolución espacial o temporal (por ejemplo, LIDAR aéreo o satelital). Del mismo modo, la incorporación explícita de variables relacionadas con perturbaciones (incendios, plagas, siembras, talas...) podría mejorar la capacidad del modelo para capturar dinámicas no lineales en la acumulación de carbono.

Desde el punto de vista metodológico, sería de interés evaluar arquitecturas de aprendizaje más avanzadas, como modelos de deep learning especializados en series temporales o enfoques híbridos que combinen modelos mecanicistas de crecimiento forestal con técnicas de aprendizaje automático. Así mismo, el análisis sistemático de la incertidumbre asociada a las predicciones, por ejemplo, mediante enfoques bayesianos o técnicas de quantile regression, permitiría proporcionar intervalos de confianza, un aspecto especialmente relevante para aplicaciones vinculadas a la certificación de créditos de carbono.

Otra línea de trabajo prometedora consiste en profundizar en la interpretabilidad de los modelos. El uso de técnicas explicativas avanzadas podría facilitar una comprensión más detallada del papel de cada variable en la predicción final, reforzando la confianza de técnicos y gestores en el uso del modelo y favoreciendo su adopción en contextos operativos.

Por último, desde una perspectiva aplicada, sería recomendable desarrollar herramientas que faciliten la transferencia del modelo a usuarios finales. Esto podría materializarse en una interfaz gráfica o plataforma web que per-

mita introducir escenarios de plantación y obtener estimaciones de captura de carbono de forma directa. En este contexto, también podría explorarse la integración del modelo con sistemas de registro y trazabilidad, como tecnologías de blockchain, para apoyar la gestión y certificación de créditos de carbono de manera transparente y verificable.

En conjunto, estas líneas de investigación futura permitirían consolidar y ampliar el impacto del modelo propuesto, reforzando su utilidad científica, técnica y aplicada en el ámbito de la gestión forestal y la mitigación del cambio climático.



## Agradecimientos

Investigación financiada por la subvención **TSI-100933-2023-1** de la Convocatoria de Cátedras Universidad-Empresa (Cátedras ENIA 2022), Ministerio de Transformación Digital y Función Pública de España, y el Plan de Recuperación y Resiliencia de la UE (*NextGenerationEU/PRTR*).



## Referencias

- [1] Intergovernmental Panel on Climate Change. *Climate Change 2007: Mitigation of Climate Change*. Cambridge, UK: Cambridge University Press, 2007.
- [2] United Nations Framework Convention on Climate Change. *The Kyoto Protocol*. 1997. URL: <https://unfccc.int/resource/docs/convkp/kpeng.pdf>.
- [3] United Nations Framework Convention on Climate Change. *Paris Agreement*. 2015. URL: <https://unfccc.int/process-and-meetings/the-paris-agreement/the-paris-agreement>.
- [4] United Nations Framework Convention on Climate Change. *Decision 16/CMP.1: Land use, land-use change and forestry*. Conference of the Parties serving as the meeting of the Parties to the Kyoto Protocol. Acuerdos de Marrakech. 2005. URL: <https://unfccc.int/resource/docs/2005/cmp1/eng/08a03.pdf>.
- [5] United Nations Framework Convention on Climate Change. *Report of the individual review of the initial report of Spain under the Kyoto Protocol*. UNFCCC Secretariat. Incluye la definición nacional de bosque de España: 1 ha, 20% de cabida cubierta, 3 m de altura. 2010. URL: [https://unfccc.int/files/kyoto\\_protocol/compliance/plenary/application/pdf/cc-ert-irr-2007-14\\_report\\_of\\_the\\_review\\_of\\_ir\\_of\\_spain.pdf](https://unfccc.int/files/kyoto_protocol/compliance/plenary/application/pdf/cc-ert-irr-2007-14_report_of_the_review_of_ir_of_spain.pdf).
- [6] European Union. *Regulation (EU) 2018/841 on the inclusion of greenhouse gas emissions and removals from land use, land use change and forestry*. Official Journal of the European Union. Marco LULUCF y principios de permanencia y contabilidad de sumideros. 2018. URL: <https://eur-lex.europa.eu/legal-content/EN/TXT/?uri=CELEX:32018R0841>.
- [7] MITECO. *Inventario Forestal Nacional (IFN2, IFN3, IFN4): metodología y bases de datos*. Ministerio para la Transición Ecológica y el Reto Demográfico (España). 2023. URL: <https://www.miteco.gob.es/es/biodiversidad/servicios/banco-datos-naturaleza/informacion-disponible/ifn.aspx>.

- [8] Joaquín Muñoz-Sabater, Emanuel Dutra, Anna Agustí-Panareda, Clément Albergel, Giorgio Arduini, Gianpaolo Balsamo et al. “ERA5-Land: A state-of-the-art global reanalysis at land surfaces”. En: *EGU General Assembly / ECMWF (Copernicus Climate Data Store)* (2021). DOI: [10.24381/cds.e2161bac](https://doi.org/10.24381/cds.e2161bac). URL: <https://doi.org/10.24381/cds.e2161bac>.
- [9] USGS. *Landsat Collection 2 Level-2 Science Products: Surface Reflectance*. U.S. Geological Survey. 2021. URL: <https://www.usgs.gov/landsat-missions/landsat-collection-2-level-2-science-products>.
- [10] Maider Araceli Urbón Jiménez, Jaime Gabriel Vegas, Ana de Luis Reboredo y Belén Pérez Lancho. “GreenWest-DB: Base de datos integrada de atributos forestales, climáticos y espectrales para España”. Manuscrito en preparación. Universidad de Salamanca, Grupo BISITE. 2025.
- [11] Cris Brack. *History of Inventory*. Accessed: 2026-01-22. 2000. URL: <https://fennerschool-associated.anu.edu.au/mensuration/history.htm>.
- [12] Lei Shi y Shirong Liu. “Methods of estimating forest biomass: A review”. En: *Biomass Volume Estimation and Valorization for Energy* 10 (2017), pág. 65733.
- [13] Yuxin Shang, Yutong Xia, Xiaodie Ran, Xiao Zheng, Hui Ding y Yanming Fang. “Allometric Equations for Aboveground Biomass Estimation in Natural Forest Trees: Generalized or Species-Specific?” En: *Diversity* 17.7 (2025), pág. 493.
- [14] Lianghua Qi, Xijun Liu, Zehui Jiang, Xianghua Yue, Zhandong Li, Jinhe Fu, Guanglu Liu, Baohua Guo y Lei Shi. “Combining diameter-distribution function with allometric equation in biomass estimates: a case study of Phyllostachys edulis forests in South Anhui, China”. En: *Agroforestry Systems* 90.6 (2016), págs. 1113-1121.
- [15] Justin Nyakudanga. *The Treemes story*. SA Forestry Online. URL: <https://saforestryonline.co.za/articles/the-treemes-story/> (visitado 21-01-2026).

- [16] Anita Kristiansen. *The terrestrial laser scanning revolution in forest ecology*. Royal Society Blog. Feb. de 2018. URL: <https://royalsociety.org/blog/2018/02/the-terrestrial-laser-scanning-revolution-in-forest-ecology/> (visitado 22-01-2026).
- [17] OpenTopography. *What is Lidar?* URL: [https://opentopography.org/lidar\\_basics](https://opentopography.org/lidar_basics) (visitado 22-01-2026).
- [18] Scott J. Goetz, Alessandro Baccini, Nadine T. Laporte, Tanya Johns, Walter Walker, Josef Kellndorfer, Richard A. Houghton y M. Sun. “Mapping and monitoring carbon stocks with satellite observations: a comparison of methods”. En: *Carbon Balance and Management* 4.2 (2009), pág. 2. DOI: [10.1186/1750-0680-4-2](https://doi.org/10.1186/1750-0680-4-2). URL: <https://doi.org/10.1186/1750-0680-4-2>.
- [19] Jintong Ren, Lizhi Liu, You Wu, Lijian Ouyang y Zhenyu Yu. “Estimating Forest Carbon Stock Using Enhanced ResNet and Sentinel-2 Imagery”. En: *Forests* 16.7 (2025). Submission received: 13 June 2025 / Revised: 15 July 2025 / Accepted: 18 July 2025 / Published: 20 July 2025, pág. 1198. DOI: [10.3390/f16071198](https://doi.org/10.3390/f16071198). URL: <https://doi.org/10.3390/f16071198>.
- [20] Fugen Jiang, Muli Deng, Jie Tang, Liyong Fu y Hua Sun. “Integrating spaceborne LiDAR and Sentinel-2 images to estimate forest aboveground biomass in Northern China”. En: *Carbon Balance and Management* 17 (2022), pág. 12. DOI: [10.1186/s13021-022-00212-y](https://doi.org/10.1186/s13021-022-00212-y).
- [21] Gyri Reiersen, David Dao, Björn Lütjens, Konstantin Klemmer, Kenza Amara, Attila Steinegger, Ce Zhang y Xiaoxiang Zhu. “Reforestree: A dataset for estimating tropical forest carbon stock with deep learning and aerial imagery”. En: *arXiv preprint arXiv:2201.11192* (2022). URL: <https://arxiv.org/abs/2201.11192>.
- [22] Wenquan Dong, Edward T.A. Mitchard, Hao Yu, Steven Hancock y Casey M. Ryan. “Forest aboveground biomass estimation using GEDI and earth observation data through attention-based deep learning”. En: *arXiv preprint arXiv:2311.03067* (2023). URL: <https://arxiv.org/abs/2311.03067>.
- [23] Ministerio para la Transición Ecológica y el Reto Demográfico. *INSTRUCCIONES DE USO DE LA CALCULADORA DE ABSORCIONES DE CO<sub>2</sub> EX ANTE DE LAS ESPECIES FORESTALES ARBOREAS ESPAÑOLAS DEL MINISTERIO PARA LA TRANSICIÓN*

- ECOLÓGICA Y EL RETO DEMOGRÁFICO.* Accedido: 2025-07-16. 2023. URL: [https://www.miteco.gob.es/content/dam/miteco/es/cambio-climatico/temas/mitigacion-politicas-y-medidas/instruccionescalculadoraabexante\\_tcm30-485629.pdf](https://www.miteco.gob.es/content/dam/miteco/es/cambio-climatico/temas/mitigacion-politicas-y-medidas/instruccionescalculadoraabexante_tcm30-485629.pdf).
- [24] Mehdi Fasihi, Beatrice Portelli, Luca Cadez, Antonio Tomao, Alex Falcon, Giorgio Alberti y Giuseppe Serra. “Assessing ensemble models for carbon sequestration and storage estimation in forests using remote sensing data”. En: *Ecological Informatics* 83 (2024), pág. 102828.
- [25] J. Muñoz Sabater. *ERA5-Land hourly data from 1950 to present*. Copernicus Climate Change Service (C3S) Climate Data Store (CDS). Accedido: 07-07-2025. 2019. DOI: [10.24381/cds.e2161bac](https://doi.org/10.24381/cds.e2161bac). URL: <https://cds.climate.copernicus.eu/cdsapp#!/dataset/reanalysis-era5-land?tab=overview>.
- [26] P. Berg, C. Photiadou, L. Simonsson, E. Sjokvist, J. Thuresson y R. Mook. *Temperature and precipitation climate impact indicators from 1970 to 2100 derived from European climate projections*. Copernicus Climate Change Service (C3S) Climate Data Store (CDS). Accedido: 07-07-2025. 2021. DOI: [10.24381/cds.9eed87d5](https://doi.org/10.24381/cds.9eed87d5). URL: <https://cds.climate.copernicus.eu/cdsapp#!/dataset/sis-water-quantity-change?tab=overview>.
- [27] USGS. *USGS Landsat 5 Level 2, Collection 2, Tier 1*. Accedido: 2025-07-08. 2025. URL: [https://developers.google.com/earth-engine/datasets/catalog/LANDSAT\\_LT05\\_C02\\_T1\\_L2](https://developers.google.com/earth-engine/datasets/catalog/LANDSAT_LT05_C02_T1_L2).
- [28] Intergovernmental Panel on Climate Change. *2006 IPCC Guidelines for National Greenhouse Gas Inventories*. Geneva, Switzerland: IPCC, 2006.
- [29] Jérôme Chave, Maxime Réjou-Méchain, Alberto Búrquez, Emmanuel Chidumayo, Matthew S. Colgan, Wellington B. C. Delitti, Alvaro Duque, Tron Eid, Philip M. Fearnside, Rosa C. Goodman, Mark Henry, Angelina Martínez-Yrízar, Wilson A. Mugasha, Helene C. Muller-Landau, Maurizio Mencuccini, Brian W. Nelson, Alfred Ngomanda, Eurípedes M. Nogueira, Edgar Ortiz-Malavassi, Raphaël Pélissier, Pierre Ploton, Casey M. Ryan, Juan G. Saldarriaga y Ghislain Vieilledent. “Improved allometric models to estimate the aboveground biomass of tropical trees”. En: *Global Change Biology* 20.10 (2014), págs. 3177-3190. DOI: [10.1111/gcb.12629](https://doi.org/10.1111/gcb.12629).

- [30] Ministerio para la Transición Ecológica y el Reto Demográfico (MITECO). *Guía para la estimación de absorciones de dióxido de carbono*. 2021. URL: [https://www.miteco.gob.es/content/dam/miteco/es/cambio-climatico/temas/mitigacion-politicas-y-medidas/guiapa\\_tcm30-479094.pdf](https://www.miteco.gob.es/content/dam/miteco/es/cambio-climatico/temas/mitigacion-politicas-y-medidas/guiapa_tcm30-479094.pdf).
- [31] Gregorio Montero Ricardo Ruiz-Peinado y M. Muñoz. *Producción de biomasa y fijación de CO<sub>2</sub> por los bosques españoles*. Serie Forestal, 23. Madrid, España: Instituto Nacional de Investigación y Tecnología Agraria y Alimentaria (INIA), 2009.
- [32] Miguel del Río y Gregorio Montero Ricardo Ruiz-Peinado. “New models for estimating the carbon sink capacity of Spanish softwood species”. En: *Forest Systems* 20.1 (2011), págs. 176-188. DOI: 10.5424/fs/2011201-11643. URL: <https://doi.org/10.5424/fs/2011201-11643>.
- [33] Ministerio para la Transición Ecológica y el Reto Demográfico (MITECO). *Manual de campo y base de datos del Cuarto Inventario Forestal Nacional (IFN4)*. Subdirección General de Política Forestal y Lucha contra la Desertificación. Madrid, España, 2017. URL: [https://www.miteco.gob.es/es/biodiversidad/temas/inventarios-nacionales/inventario-forestal-nacional/cuarto\\_inventario.html](https://www.miteco.gob.es/es/biodiversidad/temas/inventarios-nacionales/inventario-forestal-nacional/cuarto_inventario.html).

## Apéndice A. Apéndices

### Apéndice A.1. Origen y cálculo de las variables *ca* y *cr*

Las variables *ca* (carbono arbóreo) y *cr* (carbono radical) incluidas en la base de datos del *Inventario Forestal Nacional* (IFN4) derivan de las ecuaciones alo-métricas de biomasa desarrolladas por el *Instituto Nacional de Investigación y Tecnología Agraria y Alimentaria* (INIA), en particular por *Gregorio Montero y Ricardo Ruiz-Peinado* [31, 32]. Estas ecuaciones fueron elaboradas a partir de datos de campo obtenidos mediante talas y pesadas directas de árboles de distintas especies representativas de la flora forestal española.

Cada ecuación estima la biomasa seca (en kilogramos) de los diferentes componentes del árbol en función del diámetro normal (*D*, en cm, medido a 1,3 m del suelo) y la altura total (*H*, en m). Para cada especie o grupo de especies similares se dispone de ecuaciones específicas de la forma:

$$W_i = a_i \cdot D^{b_i} \cdot H^{c_i}$$

donde  $W_i$  representa la biomasa del componente  $i$  (fuste, corteza, ramas, hojas, raíces, etc.), y  $a_i$ ,  $b_i$  y  $c_i$  son coeficientes empíricos obtenidos mediante regresión no lineal. En los casos en que una especie no dispone de ecuación propia, se utiliza la de otra especie considerada análoga por similitud morfológica o ecológica.

Los componentes de biomasa definidos en el IFN4 incluyen [33]:

- $W_s$ : biomasa del fuste (kg),
- $W_c$ : biomasa de la corteza del fuste (kg),
- $W_{b7}$ : biomasa de ramas mayores de 7 cm de diámetro (kg),
- $W_{b2-7}$ : biomasa de ramas entre 2 y 7 cm de diámetro (kg),
- $W_{b0,5-2}$ : biomasa de ramas entre 0,5 y 2 cm de diámetro (kg),
- $W_t$ : biomasa de ramas menores de 0,5 cm de diámetro (kg),
- $W_h$ : biomasa de hojas (kg),
- $W_{db}$ : biomasa de ramas muertas (kg),
- $W_T = W_s + W_c + W_{b7} + W_{b2-7} + W_{b0,5-2} + W_t + W_h$ : biomasa aérea total (kg),
- $W_r$ : biomasa radical (raíces, kg).

A partir de estas ecuaciones, el cálculo de biomasa y carbono en el IFN4 se realiza de la siguiente forma:

1. **Biomasa por árbol (kg):** en la tabla `Mayores_exs` se incluyen las medidas de diámetro y altura de cada pie. Aplicando las ecuaciones alométricas correspondientes se obtiene la biomasa aérea ( $W_T$ ) y radical ( $W_r$ ) para cada árbol.
2. **Conversión a carbono (kg):** se aplica un factor de conversión estándar de 0,5, según las directrices del IPCC [28], de forma que:

$$CA = 0,5 \times W_T, \quad CR = 0,5 \times W_r$$

3. **Expansión a valores por hectárea (t/ha):** los valores por árbol se convierten a toneladas por hectárea mediante un *factor de expansión* ( $Fac$ ), que refleja la densidad de árboles por unidad de superficie dentro de cada clase diamétrica y especie. Este factor se calcula en función del número de pies inventariados y la superficie de muestreo, permitiendo expresar los resultados en términos comparables de biomasa o carbono por hectárea.
4. **Agregación por clases diamétricas y especie:** finalmente, en la tabla `Parcelas_exs` se agrupan los valores por parcela, especie y clase diamétrica (CD), sumando las contribuciones individuales ya expandidas. El resultado son los valores medios de biomasa y carbono por hectárea ( $t/ha$ ) para cada combinación de parcela y especie.

El mismo procedimiento se aplica tanto a la biomasa aérea (para obtener `ca`) como a la biomasa radical (para `cr`). De esta forma, `ca` Y `cr` representan el

**carbono almacenado en la biomasa viva, aérea y subterránea respectivamente, expresado en toneladas de carbono por hectárea (t/ha).**

Este enfoque metodológico se ajusta a las recomendaciones del *IPCC Guidelines for National Greenhouse Gas Inventories* [28], garantizando la coherencia con los métodos de reporte de carbono a nivel internacional y facilitando la comparación de los resultados con otros estudios y marcos regulatorios.

#### *Apéndice A.2. Estado de las Poblaciones (estado\_id)*

Se **determinará** las fases de desarrollo de las *poblaciones* codificándose de la siguiente forma:

1. **Re poblado.** Conjunto de pies que desde el estrato herbáceo llega hasta el subarbustivo y los pies inician la tangencia de copas.
2. **Monte bravo.** Comprende desde el estrato y clase de edad anterior hasta el momento en que por efecto del crecimiento, los pies empiezan a perder las ramas inferiores; es decir que en esta clase de edad, las ramas se encuentran a lo largo de todo el fuste.
3. **Latizal.** Comprende desde la clase anterior hasta que los pies tienen 20 cm de diámetro normal; es decir, el diámetro de su fuste, medido a la altura de 1,30 m del suelo.
4. **Fustal.** Se caracteriza esta clase de edad, porque sus pies tienen diámetros normales superiores a 20 cm.

#### *Apéndice A.3. Forma Principal de Masa (IFN3 e IFN4: fpmasa\_id)*

1. **Coetánea.** Cuando al menos el 90 % de sus pies tienen la misma edad individual. Ejemplo típico: las repoblaciones.
2. **Regular.** Cuando al menos el 90 % de sus pies pertenecen a la misma clase artificial de edad o misma clase diamétrica en su defecto.
3. **Semirregular.** Cuando al menos el 90 % de sus pies pertenecen a dos clases artificiales de edad cíclicamente contiguas o dos clases diamétricas contiguas en su defecto.
4. **Irregular.** Cuando no se cumplen las condiciones anteriores, es decir, cuando en cualquier parte de la masa existen pies más o menos mezclados, de todas las clases de edad que tiene la masa o de varias clases diamétricas en su defecto.

#### *Apéndice A.4. Tratamiento de la Masa (IFN3 e IFN4: tratmasa\_id)*

1. **Monte alto.** Cuando todos los pies proceden de semilla.
2. **Monte medio.** Cuando coexisten pies de la misma especie, unos procedentes de semilla (brinzales) y otros de brote (chirpiales).
3. **Monte bajo.** Cuando todos los pies proceden de brote de cepa o de raíz.

*Apéndice A.5. Origen de la Masa (IFN3 e IFN4: orgmasa\_id)*

1. **Natural.** Bosque desarrollado espontáneamente, sin intervención humana directa.
2. **Artificial.** Plantado intencionadamente por el ser humano.
3. **Naturalizado.** Bosque originalmente plantado pero que ha evolucionado hacia una estructura más similar a un bosque natural.

*Apéndice A.6. Tipo de Suelo (tipsuelo1\_id, tipsuelo2\_id, tipsuelo3\_id)*

Se utilizará la siguiente codificación para el tipo de suelo, diferenciando tres variables:

**Tipo de suelo (I): Presencia de sales, yesos o hidromorfía**

1. **No se observan sales, yesos ni procesos de hidromorfía**.
2. **Suelo salino.** Si presenta al menos dos de las siguientes características:
  - Presencia de eflorescencias en la superficie o a distintas profundidades.
  - Existencia de plantas halófitas.
  - Zonas llanas o endorreicas con climas secos que provocan gran evaporación.
3. **Suelo yesífero.** Si presenta alguna de las siguientes características:
  - Presencia de materia yesífera en superficie o a distintas profundidades.
  - Existencia de plantas gipsófilas.
4. **Suelo hidromorfo.** Si el suelo presenta síntomas de hidromorfía acusada, cumpliendo al menos dos de las siguientes:
  - Zona encharcada permanente o casi permanentemente de forma natural.
  - Zona llana o endorreica con climas húmedos.
  - Grietas en verano si no hay encharcamiento.
  - Presencia de vegetación indicadora de hidromorfismo.

**Identificándose** Identificándose las siguientes:

- Formaciones vegetales indicadoras de hidromorfía:
  - Ribereñas: *saucedas, mimbreras, alisedas*.
  - Brezales con *Erica ciliaris, Erica tetralix*.
  - Turberas arboladas (excepto Cornisa Cantábrica y Pirineos).
  - Turberas de montaña con *Sphagnum, Erica tetralix*.
  - Cervunales con *Nardus stricta*.
  - Carrizales y espadañares (*Phragmites, Tipha, Cladium*).
  - Juncales (*Scirpus, Juncus*).

- Pastizales con cálices (*Carex spp.*).
- Marismas.
- Formaciones vegetales gipsófilas:
  - Aznallar: matorral de *Ononis tridentata*.
  - Tomillares gipsófilos con:
    - *Lepidium subulatum*
    - *Gypsophila spp.*
    - *Matthiola fruticulosa*
- Formaciones vegetales indicadoras de suelos salinos:
  - Salicorniales: matas leñosas crasas (Salicornia, Arthrocnemum, Halozy-lon).
  - Bosques halófitos del género *Tamarix*.
  - Saladar o sosar: predominio de *Suaeda vera*.
  - Saladar blanco: predominio de *Atriplex halimus*.

#### **Tipo de suelo (II y III): Composición del suelo (calizo o silíceo)**

1. **Suelo calizo.** Más del 50 % de la vertical del perfil da efervescencia con ácido clorhídrico.
  - **Moderadamente básico:** pH en superficie  $\leq 8.5$ .
  - **Fuertemente básico:** pH en superficie  $> 8.5$ .
2. **Suelo silíceo.** Menos del 50 % de la vertical del perfil da efervescencia.
  - **Moderadamente ácido:** pH  $\geq 5.5$ .
  - **Fuertemente ácido:** pH  $< 5.5$ .

#### *Apéndice A.7. Rocosidad (rocosidad\_id)*

Se considerará el conjunto de la parcela clasificando la rocosidad según la siguiente codificación:

1. **Sin pedregosidad:** la superficie de la parcela está completamente cubierta de vegetación.
2. **Poco pedregoso:** cuando la superficie de la parcela cubierta por rocas coherentes es menor del 25 %.
3. **Pedregoso:** cuando la superficie rocosa está comprendida entre el 25 % y el 50 %.
4. **Muy pedregoso:** cuando la superficie rocosa se sitúa entre el 50 % y el 75 %.
5. **Roquedo:** cuando la superficie de rocas es mayor del 75 %. En este caso, no se tomará ningún dato adicional correspondiente a suelos.

#### *Apéndice A.8. Textura del Suelo (*textura\_id*)*

Se clasificará en función de la siguiente codificación:

1. **Suelo arenoso.** Si los cilindros se deshacen sin apenas formarse.
2. **Suelo franco.** Es posible hacer cilindros gruesos pero no delgados.
3. **Suelo arcilloso.** Se consiguen cilindros de unos 5 mm de diámetro.

#### *Apéndice A.9. Contenido en Materia Orgánica (IFN3 e IFN4: *matorg\_id*)*

Según la siguiente clasificación:

1. **Suelo muy humífero.** Cuando a 15 cm la pureza es menor de 4, o cuando la capa de broza sea de espesor mayor de 5 cm y a 15 cm de profundidad la pureza sea menor de 6.
2. **Suelo moderadamente humífero.** Cuando a 15 cm la pureza sea menor de 6 con capa de broza nula o de escaso espesor, o cuando dicha capa tenga espesor mayor de 5 cm y a 15 cm de profundidad la pureza sea igual o mayor de 6.
3. **Suelo poco humífero.** En los restantes casos.

#### *Apéndice A.10. Modelo de Combustible (IFN3 e IFN4: *modcomb\_id*)*

Se determinará la clase de combustible que es más probable que propague el fuego si hubiese un incendio en la zona, hasta un máximo de 60m: pasto, matorral, hojarasca de bosque o deshechos o restos de corta. Se determinará el modelo de combustible a partir de la siguiente clave:

**Tabla A.1.** Descripción de los modelos de combustible del Inventario Forestal Nacional, clasificados por grupo funcional.

GRUPO	MOD.	DESCRIPCIÓN DEL MODELO
Pastos	1	Pasto fino, seco y bajo, que recubre completamente el suelo. Puede aparecer algunas plantas leñosas dispersas ocupando menos de 1/3 de la superficie.
	2	Pasto fino, seco y bajo, que recubre completamente el suelo. Las plantas leñosas dispersas cubren de 1/3 a 2/3 de la superficie; pero la propagación del fuego se realiza por el pasto.
	3	Pasto grueso, denso, seco y alto (>1 m). Puede haber algunas plantas leñosas dispersas. Los campos de cereales son representativos de este modelo.

*Continúa en la siguiente página*

GRUPO	MOD.	DESCRIPCIÓN DEL MODELO
Matorral	4	Matorral o plantación joven muy densa; de más de 2 m de altura; con ramas muertas en su interior. Propagación del fuego por las copas de las plantas.
	5	Matorral disperso, denso y verde, de menos de 1 m de altura. Propagación del fuego por la hojarasca, el pasto, las ramillas y el matorral.
	6	Parecido al modelo 5, pero con especies más inflamables, de mayor talla, pudiéndose encontrar ramas gruesas en el suelo. Propagación del fuego con vientos moderados a fuertes.
	7	Matorral de especies muy inflamables; de 0.5 a 2 m de altura, situado como sotobosque en masas de coníferas.
Hojarasca bajo arbolado	8	Bosque denso, sin matorral. Propagación del fuego por la hojarasca muy compacta, formada por acículas cortas (5 cm o menos) o por hojas planas no muy grandes.
	9	Parecido al modelo 8, pero con hojarasca menos compacta, formada por acículas largas y rígidas ( <i>P. pinaster</i> ) o follaje de frondosas de hoja grande, caducas (castaño o robles).
	10	Bosque con gran cantidad de leña y árboles caídos, como consecuencia de vendavales, plagas intensas, etc.
Restos de corte y operaciones selvícolas	11	Bosque claro y fuertemente aclarado. Restos de poda o aclarado ligeros (diámetro <7.5 cm).
	12	Predominio de los restos sobre el arbolado. La hojarasca y el matorral presente ayudarán a la propagación del fuego.
	13	Grandes acumulaciones de restos gruesos y pesados, cubriendo todo el suelo.

#### *Apéndice A.11. Distribución Espacial (*disesp\_id*)*

La disposición de la vegetación en el espacio se clasificará según la siguiente codificación:

1. **Uniforme.** Cuando el estrato arbóreo presenta continuidad en el espacio.
2. **Diseminada en bosquetes aislados.** Cuando la masa arbórea se encuentra dividida en porciones que tienen una superficie inferior a 0,5 ha.
3. **Diseminada en individuos aislados.** Cuando se trata de dehesas.
9. **Otras o no se sabe.** En caso diferente a los anteriores o si se desconoce el dato exacto.

#### *Apéndice A.12. Composición Específica (comesp\_id)*

En función de las especies presentes:

1. **Masas homogéneas o puras.** Masas monoespecíficas con una única especie arbórea. La normativa española precisa que una masa es monoespecífica o pura cuando al menos el 90 % de los pies pertenecen a la misma especie.
2. **Masas heterogéneas o mezcladas pie a pie.** Masas de diferentes especies que se juntan o bien se entremezclan por golpes o grupos, siempre que tengan una altura similar.
3. **Masas heterogéneas o mezcladas con subpiso.** Las dos o más especies mezcladas, cuando alcancen el estado adulto y la estabilidad, presentarán alturas diferentes.
9. **Otras o no se sabe.** En caso diferente a los anteriores o desconocer el dato exacto.

#### *Apéndice A.13. Manifestaciones Erosivas (merosiva\_id)*

Se observará la parcela y sus alrededores hasta una distancia de 60 metros desde el centro, y se codificará la existencia de manifestaciones erosivas según la siguiente clave:

1. **No hay ninguna manifestación.**
2. **Cuellos de raíces al descubierto:** los cuellos de las raíces están visibles, con acumulación de residuos aguas arriba de los tallos y obstáculos, así como abundancia superficial de piedras.
3. **Presencia de regueros:** canales paralelos de erosión con una profundidad máxima de un palmo (aproximadamente 20 cm).
4. **Cárcavas y barrancos en V:** erosión lineal más profunda que los regueros, con forma de "V".
5. **Cárcavas y barrancos en U:** erosión avanzada con formas suavizadas y amplias en "U".
6. **Deslizamientos del terreno:** desplazamientos de masas de tierra, ladera o materiales del suelo.

#### *Apéndice A.14. Nivel de usos del suelo (IFN3 e IFN4: nivel1\_id)*

1. **Monte.** Toda superficie en la que vegetan especies arbóreas, arbustivas, de matorral o herbáceas, ya sea espontáneamente o procedan de siembra o plantación, siempre que no sean características de cultivo agrícola o fueran objeto del mismo.

2. **Agrícola.** Territorio o ecosistema poblado con siembras o plantaciones de herbáceas y/o leñosas, anuales o plurianuales que se laborea con una fuerte intervención humana, puede estar poblado por especies forestales de fruto (flor, hojas o en el futuro biomasa) siempre que la intervención humana sea importante. Incluye las dehesas, montes huecos o montes adehesados de base cultivo, siempre que la fracción de cabida cubierta de los árboles sea inferior al 5 %.
3. **Artificial.** Territorio o ecosistemas dominado por edificios, parques urbanos (aunque estén poblados de árboles), viveros fuera de los montes (aunque sean de especies forestales), carreteras (salvo las vías de servicio de los montes) u otras construcciones humanas que tengan superficies continuas.
4. **Humedal.** Lo constituyen las lagunas, charcas, zonas húmedas, marismas y corrientes discontinuas de agua en las que, al menos durante 6 meses del año, esté presente dicho líquido.
5. **Agua.** Es la parte de la tierra constituida por ríos, lagos, embalses, canales o estanques con superficies continuas de más de 0.26 ha y con agua prácticamente todo el año.

*Apéndice A.15. Nivel morfoestructural (IFN3 e IFN4: nivel2\_id)*

Para el nivel de usos del suelo Monte se definirán los siguientes niveles morfoestructurales.

1. **Monte arbolado.** Territorio o ecosistema con especies forestales arbóreas como manifestación vegetal de estructura vertical dominante y con una fracción de cabida cubierta igual o superior al 20 %; incluye dehesas con base cultivo o pastizal con labores siempre que la fracción arbolada supere el 20 %, y excluye terrenos con fuerte intervención humana para obtener frutos, hojas, flores o varas.
2. **Monte arbolado ralo.** Terreno de uso forestal con especies arbóreas forestales dominantes y fracción de cabida cubierta entre el 10 % y 20 % (incluido el 10 %, excluido el 20 %); también aplica a terrenos con matorral o pastizal natural como dominantes, pero con presencia importante de árboles forestales, incluyendo dehesas de base de cultivo.
3. **Monte temporalmente desarbolado.** Terreno que fue monte arbolado recientemente y que casi con seguridad volverá a estar cubierto de árboles en un futuro próximo.
4. **Monte desarbolado.** Terreno con matorral y/o pastizal natural o

débil intervención humana como cobertura dominante, con fracción de cabida cubierta por árboles forestales inferior al 5 %.

5. **Monte sin vegetación superior.** Terreno de uso forestal que no está poblado por vegetales superiores debido a condiciones actuales de suelo, clima o topografía, aunque podría estarlo en otras circunstancias.
6. **Árboles fuera del monte.** Incluye riberas arboladas no estructuradas con los montes, bosquetes de menos de 2.500 m<sup>2</sup>, alineaciones de especies arbóreas o arbustivas de menos de 25 m de anchura, y árboles sueltos en terreno forestal.
7. **Monte arbolado disperso.** Terreno forestal con especies arbóreas dominantes y fracción de cabida cubierta entre el 5 % y el 10 % (incluido el 5 %, excluido el 10 %); también terrenos con matorral o pastizal como cobertura dominante pero con presencia significativa de árboles forestales, incluyendo dehesas de base cultivo.

*Apéndice A.16. Código de los grupos taxonómicos de las especies (grupo\_id)*

**Tabla A.2.** Relación de códigos de grupo taxonómico utilizados en la variable grupo\_id.

Código	Grupo taxonómico	Código	Grupo taxonómico
7	Acacia	69	Phoenix
15	Crataegus	73	Betula
19	Coníferas	77	Tilia
20	Pinos	78	Sorbus
31	Abies	79	Platanus
35	Larix	80	Laurisilva
40	Quercus	91	Buxus
53	Tamarix	93	Pistacia
57	Salix	94	Laurus
58	Populus	95	Prunus
60	Eucalyptus	99	Frondosas
65	Ilex	399	Morus
68	Arbutus	455	Fraxinus
917	Cedrus	936	Cupressus
937	Juniperus	956	Ulmus
975	Juglans	976	Acer
997	Sambucus		

*Apéndice A.17. Código de las especies (especie\_id)*

**Tabla A.3.** Relación de especies empleadas en el estudio y metadatos asociados.

Cód.	Nombre	Sinonimia	Tipo	Grupo
307	Acacia dealbata	Acacia dealbata	1	7
207	Acacia melanoxylon	Acacia melanoxylon	1	7
7	Acacia spp.	-	1	7
392	Gleditsia triacanthos	Acacia gleditsia	1	7
92	Robinia pseudoacacia	Acacia robinia	1	7
292	Sophora japonica	Acacia sofora	1	7

*Continúa en la siguiente página*

**Tabla A.3.** Relación de especies (continuación).

Cód.	Nombre	Sinonimia	Tipo	Grupo
515	<i>Crataegus azarolus</i>	Espino	1	15
415	<i>Crataegus laciniata</i>	Majoleto	1	15
315	<i>Crataegus laevigata</i>	Espino majuelo	1	15
215	<i>Crataegus monogyna</i>	Majuelo	1	15
15	<i>Crataegus</i> spp.	-	1	15
30	Mezcla de coníferas	Coníferas   excepto pinos	0	19
19	Otras coníferas	-	0	19
29	Otros pinos	-	0	20
20	Pinos	-	0	20
27	<i>Pinus canariensis</i>	-	0	20
24	<i>Pinus halepensis</i>	-	0	20
25	<i>Pinus nigra</i>	<i>Pinus laricio</i>   <i>Pinus clusiana</i>	0	20
26	<i>Pinus pinaster</i>	<i>Pinus maritima</i>	0	20
23	<i>Pinus pinea</i>	-	0	20
28	<i>Pinus radiata</i>	<i>Pinus insignis</i>	0	20
21	<i>Pinus sylvestris</i>	-	0	20
22	<i>Pinus uncinata</i>	<i>Pinus montana</i>   <i>Pinus mugo</i>	0	20
31	<i>Abies alba</i>	<i>Abies pectinata</i>	0	31
32	<i>Abies pinsapo</i>	-	0	31
235	<i>Larix decidua</i>	Alerce común	0	35
335	<i>Larix leptolepis</i>	<i>Larix kaempferi</i>   Alerce leptolepis	0	35
35	<i>Larix</i> spp.	-	0	35
435	<i>Larix x eurolepis</i>	Alerce híbrido	0	35
49	Otros quercus	-	1	40
344	<i>Quercus alpestris</i>	-	1	40
47	<i>Quercus canariensis</i>	<i>Quercus lusitanica</i> var. <i>baetica</i>	1	40
44	<i>Quercus faginea</i>	<i>Quercus lusitanica</i> var. <i>faginea</i>	1	40
45	<i>Quercus ilex</i> ssp. <i>ballota</i>	<i>Quercus rotundifolia</i>	1	40
245	<i>Quercus ilex</i> ssp. <i>ilex</i>	-	1	40
244	<i>Quercus lusitanica</i>	<i>Quercus fruticosa</i>   Quejigueta	1	40
42	<i>Quercus petraea</i>	<i>Quercus sessiliflora</i>	1	40
243	<i>Quercus pubescens</i>	<i>Quercus pubescens</i>   <i>Quercus humilis</i>	1	40
43	<i>Quercus pyrenaica</i>	<i>Quercus toza</i>	1	40
41	<i>Quercus robur</i>	<i>Quercus pedunculata</i>	1	40

Continúa en la siguiente página

**Tabla A.3.** Relación de especies (continuación).

Cód.	Nombre	Sinonimia	Tipo	Grupo
48	<i>Quercus rubra</i>	<i>Quercus borealis</i>	1	40
46	<i>Quercus suber</i>	-	1	40
253	<i>Tamarix canariensis</i>	Tarajal	1	53
53	<i>Tamarix</i> spp.	-	1	53
257	<i>Salix alba</i>	Sauce blanco	1	57
357	<i>Salix atrocinerea</i>	Bardaguera	1	57
858	<i>Salix canariensis</i>	Sauce canario	1	57
557	<i>Salix cantabrica</i>	Sauce cantábrico	1	57
657	<i>Salix caprea</i>	Sauce cabruno	1	57
757	<i>Salix elaeagnos</i>	Sarga	1	57
857	<i>Salix fragilis</i>	Mimbre	1	57
957	<i>Salix purpurea</i>	Mimbrera	1	57
57	<i>Salix</i> spp.	-	1	57
51	<i>Populus alba</i>	-	1	58
58	<i>Populus nigra</i>	-	1	58
52	<i>Populus tremula</i>	-	1	58
258	<i>Populus x canadensis</i>	<i>Populus x euroamericana</i>	1	58
62	<i>Eucalyptus camaldulensis</i>	<i>Eucalyptus rostrata</i>	1	60
61	<i>Eucalyptus globulus</i>	-	1	60
364	<i>Eucalyptus gomphoccephalus</i>	Eucalipto gonfo	1	60
64	<i>Eucalyptus nitens</i>	-	1	60
464	<i>Eucalyptus robusta</i>	-	1	60
264	<i>Eucalyptus viminalis</i>	Eucalipto viminalis	1	60
63	Otros eucaliptos	-	1	60
65	<i>Ilex aquifolium</i>	-	1	65
82	<i>Ilex canariensis</i>	-	1	65
282	<i>Ilex platyphylla</i>	Naranjero	1	65
268	<i>Arbutus canariensis</i>	Madroño canario	1	68
68	<i>Arbutus unedo</i>	-	1	68
469	<i>Phoenix canariensis</i>	Palmera	1	69
69	<i>Phoenix</i> spp.	-	1	69
273	<i>Betula alba</i>	<i>Betula verrucosa</i>   Abedul pubescens	1	73
373	<i>Betula pendula</i>	<i>Betula hispanica</i>   Abedul pén-dula	1	73

Continúa en la siguiente página

**Tabla A.3.** Relación de especies (continuación).

Cód.	Nombre	Sinonimia	Tipo	Grupo
73	Betula spp.	-	1	73
277	Tilia cordata	Tilo cordata	1	77
377	Tilia platyphyllos	Tilo común	1	77
77	Tilia spp.	-	1	77
278	Sorbus aria	Mostajo	1	78
378	Sorbus aucuparia	Serbal de cazadores	1	78
778	Sorbus chamaemespilus	Serbal chame	1	78
478	Sorbus domestica	Serbal común	1	78
678	Sorbus latifolia	Serbal de hoja ancha	1	78
78	Sorbus spp.	-	1	78
578	Sorbus torminalis	Serbal torminal	1	78
79	Platanus hispanica	Platanus hybrida	1	79
279	Platanus orientalis	Plátano oriental	1	79
80	Laurisilva	-	1	80
89	Otras laurisilvas	-	1	80
291	Buxus balearica	Boj de Baleares	1	91
91	Buxus sempervirens	-	1	91
293	Pistacia atlantica	Cornicabra canaria	1	93
93	Pistacia terebinthus	Cornicabra	1	93
294	Laurus azorica	Laurel canario	1	94
94	Laurus nobilis	Laurel	1	94
395	Prunus avium	Cerezo silvestre	1	95
495	Prunus lusitanica	Loro   hija	1	95
595	Prunus padus	Prunus	1	95
295	Prunus spinosa	Espino negro	1	95
95	Prunus spp.	Prunus	1	95
70	Mezcla de frondosas de gran porte	Frondosas de gran porte (H.t. >10 m)	1	99
90	Mezcla de pequeñas frondosas	Frondosas de pequeño porte (H.t. ≤ 10 m)	1	99
99	Otras frondosas	Otras frondosas	1	99
499	Morus alba	Morera	1	399
599	Morus nigra	Morera	1	399
399	Morus spp.	Morera	1	399
55	Fraxinus angustifolia	-	1	455
255	Fraxinus excelsior	Fresno excelsior	1	455

Continúa en la siguiente página

**Tabla A.3.** Relación de especies (continuación).

Cód.	Nombre	Sinonimia	Tipo	Grupo
355	<i>Fraxinus ornus</i>	Fresno orno	1	455
955	<i>Fraxinus</i> spp.	Fresnos	1	455
17	<i>Cedrus atlantica</i>	-	0	917
217	<i>Cedrus deodara</i>	<i>Cedrus deodara</i>	0	917
317	<i>Cedrus libani</i>	<i>Cedrus libani</i>	0	917
917	<i>Cedrus</i> spp.	<i>Cedrus</i> spp.	0	917
337	<i>Juniperus cedrus</i>	Enebro canario	0	917
236	<i>Cupressus arizonica</i>	Ciprés arizónica	0	936
336	<i>Cupressus lusitanica</i>	Ciprés lambertiana	0	936
436	<i>Cupressus macrocarpa</i>	Ciprés americano	0	936
36	<i>Cupressus sempervirens</i>	-	0	936
936	<i>Cupressus</i> spp.	Cipres	0	936
37	<i>Juniperus communis</i>	-	0	937
237	<i>Juniperus oxycedrus</i>	Enebro oxicedro	0	937
39	<i>Juniperus phoenicea</i>	-	0	937
239	<i>Juniperus sabina</i>	Sabina rastrera	0	937
937	<i>Juniperus</i> spp.	Enebros y sabinas	0	937
38	<i>Juniperus thurifera</i>	-	0	937
238	<i>Juniperus turbinata</i>	Sabina canaria	0	937
256	<i>Ulmus glabra</i>	<i>Ulmus montana</i>	1	956
56	<i>Ulmus minor</i>	<i>Ulmus campestris</i>	1	956
356	<i>Ulmus pumila</i>	Olmo pumilo	1	956
956	<i>Ulmus</i> spp.	Olmo	1	956
275	<i>Juglans nigra</i>	Nogal	1	975
75	<i>Juglans regia</i>	-	1	975
975	<i>Juglans</i> spp.	-	1	975
76	<i>Acer campestre</i>	-	1	976
276	<i>Acer monspessulanum</i>	Arce de Montpelier	1	976
376	<i>Acer negundo</i>	Negundo <i>fraxinifolia</i>   Arce ne-gundo	1	976
476	<i>Acer opalus</i>	Arce ópalus	1	976
676	<i>Acer platanoides</i>	Arce platanoide	1	976
576	<i>Acer pseudoplatanus</i>	Arce seudoplátano	1	976
976	<i>Acer</i> spp.	Arces	1	976
97	<i>Sambucus nigra</i>	Saúco negro	1	997

Continúa en la siguiente página

**Tabla A.3.** Relación de especies (continuación).

Cód.	Nombre	Sinonimia	Tipo	Grupo
297	<i>Sambucus racemosa</i>	Saúco racemosa	1	997
997	<i>Sambucus</i> spp.	-	1	997
11	<i>Ailanthus altissima</i>	<i>Ailanthus glandulosa</i>	1	-
54	<i>Alnus glutinosa</i>	-	1	-
2	<i>Amelanchier ovalis</i>	Guillomo	1	-
88	<i>Apollonias barbujana</i>	<i>Apollonias canariensis</i>	1	-
98	<i>Carpinus betulus</i>	Carpe	1	-
72	<i>Castanea sativa</i>	<i>Castanea vesca</i>	1	-
13	<i>Celtis australis</i>	-	1	-
67	<i>Ceratonia siliqua</i>	-	1	-
18	<i>Chamaecyparis lawsoniana</i>	-	0	-
369	<i>Chamaerops humilis</i>	Palmito	1	-
9	<i>Cornus sanguinea</i>	-	1	-
74	<i>Corylus avellana</i>	-	1	-
569	<i>Dracaena draco</i>	Drago	1	-
83	<i>Erica arborea</i>	-	1	-
283	<i>Erica scoparia</i>	Tejo   brezo arbóreo escopario	1	-
5	<i>Euonymus europaeus</i>	-	1	-
71	<i>Fagus sylvatica</i>	-	1	-
299	<i>Ficus carica</i>	Higuera	1	-
3	<i>Frangula alnus</i>	<i>Rhamnus frangula</i>	1	-
1	<i>Heberdenia bahamensis</i>	<i>Heberdenia excelsa</i>	1	-
12	<i>Malus sylvestris</i>	-	1	-
60	Mezcla de eucaliptos	Eucaliptos	1	-
50	Mezcla de árboles de ribera	Árboles ripícolas	1	-
81	<i>Myrica faya</i>	-	1	-
281	<i>Myrica rivasmartinezii</i>	-	1	-
6	<i>Myrtus communis</i>	-	1	-
87	<i>Ocotea phoetens</i>	-	1	-
66	<i>Olea europaea</i>	<i>Olea oleaster</i>	1	-
59	Otros árboles ripícolas	-	1	-
84	<i>Persea indica</i>	-	1	-
8	<i>Phillyrea latifolia</i>	-	1	-
86	<i>Picconia excelsa</i>	<i>Notelaea excelsa</i>	1	-

Continúa en la siguiente página

**Tabla A.3.** Relación de especies (continuación).

Cód.	Nombre	Sinonimia	Tipo	Grupo
33	Picea abies	Picea excelsa	0	-
289	Pleiomeris canariensis	Delfino	1	-
34	Pseudotsuga menziesii	Pseudotsuga douglasii	0	-
16	Pyrus spp.	-	1	-
40	Quercus	-	1	-
4	Rhamnus alaternus	Aladierno	1	-
389	Rhamnus glandulosa	Sanguino	1	-
96	Rhus coriaria	Zumaque	1	-
457	Salix babylonica	Sauce llorón	1	-
85	Sideroxylon marmulano	-	1	-
10	Sin asignar	Sin asignar	1	-
14	Taxus baccata	-	0	-
219	Tetraclinis articulata	Tetraclinis articulata	0	-
319	Thuja spp.	Thuja	0	-
489	Visnea mocanera	Mocan	1	-

#### Apéndice A.18. Resultados

##### Apéndice A.18.1. IFN2 e IFN3 como explicativos para carbono\_bruto4 ( $tC$ )

**Tabla A.4.** Resumen del rendimiento de los modelos para la predicción de la variable de carbono en toneladas (carbono\_bruto4) con el conjunto de datos que emplea IFN2 e IFN3 como explicativos.

Modelo	$R^2_{\text{test}}$	RMSE <sub>test</sub>	MAE <sub>test</sub>
<b>CatBoost</b>	<b>0.845</b>	<b>13.846</b>	<b>6.615</b>
LightGBM	0.841	14.006	6.654
XGBoost	0.840	14.054	6.655
GBDT	0.838	14.159	6.722
MLP	0.832	14.410	6.931
BaggedDT	0.821	14.858	7.282
Random Forest	0.819	14.950	7.135
BayesianNN	0.775	16.674	8.906
SVR	0.679	19.897	8.137

TODO: corregir las combinaciones para el stack. No coinciden con las descritas arriba ni con las entrenadas para IFN3 como explicativo. Debería ser stack1-6 modelos, satck2-4 modelos, stack3-3 modelos, stack4-3 modelos, stack5-2 modelos

<b>Stack</b>	<b>Metamodelo</b>	<b>Bases</b>	$R^2_{\text{test}}$	$\text{RMSE}_{\text{test}}$	$\text{MAE}_{\text{test}}$
stack1	GradientBoosting	2	0.840	14.042	6.532
stack1	LinearRegression	2	0.842	13.974	6.621
stack1	Ridge	2	0.842	13.974	6.621
stack1	RandomForest	2	0.815	15.108	7.254
stack1	SVR	2	0.838	14.150	6.534
<b>stack1</b>	<b>MLP</b>	<b>2</b>	<b>0.842</b>	<b>13.969</b>	<b>6.482</b>
stack2	GradientBoosting	3	0.842	13.977	6.525
stack2	LinearRegression	3	0.843	13.913	6.586
stack2	Ridge	3	0.843	13.913	6.586
stack2	RandomForest	3	0.826	14.652	7.017
stack2	SVR	3	0.840	14.064	6.511
<b>stack2</b>	<b>MLP</b>	<b>3</b>	<b>0.843</b>	<b>13.913</b>	<b>6.507</b>
stack3	GradientBoosting	4	0.844	13.862	6.440
stack3	LinearRegression	4	0.846	13.813	6.557
stack3	Ridge	4	0.846	13.813	6.557
stack3	RandomForest	4	0.829	14.545	6.920
stack3	SVR	4	0.842	13.978	6.473
<b>stack3</b>	<b>MLP</b>	<b>4</b>	<b>0.846</b>	<b>13.785</b>	<b>6.364</b>
stack4	GradientBoosting	5	0.845	13.827	6.428
stack4	LinearRegression	5	0.846	13.784	6.533
stack4	Ridge	5	0.846	13.784	6.533
stack4	RandomForest	5	0.834	14.309	6.771
stack4	SVR	5	0.843	13.943	6.452
<b>stack4</b>	<b>MLP</b>	<b>5</b>	<b>0.847</b>	<b>13.768</b>	<b>6.458</b>
stack5	GradientBoosting	6	0.846	13.812	6.423
stack5	LinearRegression	6	0.846	13.787	6.541
stack5	Ridge	6	0.846	13.787	6.541
stack5	RandomForest	6	0.836	14.212	6.716
stack5	SVR	6	0.843	13.940	6.451
<b>stack5</b>	<b>MLP</b>	<b>6</b>	<b>0.847</b>	<b>13.759</b>	<b>6.401</b>

**Tabla A.5.** Resultados de las diferentes configuraciones de stacking utilizando IFN2 e IFN3 como explicativos de la variable en toneladas de carbono.

*Apéndice A.18.2. IFN2 e IFN3 como explicativos para  $c_4$  (tC/ha)*

**Tabla A.6.** Resumen del rendimiento de los modelos para la predicción de la variable de carbono en tC/ha con el conjunto de datos que emplea IFN2 e IFN3 como explicativos.

Modelo	$R^2_{\text{test}}$	RMSE <sub>test</sub>	MAE <sub>test</sub>
<b>LightGBM</b>	<b>0.787</b>	<b>22.767</b>	<b>11.650</b>
XGBoost	0.784	22.952	11.590
CatBoost	0.783	22.990	11.607
GBDT	0.783	23.014	11.658
MLP	0.771	23.607	12.287
BaggedDT	0.740	25.142	13.021
Random Forest	0.732	25.547	12.908
BayesianNN	0.678	28.021	14.689
SVR	0.551	33.065	13.708

TODO: corregir las combinaciones para el stack. No coinciden con las descritas arriba ni con las entrenadas para IFN3 como explicativo. Debería ser stack1-6 modelos, satck2-4 modelos, stack3-3 modelos, stack4-3 modelos, stack5-2 modelos

<b>Stack</b>	<b>Metamodelo</b>	<b>Bases</b>	$R^2_{\text{test}}$	$\text{RMSE}_{\text{test}}$	$\text{MAE}_{\text{test}}$
stack1	GradientBoosting	2	0.770	23.648	11.663
stack1	LinearRegression	2	0.787	22.768	11.607
stack1	Ridge	2	0.787	22.769	11.607
stack1	RandomForest	2	0.740	25.152	12.875
stack1	SVR	2	0.781	23.109	11.368
<b>stack1</b>	<b>MLP</b>	<b>2</b>	<b>0.789</b>	<b>22.650</b>	<b>11.556</b>
stack2	GradientBoosting	3	0.779	23.183	11.527
stack2	LinearRegression	3	0.791	22.565	11.429
stack2	Ridge	3	0.791	22.566	11.429
stack2	RandomForest	3	0.755	24.446	12.345
stack2	SVR	3	0.786	22.853	11.214
<b>stack2</b>	<b>MLP</b>	<b>3</b>	<b>0.794</b>	<b>22.405</b>	<b>11.403</b>
stack3	GradientBoosting	4	0.774	23.442	11.477
stack3	LinearRegression	4	0.788	22.735	11.456
stack3	Ridge	4	0.788	22.735	11.454
stack3	RandomForest	4	0.748	24.768	12.394
stack3	SVR	4	0.783	22.995	11.218
<b>stack3</b>	<b>MLP</b>	<b>4</b>	<b>0.787</b>	<b>22.774</b>	<b>11.333</b>
stack4	GradientBoosting	5	0.772	23.553	11.476
stack4	LinearRegression	5	0.790	22.602	11.416
stack4	Ridge	5	0.790	22.601	11.415
stack4	RandomForest	5	0.751	24.650	12.208
stack4	SVR	5	0.785	22.873	11.183
<b>stack4</b>	<b>MLP</b>	<b>5</b>	<b>0.792</b>	<b>22.531</b>	<b>11.315</b>
stack5	GradientBoosting	6	0.773	23.492	11.421
stack5	LinearRegression	6	0.791	22.571	11.387
stack5	Ridge	6	0.791	22.572	11.384
stack5	RandomForest	6	0.760	24.187	12.029
stack5	SVR	6	0.785	22.864	11.162
<b>stack5</b>	<b>MLP</b>	<b>6</b>	<b>0.794</b>	<b>22.387</b>	<b>11.307</b>

**Tabla A.7.** Resultados de las diferentes configuraciones de stacking utilizando IFN2 e IFN3 como explicativos de la variable en tC/ha.

*Apéndice A.18.3. IFN3 como explicativo para carbono\_bruto4 (tC)*

**Tabla A.8.** Resumen del rendimiento de los modelos para la predicción de la variable de carbono en tC con el conjunto de datos que emplea IFN3 como explicativo.

Modelo	$R^2_{\text{test}}$	RMSE <sub>test</sub>	MAE <sub>test</sub>
<b>LightGBM</b>	<b>0.909</b>	<b>10.662</b>	<b>5.477</b>
XGBoost	0.907	10.772	5.580
CatBoost	0.907	10.807	5.570
GBDT	0.904	10.942	5.732
MLP	0.896	11.392	6.382
BaggedDT	0.882	12.154	6.420
Random Forest	0.872	12.643	6.533
BayesianNN	0.842	14.079	7.890
SVR	0.825	14.797	7.124
KNN	0.788	16.270	8.166
AdaBoost	0.575	23.056	19.535

<b>Stack</b>	<b>Metamodelo</b>	<b>Bases</b>	<b>Test <math>R^2</math></b>	<b>RMSE</b>	<b>MAE</b>
stack1	GradientBoosting	6	0.9121	10.4852	5.2841
stack1	LinearRegression	6	0.9122	10.4816	5.3798
stack1	Ridge	6	0.9122	10.4815	5.3798
stack1	RandomForest	6	0.9057	10.8580	5.5726
stack1	SVR	6	0.9098	10.6226	5.3112
<b>stack1</b>	<b>MLP</b>	<b>6</b>	<b>0.9140</b>	<b>10.3723</b>	<b>5.2515</b>
stack2	GradientBoosting	4	0.9124	10.4693	5.2930
stack2	LinearRegression	4	0.9120	10.4914	5.3853
stack2	Ridge	4	0.9120	10.4914	5.3853
stack2	RandomForest	4	0.9050	10.9015	5.6023
stack2	SVR	4	0.9096	10.6341	5.3147
<b>stack2</b>	<b>MLP</b>	<b>4</b>	<b>0.9136</b>	<b>10.3941</b>	<b>5.2625</b>
stack3	GradientBoosting	3	0.9105	10.5796	5.3948
stack3	LinearRegression	3	0.9112	10.5411	5.4317
stack3	Ridge	3	0.9112	10.5411	5.4317
stack3	RandomForest	3	0.8999	11.1916	5.8307
stack3	SVR	3	0.9089	10.6775	5.3694
<b>stack3</b>	<b>MLP</b>	<b>3</b>	<b>0.9122</b>	<b>10.4789</b>	<b>5.3739</b>
stack4	GradientBoosting	3	0.9084	10.7041	5.4036
stack4	LinearRegression	3	0.9088	10.6822	5.5379
stack4	Ridge	3	0.9088	10.6822	5.5379
stack4	RandomForest	3	0.8983	11.2777	5.8314
stack4	SVR	3	0.9060	10.8425	5.4644
<b>stack4</b>	<b>MLP</b>	<b>3</b>	<b>0.9103</b>	<b>10.5951</b>	<b>5.3681</b>
stack5	GradientBoosting	2	0.9098	10.6245	5.4007
stack5	LinearRegression	2	0.9092	10.6546	5.4719
stack5	Ridge	2	0.9092	10.6546	5.4718
stack5	RandomForest	2	0.8920	11.6247	6.1032
stack5	SVR	2	0.9069	10.7932	5.4151
<b>stack5</b>	<b>MLP</b>	<b>2</b>	<b>0.9101</b>	<b>10.6019</b>	<b>5.3545</b>

**Tabla A.9.** Resultados de las diferentes configuraciones de stacking con el conjunto que emplea IFN3 como explicativo de la variable en tC.

*Apéndice A.18.4. IFN3 como explicativo para c4 (tC/ha)*

**Tabla A.10.** Resumen del rendimiento de los modelos para la predicción de la variable de carbono en tC/ha con el conjunto de datos que emplea IFN3 como explicativo.

Modelo	$R^2_{\text{test}}$	RMSE <sub>test</sub>	MAE <sub>test</sub>
<b>CatBoost</b>	<b>0.860</b>	<b>17.709</b>	<b>9.250</b>
XGBoost	0.858	17.828	9.207
LightGBM	0.858	17.841	9.159
GBDT	0.853	18.141	9.463
MLP	0.837	19.086	10.917
BaggedDT	0.826	19.726	10.402
Random Forest	0.826	19.730	10.489
BayesianNN	0.775	22.454	12.260
KNN	0.769	22.755	12.252
SVR	0.734	24.403	11.219
AdaBoost	0.473	34.336	26.295

<b>Stack</b>	<b>Metamodelo</b>	<b>Bases</b>	<b>Test <math>R^2</math></b>	<b>RMSE</b>	<b>MAE</b>
stack1	GradientBoosting	6	0.8682	17.1742	8.9546
stack1	LinearRegression	6	0.8639	17.4508	8.9676
stack1	Ridge	6	0.8639	17.4510	8.9677
stack1	RandomForest	6	0.8592	17.7459	9.3749
stack1	SVR	6	0.8612	17.6207	8.8012
<b>stack1</b>	<b>MLP</b>	<b>6</b>	<b>0.8656</b>	<b>17.3380</b>	<b>8.8789</b>
stack2	GradientBoosting	4	0.8599	17.7069	8.9856
stack2	LinearRegression	4	0.8635	17.4725	8.9908
stack2	Ridge	4	0.8635	17.4727	8.9908
stack2	RandomForest	4	0.8523	18.1766	9.5079
stack2	SVR	4	0.8613	17.6142	8.8209
<b>stack2</b>	<b>MLP</b>	<b>4</b>	<b>0.8645</b>	<b>17.4083</b>	<b>8.8888</b>
stack3	GradientBoosting	3	0.8590	17.7638	9.0799
stack3	LinearRegression	3	0.8615	17.6005	9.0450
stack3	Ridge	3	0.8615	17.6005	9.0450
stack3	RandomForest	3	0.8449	18.6308	9.7939
stack3	SVR	3	0.8592	17.7490	8.8749
<b>stack3</b>	<b>MLP</b>	<b>3</b>	<b>0.8619</b>	<b>17.5765</b>	<b>8.9734</b>
stack4	GradientBoosting	3	0.8520	18.1962	9.2188
stack4	LinearRegression	3	0.8604	17.6722	9.1764
stack4	Ridge	3	0.8604	17.6723	9.1765
stack4	RandomForest	3	0.8396	18.9435	9.8789
stack4	SVR	3	0.8574	17.8597	9.0159
<b>stack4</b>	<b>MLP</b>	<b>3</b>	<b>0.8620</b>	<b>17.5712</b>	<b>9.0898</b>
stack5	GradientBoosting	2	0.8446	18.6435	9.1995
stack5	LinearRegression	2	0.8578	17.8360	9.1252
stack5	Ridge	2	0.8578	17.8361	9.1252
stack5	RandomForest	2	0.8332	19.3163	10.2404
stack5	SVR	2	0.8552	17.9992	9.0003
<b>stack5</b>	<b>MLP</b>	<b>2</b>	<b>0.8579</b>	<b>17.8333</b>	<b>9.1459</b>

**Tabla A.11.** Resultados de las diferentes configuraciones de stacking con el conjunto que emplea IFN3 como explicativo de la variable en tC/ha.